

Bachelorthesis

Heiko Poppinga

Controller-Implementation und messtechnische
Erprobung der Signalverarbeitung für die
Diagnosefunktion von ABS-Sensoren

Heiko Poppinga
Controller-Implementation und messtechnische
Erprobung der Signalverarbeitung für die
Diagnosefunktion von ABS-Sensoren

Bachelorthesis eingereicht im Rahmen der Bachelorprüfung
im Studiengang Informations- und Elektrotechnik
am Department Informations- und Elektrotechnik
der Fakultät Technik und Informatik
der Hochschule für Angewandte Wissenschaften Hamburg

Betreuender Prüfer : Prof. Dr.-Ing. Karl-Ragmar Riemschneider
Zweitgutachter : Prof. Dr.rer.nat Jochen Schneider

Abgegeben am 20. April 2011

Heiko Poppinga

Thema der Bachelorthesis

Controller-Implementation und messtechnische Erprobung der Signalverarbeitung für die Diagnosefunktion von ABS-Sensoren

Stichworte

ABS-Sensor, AMR-Effekt, Klirrfaktor, Sensor-Diagnose, Unterabtastung, Sequentielle Abtastung

Kurzzusammenfassung

Dieser Arbeit beschäftigt sich mit der Implementierung und Verifikation von verschiedenen Algorithmen zur Zustandserkennung von ABS-Sensoren. Diese Algorithmen wurden zunächst in Matlab evaluiert und anschliessend auf einer Experimentalplattform auf Basis eines TI MSP430 implementiert und ausgiebig erprobt. Die Besonderheit dieser Algorithmen ist, dass spezielle Zustände wie zum Beispiel die Frequenzverdopplung des Sensorsignals detektiert werden können.

Heiko Poppinga

Title of the paper

Controller implementation and testing of the signal processing algorithm for the diagnosis of ABS sensors

Keywords

ABS-sensor, AMR-effect, harmonic distortion, sensor diagnosis, subsampling, sequential sampling

Abstract

In this report, different algorithms for the diagnosis of ABS sensors were implemented and verified. These algorithms were first evaluated in Matlab and then implemented on an experimental platform based on an TI MSP430 and tested extensively. These algorithms are able to detect special sensor states such as doubling of the sensor-signal frequency.

Danksagung

Zunächst möchte ich mich bei Herrn Prof. Dr.-Ing Karl-Ragnar Riemschneider bedanken, für das engagierte Betreuen dieser Arbeit. Des Weiteren Danke ich Herrn Prof. Dr.rer.nat Jochen Schneider für die Übernahme der Zweitprüfung.

Ich danke auch allen Mitgliedern des ESZ-ABS-Teams für ihre Unterstützung. Besonders möchte ich Herrn Dipl.-ing Martin Krey danken, der mir stets mit Rat und Tat zur Seite stand. Außerdem danke ich Herrn Kalin Ivanov für die Durchführungen und das außerplanmäßigen Vorziehen der für mich notwendigen Messungen am Radmessplatz.

Inhaltsverzeichnis

Tabellenverzeichnis	7
Abbildungsverzeichnis	8
1. Einführung	12
1.1. Anisotroper magneto-resistiver Sensor	12
1.2. Experimentalplattform	17
2. Analyse, Vorarbeiten und Problemstellung	18
2.1. Sensordiagnosefunktion - Klirrfaktorberechnung	18
2.1.1. Abtastung	18
2.1.2. Harmonic Distortion 5 - HD5	21
2.1.3. Harmonic Distortion Infinite Algorithmus - HDI	22
2.2. Radmessplatz	24
2.2.1. Radmessplatz 2	24
2.2.2. Radmessplatz 3	25
2.3. Problem der Frequenzverdopplung	27
2.4. Radunrundlauf und Fertigungsfehler	30
3. Lösungskonzept	33
3.1. Begriffsklärung	33
3.2. Anpassung des Softwaredesigns der Experimentalplattform	34
3.2.1. Abtastung	34
3.2.2. Harmonic Distortion 5 - HD5	35
3.2.3. Harmonic Distortion Infinite - HDI	37
3.2.4. Odd Harmonic Distortion - OHD	37
3.2.5. Discard Sample Counter - DSC	39
4. Realisierung	41
4.1. Anpassung der Abtastung	41
4.2. Anpassung des HD5	46
4.3. Implementation des HDI	46
4.3.1. clac_HD_noise_sampling	46

4.3.2. calc_HD_noise_after	50
4.3.3. decode_LUT	52
4.4. DSC	56
5. Funktionsnachweise	57
5.1. Abtastung	57
5.2. Sensordiagnosedunktionen	60
5.2.1. Laufzeiten von HD5 und HDI	60
5.2.2. Klirrfaktor	61
5.3. Frequenzverdopplungserkennung - OHD	64
5.3.1. OHD ermittelt durch das HD5-Verfahren	65
5.3.2. OHD ermittelt durch das HDI-Verfahren	65
5.4. DSC	70
6. Messergebnisse	72
6.1. Passives Encoderrad	73
6.1.1. Golf IV - Encoderrad - Verfahren der z-Achse und Verkipfung von ϕ_y	73
6.1.2. Golf IV - Encoderrad - Verfahren der z- und x-Achse	87
6.2. Aktives Encoderrad	95
6.2.1. Golf V - Encoderrad	95
7. Fazit und Ausblick	106
7.1. Fazit	106
7.2. Ausblick	106
Literaturverzeichnis	108
A. Anhang	110
A.1. Messungen	110
A.1.1. Abtastung	110
A.1.2. Laufzeitmessung der HD5 und HDI Implementation	110
A.2. Quelltexte	118
A.2.1. Matlab	118
A.2.2. Script zur Darstellen der Messergebnisse bei Verfahren zweier Linea- rachsen	143

Tabellenverzeichnis

4.1. Darstellung des sechsten Bit des Ausdrucks „lut_pos_harmonic“(sin) bzw. „lut_pos_harmonic + IDX_PI_H“(cos)	49
4.2. Umcodierung des Divisionsergebnis	52
5.1. Laufzeitmessungen	60
5.2. Gegenüberstellung der Ergebnisse der Klirrfaktor- und OHD-Berechnung, siehe für Signalform Arb1 Abbildung 5.3 und für Arb2 Abbildung 5.4	61

Abbildungsverzeichnis

1.1. AMR-Messbrücke, entnommen aus [11]	13
1.2. AMR-Sensor mit Messbrücke, permanenten Magneten und Controllereinheit . .	14
1.3. Radnaben	15
1.4. Sensor vor passivem Encoderrad	15
1.5. Sensorkennlinie mit magnetischem Eingangssignal(grün) und elektrischem Ausgangssignal(blau)	16
1.6. Experimentalplattform bildet Funktionen des KMI22 ABS-Sensors nach . . .	17
2.1. Sequentielle Abtastung eines nicht periodischen Signals, entnommen aus [6]	20
2.2. Radmessplatz 2 (RMP2)	25
2.3. RMP3 mit Golf IV Encoderrad	26
2.4. Sensor- und Mess-koodinatensystem, entnommen aus [12]	27
2.5. Links: Klirrfaktor (HD) aufgetragen über die Distanz bei einer Verkippung von 0° Rechts: Klirrfaktor (HD) aufgetragen über die Distanz bei einer Verkippung von -15°, entnommen aus [6]	28
2.6. Ausbildung weiterer Nulldurchgänge zwischen den Halbwellen	29
2.7. Sensorsignal bei geringer Verstärkung, mit leichter Amplitudenschwankung .	31
2.8. Sensorsignal bei großer Verstärkung, mit starker Amplitudenschwankung . .	32
3.1. Sequentielle Abtastung eines nicht periodischen Signals, bei Frequenzver- dopplung	34
3.2. Links: Stark verzerrtes Sensorsignal im ohne Frequenzverdopplung, Rechts: Sensorsignal bei Frequenzverdopplung, Oben: Sensorsignal, Unten: Harmonischen Spektrum	36
3.3. Sensorsignal im Grenzbereich zwischen Frequenzverdopplung und Normalfall	40
4.1. Links: Sensorsignal einer Encoderinkrementierung bei Frequenzverdopplung, Rechts: Ergebnis der ursprünglich implementierten Abtastung	42
4.2. Zustandsdiagramm des Automaten <i>state_calc</i> , der Zustandswechsel erfolgt bei jeder steigenden Nulldurchgang des Sensorsignals	43
4.3. Sensorzustände im Signalverlauf	45
4.4. Beispiel einer Einteilung der Wurzelkennlinie, entnommen aus [8]	52

5.1. Abgetastetes Sinus-Signal bei 100Hz	58
5.2. Abgetastetes Sensorsignal mit Frequenzverdopplung bei 100Hz	59
5.3. Arb1: Periode eines Sensorsignals mit einem Klirrfaktor von 32,5%, reproduziert mit Hilfe eines Funktionsgenerator s	62
5.4. Arb2: Periode eines Sensorsignals mit einem Klirrfaktor von 95%, reproduziert mit Hilfe eines Funktionsgenerators	62
5.5. Klirrfaktor eines dreieckförmigen Signals ermittelt mit HD5 und HDI	63
5.6. Sensor über die ϕ_y -Achse verkipppt	64
5.7. OHD ermittelt mit dem HD5-Verfahren, bei Verschiebung auf der z-Achse und Verkippung über die der ϕ_y -Achse des Sensors	66
5.8. OHD ermittelt mit dem HD5-Verfahren, bei Verschiebung auf der z-Achse und Verkippung der ϕ_y -Achse des Sensors	67
5.9. OHD ermittelt mit dem HDI-Verfahren, bei Verschiebung auf der z-Achse und Verkippung der ϕ_y -Achse des Sensors	68
5.10. OHD ermittelt mit dem HDI-Verfahren, bei Verschiebung auf der z-Achse und Verkippung der ϕ_y -Achse des Sensors	69
5.11. OHD ermittelt mit dem HDI-Verfahren, bei Verschiebung auf der z-Achse und Verkippung der ϕ_y -Achse des Sensors	70
5.12. DSC, bei Verschiebung auf der z-Achse und Verkippung der ϕ_y -Achse des Sensors	71
6.1. Sensor verschoben auf der x-Achse	72
6.2. Klirrfaktor ermittelt aus dem Sensordifferenzsignal, aufgenommen mit einem Speicheroszilloskop, bei Verfahren der z-Achse und Verkippung über die y-Achse des Sensors	74
6.3. Klirrfaktor ermittelt aus dem Sensordifferenzsignal, aufgenommen mit einem Speicheroszilloskop, bei Verfahren der z-Achse und Verkippung über die y-Achse des Sensors	75
6.4. Klirrfaktor ermittelt mit dem HD5-Verfahren, bei Verfahren der z-Achse und Verkippung über die y-Achse des Sensors	76
6.5. Klirrfaktor ermittelt mit dem HD5-Verfahren, bei Verfahren der z-Achse und Verkippung über die y-Achse des Sensors	77
6.6. Klirrfaktor ermittelt mit dem HDI-Verfahren, bei Verfahren der z-Achse und Verkippung über die y-Achse des Sensors	78
6.7. Klirrfaktor ermittelt mit dem HDI-Verfahren, bei Verfahren der z-Achse und Verkippung über die y-Achse des Sensors	79
6.8. OHD ermittelt mit dem HD5-Verfahren, bei Verfahren der z-Achse und Verkippung über die y-Achse des Sensors	80
6.9. OHD ermittelt mit dem HD5-Verfahren, bei Verfahren der z-Achse und Verkippung über die y-Achse des Sensors	81

6.10.OHD ermittelt mit dem HDI-Verfahren, bei Verfahren der z-Achse und Verkippung über die y-Achse des Sensors	82
6.11.OHD ermittelt mit dem HDI-Verfahren, bei Verfahren der z-Achse und Verkippung über die y-Achse des Sensors	83
6.12.Sensorbrückenspannung unverstärkt, bei Verfahren der z-Achse und Verkippung über die y-Achse des Sensors	84
6.13.Offset, bei Verfahren der z-Achse und Verkippung über die y-Achse des Sensors	85
6.14.Verstärkung, bei Verfahren der z-Achse und Verkippung über die y-Achse des Sensors	86
6.15.Klirrfaktor ermittelt aus dem Sensordifferenzsignal, aufgenommen mit einem Speicheroszilloskop, bei Verfahren der x-Achse und z-Achse des Sensors . .	87
6.16.Klirrfaktor ermittelt mit dem HD5-Verfahren, bei Verfahren der x-Achse und z-Achse des Sensors	88
6.17.Klirrfaktor ermittelt mit dem HDI-Verfahren, bei Verfahren der x-Achse und z-Achse des Sensors	89
6.18.OHD ermittelt mit dem HD5-Verfahren, bei Verfahren der x-Achse und z-Achse des Sensors	90
6.19.OHD ermittelt mit dem HDI-Verfahren, bei Verfahren der x-Achse und z-Achse des Sensors	91
6.20.Sensorbrückenspannung unverstärkt, bei Verfahren der x-Achse und z-Achse des Sensors	92
6.21.Offset, bei Verfahren der x-Achse und z-Achse des Sensors	93
6.22.Verstärkung, bei Verfahren der x-Achse und z-Achse des Sensors	94
6.23.Zeitsignal der Sensorbrückenspannung an Position $z = -0.2$ und $x = -3.4$. . .	96
6.24.Amplitudenspektrum der Sensorbrückenspannung an Position $z = -0.2$ und $x = -3.4$	97
6.25.Klirrfaktor ermittelt aus dem Sensordifferenzsignal, aufgenommen mit einem Speicheroszilloskop, bei Verfahren der x-Achse und z-Achse des Sensors . .	98
6.26.Klirrfaktor ermittelt mit dem HD5-Verfahren, bei Verfahren der x-Achse und z-Achse des Sensors	99
6.27.Klirrfaktor ermittelt mit dem HDI-Verfahren, bei Verfahren der x-Achse und z-Achse des Sensors	100
6.28.OHD ermittelt mit dem HD5-Verfahren, bei Verfahren der x-Achse und z-Achse des Sensors	101
6.29.OHD ermittelt mit dem HDI-Verfahren, bei Verfahren der x-Achse und z-Achse des Sensors	102
6.30.Sensorbrückenspannung unverstärkt, bei Verfahren der x-Achse und z-Achse des Sensors	103
6.31.Offset, bei Verfahren der x-Achse und z-Achse des Sensors	104
6.32.Verstärkung, bei Verfahren der x-Achse und z-Achse des Sensors	105

A.1. Abgetastetes Sinus-Signal bei 10Hz	110
A.2. Abgetastetes Sinus-Signal bei 100Hz	111
A.3. Abgetastetes Sinus-Signal bei 250Hz	111
A.4. Abgetastetes Sinus-Signal bei 750Hz	112
A.5. Abgetastetes Sinus-Signal bei 1500Hz	112
A.6. Abgetastetes Sinus-Signal bei 2500Hz	113
A.7. Abgetastetes Sensorsignal mit Frequenzverdopplung bei 10Hz	113
A.8. Abgetastetes Sensorsignal mit Frequenzverdopplung bei 250Hz	114
A.9. Abgetastetes Sensorsignal mit Frequenzverdopplung bei 750Hz	114
A.10. Abgetastetes Sensorsignal mit Frequenzverdopplung bei 1500Hz	115
A.11. Abgetastetes Sensorsignal mit Frequenzverdopplung bei 2500Hz	115
A.12. HD5: Verarbeitungszeit eines einzelnen Abtastwertes	116
A.13. HD5: Berechnungszeit von Klirrfaktor und OHD aus sämtlichen Abtastwerten	116
A.14. HD1: Verarbeitungszeit eines einzelnen Abtastwertes	117
A.15. HD1: Berechnungszeit von Klirrfaktor und OHD aus sämtlichen Abtastwerten .	117

1. Einführung

Diese Arbeit im Rahmen des Forschungsprojekts „Experimentelle digitale Signalverarbeitung und Zustandserkennung für ABS-Sensoren“ (ESZ-ABS), betreut durch Prof. Dr. Karl-Ragmar Riemschneider und Dipl.-Ing. Martin Krey, entstanden. Das Ziel dieses Forschungsprojekts ist ein Chipentwurf eines ABS-Sensors mit integrierter Diagnosefunktion. Diese Diagnosefunktion soll durch Auswertung der Signalform eine Aussage über die Funktionstüchtigkeit des Sensors zulassen, um im Störfall das ABS-System zu deaktivieren und den Fahrer auf die Fehlfunktion hinzuweisen. Dieser Störfall, der detektiert werden soll, ist nicht der gänzliche Defekt des ABS-Sensors, bei dem keinerlei Signale mehr übertragen werden. Es handelt sich um das ungleich schwerer zu diagnostizierenden Fall, wenn der Sensor zwar Signale sendet, aber diese nicht zuverlässig sind.

Diese Arbeit beschäftigt sich mit der Weiterentwicklung und Erweiterung von Möglichkeiten zur Sensordiagnose, welche aufgezeigt und diskutiert werden. Dafür wurden Messungen mit einem ABS-Sensor auf AMR-Basis an verschiedenen Radnaben durchgeführt. Betrachtet wurde insbesondere ein Sonderfall, der dazu führt, dass der Controller des ABS-Sensors durch Auswertung des Sensorsignals eine doppelt so große Raddrehzahl wie die tatsächliche bestimmt. Dieser Fall ist besonders kritisch, da eine solche Fehlfunktion zu schweren Unfällen führen kann.

1.1. Anisotroper magnetoresistiver Sensor

Moderne ABS-Sensoren nutzen den anisotrop magnetoresistiven Effekt, welcher vor über 150 Jahren erstmals beschrieben wurde. Dieser Effekt bewirkt, dass ein Metall in Abhängigkeit von Stärke und Richtung eines äußeren Magnetfeldes seinen elektrischen Widerstand ändert. Um diesen Effekt auszunutzen ordnet man vier dieser Metalle, also Widerstände, in einer Wheatstonschen Brücke an (siehe Abbildung 1.1). Diese Messbrücke befindet sich auf einem Permanentmagneten, der ein sogenanntes Stützfild erzeugt. Eine Skizze eines Sensors mit Messbrücke, Permanentmagneten und Controllereinheit ist in Abbildung 1.2 zu sehen. Ein Zahnrad, welches aus einem ferromagnetischen Material besteht, im Folgenden als passives Encoderrad bezeichnet, beeinflusst die Ausrichtung der Magnetfeldlinien, sodass

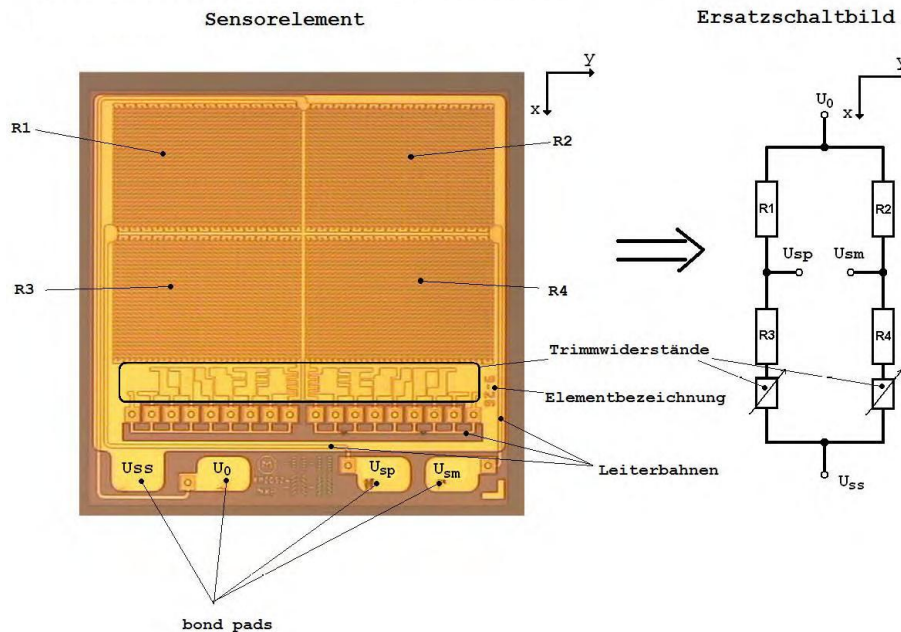


Abbildung 1.1.: AMR-Messbrücke, entnommen aus [11]

sich auch das Ausgangssignal der Messbrücke verändert. Auf eine andere Weise funktionieren aktive Encoderräder. Diese besitzen abwechselnd magnetische Nord- und Südpole, wodurch ein ähnlicher Effekt erzielt wird, wie auch beim passiven Encoderrad. Beispiele für ein aktives und ein passives Encoderrad sind die Golf V- bzw. Golf IV-Radnaben, die unter 1.3 abgebildet sind.

Der Sensor besitzt eine nichtlineare Kennlinie, allerdings hat sie, wie in 1.5 zu sehen, einen deutlichen linearen Bereich, in dem der Sensor folglich genutzt werden muss.

Wird der Sensor ausserhalb des linearen Bereichs angesteuert, so kommt es zu nichtlinearen Verzerrungen des Ausgangssignals. Die Illustration 1.4 zeigt ein passives Encoderrad, welches sich vor einem AMR-Messbrücke - dem ABS-Sensorkopf - dreht. Bewegt sich ein Zahn und eine Lücke an dem Sensorkopf vorbei, so ergibt sich als Ausgangssignal eine Periode eines Sinus, vorausgesetzt der Sensor wird im linearen Bereich betrieben. Die Controllereinheit, die unter der Sensorkopf angebracht ist, verarbeitet das analoge Ausgangssignal der Messbrücke und gibt ein digitales Ausgangssignal aus. Dieses digitale Ausgangssignal ist ein Stromprotokoll, welches in [1] spezifiziert ist (Siehe: 1.4). Das Protokoll beginnt mit dem 'Speed pulse'. Dieser wird ausgegeben, sobald der in der Steuereinheit befindliche Smart Comparator einen Nulldurchgang im Ausgangssignal der Messbrücke erkannt hat. Jeder Nulldurchgang, verursacht im Fall von passiven Encoderrädern durch Zahn bzw. Lücke, im Fall von aktiven Encoderrädern durch Nord- bzw. Südpole wird „increment“ genannt. Ein

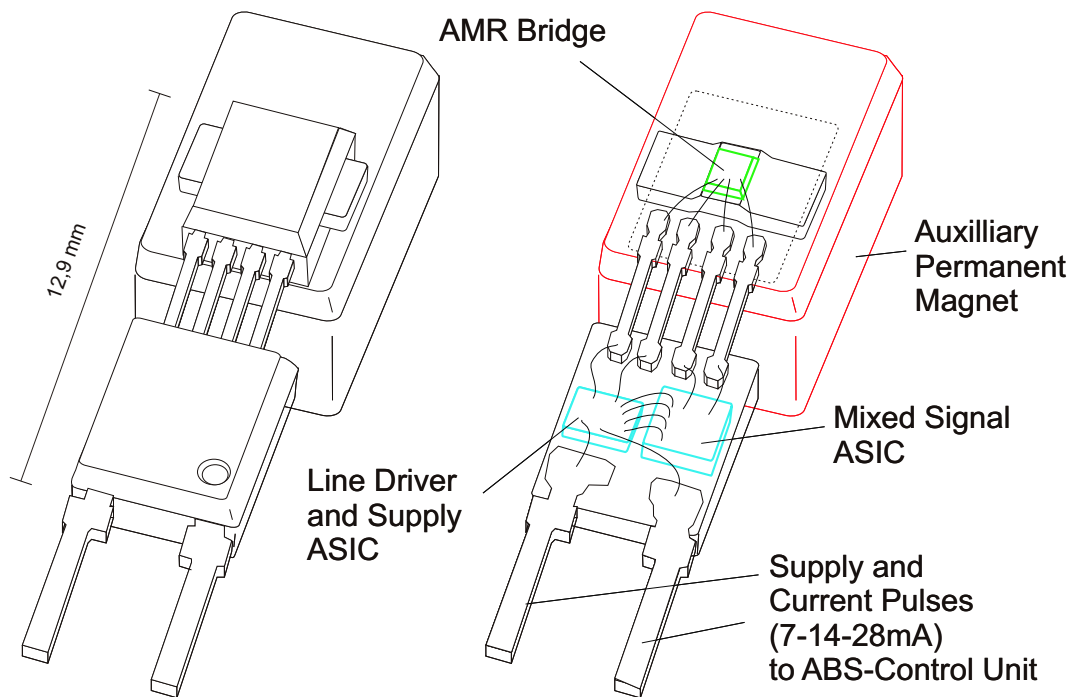


Abbildung 1.2.: AMR-Sensor mit Messbrücke, permanenten Magneten und Controllereinheit

passives Encoderrad mit 50 Zähnen sowie ein aktives Encoderrad mit 50 Polpaaren besitzt folglich 100 „increments“. Nähere Erläuterungen zum AMR-Effekt sind zum Beispiel in [2] im Kapitel 9 von U. Dibbern nachlesbar.



(a) Golf V-Radnabe - aktives Encoderrad



(b) Golf IV-Radnabe - passives Encoderrad

Abbildung 1.3.: Radnaben

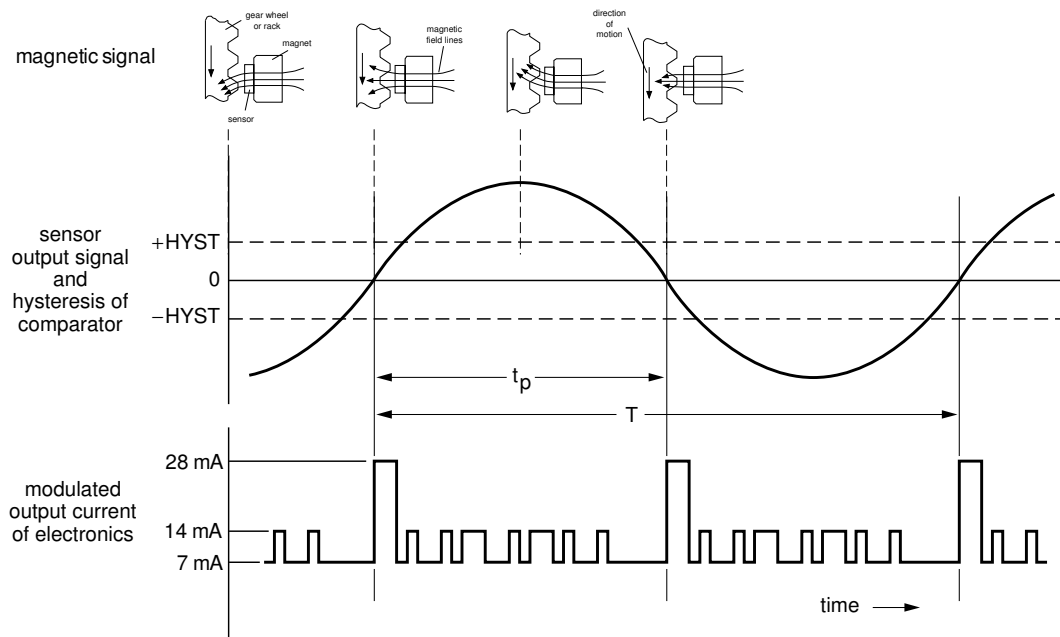


Abbildung 1.4.: Sensor vor passivem Encoderrad

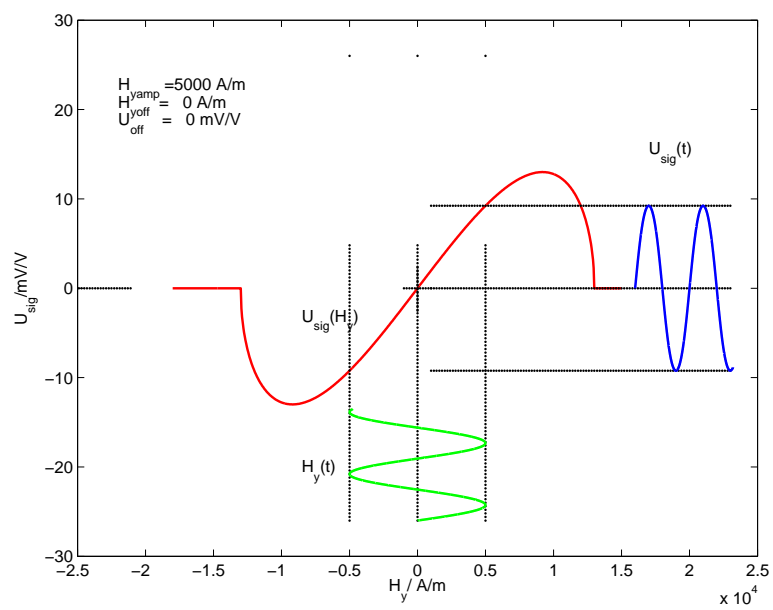


Abbildung 1.5.: Sensorkennlinie mit magnetischem Eingangssignal(grün) und elektrischem Ausgangssignal(blau)

1.2. Experimentalplattform

Die in dieser Arbeit entwickelten Funktionen zur Sensordiagnose wurden auf einer Experimentalplattform implementiert, die im Rahmen der Diplomarbeit *Entwicklung eines Controlsystems zur Zustandserkennung von ABS-Sensoren* [6] entwickelt wurde. Des Weiteren wurde eine Regelplatine zur Regelung von Offset und Verstärkung in der Arbeit [13] entwickelt. Die Plattform bildet die Grundfunktionen des Controllers eines KMI22 ABS-Sensor nach. Diese umfassen:

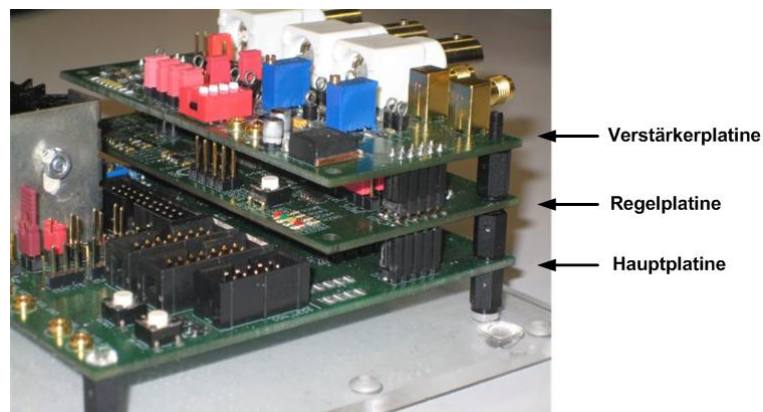


Abbildung 1.6.: Experimentalplattform bildet Funktionen des KMI22 ABS-Sensors nach

- Digitales Strom-Ausgangssignal
- Digitale Offsetkompensation
- Drehrichtungserkennung
- Digitales Ausgabeprotokoll
- Stillstandserkennung

Zusätzlich wurde als Sensordiagnosefunktion eine Analyse der harmonischen Schwingungen des Sensorsignals implementiert.

2. Analyse, Vorarbeiten und Problemstellung

2.1. Sensordiagnosefunktion - Klirrfaktorberechnung

In einer Voruntersuchung [10] wurde festgestellt, dass die Verzerrung des Differenzsignals der AMR-Messbrücke Aufschlüsse über die Funktionstüchtigkeit des Sensors geben können. Als Indikator für die Funktionstüchtigkeit des Sensors wird auf der Experimentalplattform ein Messwert berechnet und angezeigt, der dem Klirrfaktor k ähnelt. „Der Klirrfaktor k ist das Verhältnis des Oberwelleneffektivwert zum Gesamteffektivwert“ [9, S.366]. Im Folgenden bezeichnet \bar{U} den Gesamteffektivwert und \bar{U}_h den Effektivwert der Harmonischen mit dem Index h . In [3] wird dies wie folgt beschrieben:

$$k = \frac{\sqrt{\bar{U}^2 - \bar{U}_1^2}}{\bar{U}} \quad (2.1)$$

Anders formuliert in [9, S. 366]:

$$k_{\%} = 100\% \cdot \sqrt{\frac{\sum_{h=2}^{\infty} \bar{U}_h^2}{\sum_{h=1}^{\infty} \bar{U}_h^2}} \quad (2.2)$$

Das Verfahren Harmonic-Distortion-5 (HD5) zur Ermittlung des Klirrfaktors ist in der Vorarbeit [6] implementiert worden (siehe 2.1.2). Eine andere Methode, der Harmonic-Distortion-Infinite-Algorithmus (HDI) wurde in der Arbeit [8] entwickelt, und daraufhin im Rahmen dieser Arbeit auf der Experimentalplattform implementiert (siehe 2.1.3).

2.1.1. Abtastung

Um die Verzerrung des Sensorsignals analysieren zu können, muss es zunächst abgetastet werden. Da laut [6] eine periodische Abtastung aufgrund begrenzter Rechenleistung des MSP430-Mikrocontroller nicht möglich ist, wurde eine abgewandelte Form einer sequentielle

Abtastung realisiert. Mit einer sequentiellen Abtastung kann eine hohe zeitliche Auflösung Δt eines Signals erreicht werden, obwohl mit einer niedrigen Frequenz abgetastet wird.

Eine sequentielle Abtastung meint, dass aus einem frequenzunveränderlichen Signal pro Periode T ein Abtastwert entnommen wird. Das Abtastintervall ist folglich:

$$T_a = T + \Delta t \quad (2.3)$$

Nach S Abtastwerten ist eine Periode des Signals aufgenommen. Für S gilt:

$$S = \frac{T}{\Delta t} \quad (2.4)$$

Voraussetzung für dieses Verfahren ist folglich neben der konstanten Frequenz auch eine hinreichend gleichbleibende Signalform und Amplitude. Mathematisch ausgedrückt bedeutet das:

$$x(t) = x(t + kT) \quad \text{für } k = -\infty \leq k \leq +\infty \quad (2.5)$$

In der Praxis besitzt das Sensorsignal der AMR-Messbrücke allerdings selten eine konstante Frequenz. Denn durch das Beschleunigen und Abbremsen während einer Autofahrt verändert sich die Raddrehzahl permanent. Das Problem wurde gelöst, indem für jede Periode des Sensorsignals aus der ein Abtastwert entnommen werden soll, ein individueller Abtastzeitpunkt t_{syn} berechnet wird. Periode meint in diesem Fall die Dauer zwischen zwei aufsteigenden Nulldurchgängen des Sensorsignals. Dieser Abtastzeitpunkt wird berechnet indem die Dauer der vorherigen Periode T_{n-1} auch als Dauer für die aktuelle Signalperiode T_n angenommen wird. Daraufhin werden diese beiden Zeiten miteinander verglichen. Bei einer signifikanten Abweichung wird der Abtastwert verworfen. Der Toleranzbereich, in dem ein Wert akzeptiert wird, wurde auf $\pm 3,125\%$ festgelegt. Auf diese Weise können aus den S Abtastwerten zwei Halbwellen des Sensorsignals zusammengesetzt werden. Da sich das Encoderrad innerhalb einer Signalperiode um einen ganz bestimmten Winkel dreht, ist die Abtastung nicht mehr im Bezug auf die Zeit, sondern im Bezug auf den Drehwinkel des Encoderrades näherungsweise äquidistant. Diese Drehwinkelsynchrone Abtastung wird auch als *Order Tracking* bezeichnet.[4]

Die Voraussetzung für diese Art der Abtastung ist, dass die Signalform und die Amplitude bei jeder Encoderinkrementierung gleich bleibt. Dies drückt die Gleichung 2.5 in einer abgewandelten Form aus:

$$x(\alpha) = x(\alpha + k\Theta) \quad \text{für } k = -\infty \leq k \leq +\infty \quad (2.6)$$

Dabei entspricht Θ der Winkeldifferenz einer Encoderinkrementierung, also dem Vorbeibe-

wegen eines Zahn-Lücke-Paares des Encoderrades am Sensor. Es gilt in Bogenmaß:

$$\Theta = \frac{2\pi}{M} \quad \text{mit } M = \text{Anzahl der Zähne} \quad (2.7)$$

Die Abbildung 2.1 zeigt schematisch eine solche sequentielle Abtastung eines drehwinkel-synchronen Signals. Allerdings ist zu beachten, dass nur Signalperioden, aus denen ein Abtastwert entnommen wird dargestellt sind. Aufgrund des Designs der realisierten Abtastung vergehen mehrere Signalperioden zwischen einzelnen Abtastpunkten. Siehe hierfür Abschnitt 4.1.

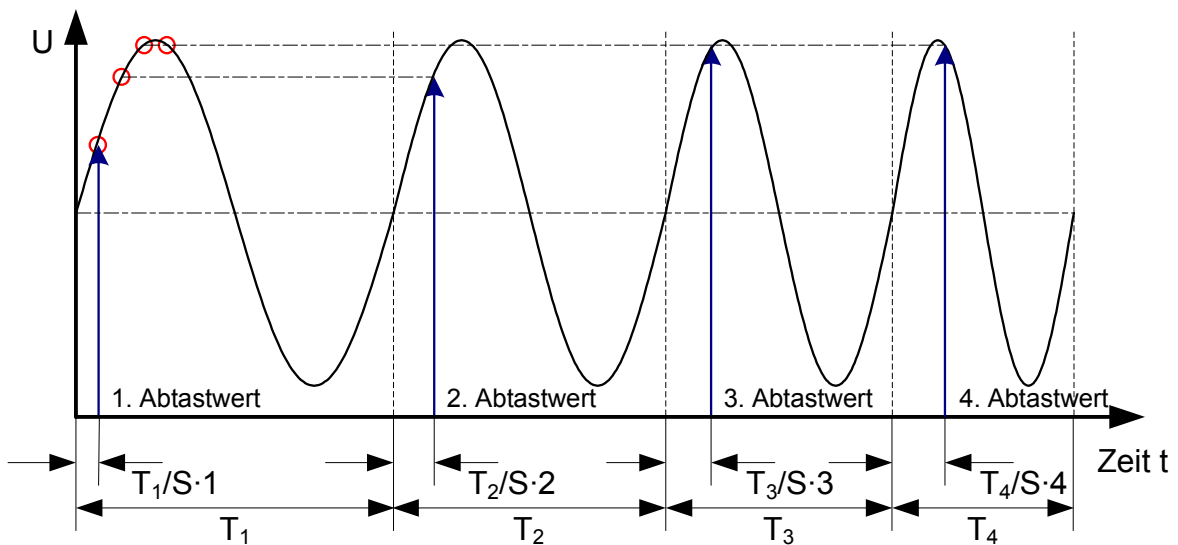


Abbildung 2.1.: Sequentielle Abtastung eines nicht periodischen Signals, entnommen aus [6]

Diese Form der Abtastung führt dazu, dass sich jede spektrale Analyse dieser Abtastwerte nicht auf Frequenzen bezogen ist. Stattdessen erhält man durch eine Diskrete Fourier Transformation (DFT) ein Ordnungsspektrum des Encoderrades. Diese Ordnung bezieht sich auf die Periodizität des Sensorsignals mit dem Drehwinkel des Encoderrades. Eine Schwingung der 1. Ordnung ist periodisch mit einem Drehwinkel von 2π , die der 2. Ordnung mit $\frac{2\pi}{2}$ und die der n-ten Ordnung mit $\frac{2\pi}{n}$. [7]

Da nur ein Ausschnitt Θ einer Encoderradumdrehung aus den Abtastwerten zusammengesetzt wird und Gleichung 2.7 gilt, erhält man durch eine DFT nicht das Vollständige Ordnungsspektrum, sondern die spektralen Anteile der Schwingungen der M -ten Ordnung und deren Vielfache.

In den folgenden Kapiteln werden die Abtastwerte zur Vereinfachung so behandelt, als wären sie Produkt einer zeitlich äquidistanten Abtastung. Es wird also davon ausgegangen, dass

das Encoderrad während eines Abtastintervalls eine konstante Drehzahl besitzt. Dies stellt eigentlich einen Ausnahmefall dar. Auf diese Weise können die Schwingungen der M -ten Ordnung als 1. Harmonische und die der $n \cdot M$ -ten Ordnung als n -te Harmonische bezeichnet werden. Auch die Begrifflichkeit des *Klirrfaktor* k , welcher sich auf eine feste Grundfrequenz bezieht, wird beibehalten, obwohl es meist gar keine feste Grundfrequenz gibt.

2.1.2. Harmonic Distortion 5 - HD5

Der Name *HD5* rührt daher, dass das Verfahren zur Bestimmung des Klirrfaktors k eine DFT nutzt, die fünf Harmonische berechnet. Mit Hilfe der DFT lässt sich eine Abtastfolge $x[k]$ der endlichen Länge N transformieren.

$$X[n] = \sum_{k=0}^{N-1} x[k] \cdot e^{-j2\pi nk/N} \quad 0 \leq n \leq N-1 \quad (2.8)$$

und Umformung in die trigonometrische Form erhält man:

$$X[n] = \sum_{k=0}^{N-1} x[k] (\cos(\omega_n k) - j \sin(\omega_n k)) \quad (2.9)$$

mit

$$\omega_n = 2\pi \frac{n}{N}$$

Da für die Klirrfaktor-Berechnung nur die harmonischen Anteile von Interesse sind, lässt sich die Formel 2.9 weiter umstellen und vereinfachen. Im Folgenden ist f_{h1} die Frequenz der ersten harmonischen Schwingung und n_h ist der entsprechende Index für diese Frequenz.

$$n_h = f_{h1} \cdot \Delta t \cdot N \quad (2.10)$$

mit dem Abtastintervall $\Delta t = \frac{1}{f_s}$. f_s ist die Abtastfrequenz. Ist S die Anzahl der Abtastungen pro Periode der ersten Harmonischen, also der Grundschwingung, so vereinfacht sich die Formel 2.10 weiter mit $f_s = S \cdot f_{h1}$:

$$n_h = \frac{N}{S} \quad (2.11)$$

Dadurch vereinfacht sich auch ω_n , welches bezogen auf die erste Harmonische als ω_{nh} deklariert wird.

$$\begin{aligned} \omega_{nh} &= 2\pi \frac{N}{S \cdot N} \\ \rightarrow \omega_{nh} &= \frac{2\pi}{S} \end{aligned} \quad (2.12)$$

Nun lässt sich die Fourier-Transformation der Harmonischen mit dem Index h aufstellen. Man erhält:

$$X[h] = \sum_{k=0}^{N-1} x[k](\cos(\omega_{nh} \cdot k \cdot h) - j\sin(\omega_{nh} \cdot k \cdot h)) \quad (2.13)$$

Diese ist allerdings nur für diejenigen Harmonischen gültig, die das Abtasttheorem nach Nyquist-Shannon erfüllen. Das ist wie folgt definiert (siehe [9, S.216]) :

$$f_s \geq 2 \cdot f_{max} \quad (2.14)$$

Auf diesen Fall angewandt bedeutet das:

$$\begin{aligned} f_s &\geq 2 \cdot h \cdot f_{h1} \\ \rightarrow h &< \frac{f_s}{2 \cdot f_{h1}} \end{aligned} \quad (2.15)$$

Durch die Methode der diskreten Fourier-Transformation erhält man die Beträge der Harmonischen. Der Klirrfaktor lässt sich gleichwertig zur Formel 2.2 durch die Beträge der Amplituden der Harmonischen ausdrücken.

$$k_{\%} = 100\% \cdot \sqrt{\frac{\sum_{h=2}^{\infty} |U_h|^2}{\sum_{h=1}^{\infty} |U_h|^2}} \quad (2.16)$$

In der Vorarbeit von [6] wurde experimentell festgestellt, dass es ausreichend genau ist, die ersten fünf Harmonischen zu bestimmen. Folglich:

$$k_{\%} = 100\% \cdot \sqrt{\frac{|U_2|^2 + |U_3|^2 + |U_4|^2 + |U_5|^2}{|U_1|^2 + |U_2|^2 + |U_3|^2 + |U_4|^2 + |U_5|^2}} \quad (2.17)$$

2.1.3. Harmonic Distortion Infinite Algorithmus - HDI

Harmonic-Distortion-Infinite-Verfahren (HDI) ist ein Verfahren, das von Koch in seiner Diplomarbeit [8] entwickelt wurde. Es stellt eine Alternative zu dem HD5 Verfahren dar. Es schätzt den Klirrfaktor k über den Ansatz der Signalleistung. Dieser Name soll andeuten, dass im Gegensatz zum HD5 in der Berechnung des Klirrfaktors alle Harmonischen eingeschlossen sind, da sie alle zur Gesamtsignalleistung beitragen.

Es gilt für die Signalleistung:

$$P = \frac{\bar{U}^2}{R} \quad (2.18)$$

Also kann die Gleichung 2.2 auch mittels der Signalleistung ausgedrückt werden:

$$k_{\%} = 100\% \sqrt{\frac{P_{ges} - P_1}{P_{ges}}} = 100\% \sqrt{\frac{P_{ob}}{P_{ges}}} \quad (2.19)$$

P_{ges} ist die Gesamtwechsellleistung des Signals, P_1 bezeichnet die Signalleistung der 1. Harmonischen und P_{ob} ist die Leistung der Oberwellen. Durch diesen Ansatz ist es nicht nötig, die einzelnen Anteile der Harmonischen zu berechnen. Lediglich die Gesamtleistung, sowie die Leistung der 1. Harmonischen werden zur Berechnung gebraucht. Dadurch lässt sich der Rechenaufwand verringern. Allerdings geht in die Gesamtleistung auch die Rauschleistung ein. Deswegen, und weil die HD5-Methode nur die Anteile der ersten fünf Harmonischen in die Klirrfaktorberechnung einbezieht, ist der berechnete Klirrfaktor der HDI-Methode zumindest in der Theorie größer bei Anwendung auf das gleiche Signal.

Die Gesamtwechsellleistung P_{ges} wird durch folgende Formel beschrieben:

$$P_{ges} = \frac{1}{T} \cdot \int_0^T s_{\sim}(t)^2 \cdot dt \quad (2.20)$$

Da es sich bei dem Signal ($s(t)$) um ein diskret Signal handelt, kann das Integral durch eine Summe ersetzt werden.

$$P_{ges} = \frac{T_a}{T} \cdot \sum_{n=0}^{\frac{T-T_a}{T_a}} s_{\sim}(n \cdot T_a)^2 \quad (2.21)$$

Mit $N = \frac{T}{T_a}$ lässt sich die Formel weiter vereinfachen.

$$P_{ges} = \frac{1}{N} \cdot \sum_{n=0}^{N-1} s_{\sim}(n \cdot T_a)^2 \quad (2.22)$$

Das Wechselsignal s_{\sim} erhält man durch Abzug des Gleichanteils s_{gl} von den einzelnen Sample-Werten.

$$s_{\sim}(n \cdot T_a) = s(n \cdot T_a) - s_{gl} \quad (2.23)$$

Mit $T_a = 1$ und 2.23 ergibt sich aus der Gleichung 2.22:

$$P_{ges} = \frac{1}{N} \cdot \sum_{n=0}^{N-1} (s(n) - s_{gl})^2 \quad (2.24)$$

Nach Auflösen der Binomischen Formel erhält man:

$$P_{ges} = \frac{1}{N} \cdot \left[\sum_{n=0}^{N-1} s^2(n) - 2 \sum_{n=0}^{N-1} s(n) \cdot s_{gl} + \sum_{n=0}^{N-1} s_{gl}^2 \right] \quad (2.25)$$

Da s_{gl} eine Konstante ist gilt:

$$\sum_{n=0}^{N-1} s_{gl}^2 = N \cdot s_{gl}^2 \quad (2.26)$$

Der Gleichanteil ist das arithmetische Mittel der Abtastwerte $s(n)$.

$$s_{gl} = \frac{1}{N} \cdot \sum_{n=0}^{N-1} s(n) \quad (2.27)$$

Dadurch vereinfacht sich die Gleichung 2.25 zu:

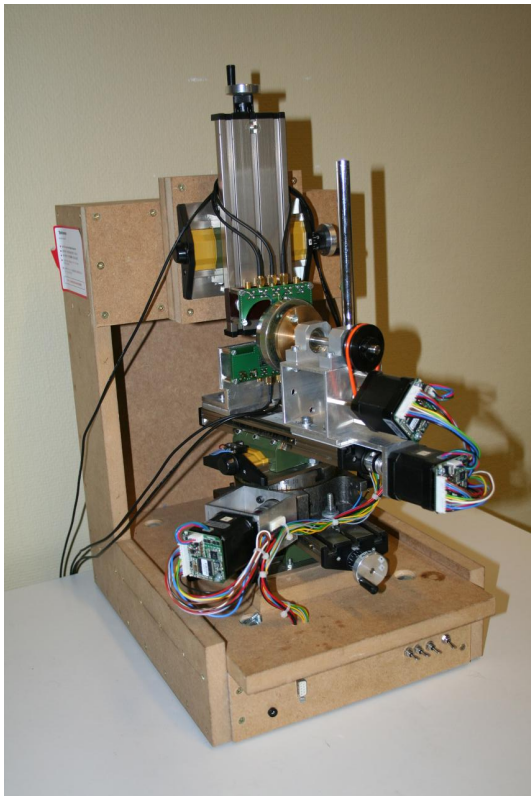
$$P_{ges} = \frac{1}{N} \cdot \sum_{n=0}^{N-1} s^2(n) - 2 \cdot s_{gl}^2 + s_{gl}^2 = \frac{1}{N} \cdot \sum_{n=0}^{N-1} s^2(n) - s_{gl}^2 \quad (2.28)$$

Zur letztendlichen Berechnung des Klirrfaktor ist es nun nur noch nötig mit Hilfe der DFT, wie in Abschnitt 2.1.2 beschrieben, den Anteil der ersten Harmonischen zu berechnen.

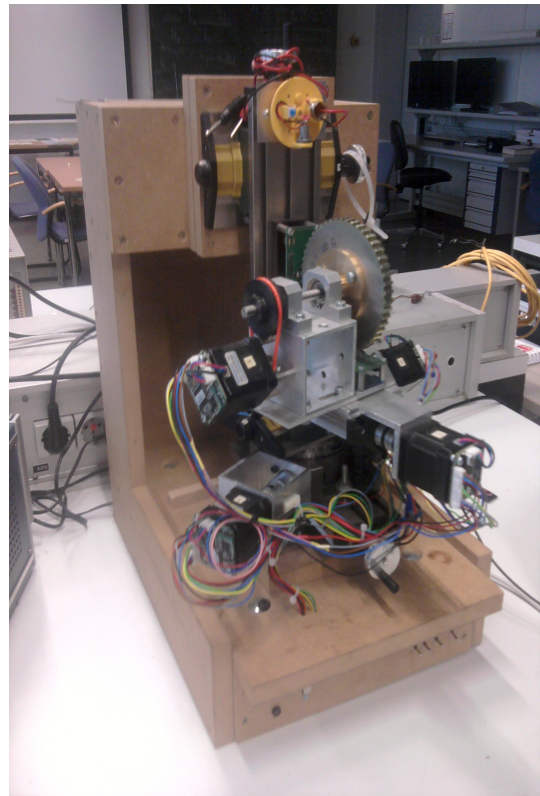
2.2. Radmessplatz

2.2.1. Radmessplatz 2

In Vorarbeiten wurde ein Messplatz entworfen, um die Sensorsignale bei unterschiedlicher Positionierung des Encoderrades vor dem Sensor zu untersuchen. Der Messplatz besitzt einen Drehtisch, darüber ist ein in X-Y-Richtung verstellbarer Tisch angebracht, auf dem sich das Encoderrad befindet. Vier Schrittmotoren ermöglichen den Antrieb des Encoderrads, sowie das Drehen des Drehtisches und das Verstellen der beiden Linearachsen. Diese Motoren lassen sich von einem PC aus steuern. Somit ist es möglich, mittels Matlab automatisierte Messungen vorzunehmen. Zunächst wurde der Messplatz nur für ein aktives Encoderrad konzipiert. Um auch mit einem passiven Encoderrad Messen zu können, musste der Messplatz etwas modifiziert werden. Um das Encoderrad anbringen zu können, wurde ein passender Flansch hergestellt. Ausserdem war es nötig, die Antriebseinheit um 90° zu versetzen. Das ist damit zu Begründen, dass die Magnetisierung am aktiven Encoderrad nicht äquivalent zu den Zähnen des passiven Encoderrads auf dem Umfang des Rades erfolgt, sondern ringförmig an der Außenseite in Richtung der Welle ausgerichtet ist. Also muss der ABS-Sensor vor einem passiven Encoderrad axial ausgerichtet sein, wohingegen er vor einem aktiven Encoderrad radial ausgerichtet zu sein hat. Siehe Abbildung 2.2.



(a) RMP 2 mit aktivem Encoderrad



(b) RMP 2 mit passivem Encoderrad

Abbildung 2.2.: Radmessplatz 2 (RMP2)

2.2.2. Radmessplatz 3

Schoermer hat im Rahmen seiner Diplomarbeit [12] einen Radmessplatz konstruiert, der präzise Messungen zulässt. Der ABS-Sensor kann mittels dreier Linearachsen auf $10\mu\text{m}$ genau im Raum vor dem Encoderrad positioniert werden. Außerdem ist eine Verkippung um diese Linearachsen möglich, wobei eine Genauigkeit von $0,1^\circ$ erreicht wird. Dieser Radmessplatz erlaubt die Vermessung von original Encoderrädern der Autohersteller. Mittels zweier modular austauschbarer Antriebsmotoren, ist ein Drehzahlbereich von „ $< 1\text{min}^{-1}$ bis 4000min^{-1} “ möglich. Dabei ist ein Schrittmotor für den unteren Drehzahlbereich und ein Brushless-DC-Motor für den oberen Drehzahlbereich vorgesehen. Die meisten in dieser Arbeit behandelten Messungen erfolgten an diesem Radmessplatz.

Schoermer hat in seiner Arbeit auch ein Messkoordinatensystem eingeführt, mit dessen Hilfe die Positionierung des Sensors vor dem Encoderrad angegeben werden kann. Auf dieses Koordinatensystem beziehen sich auch die Positionsangabe, die in dieser Arbeit gemacht werden. Herr Schoermer macht bei seiner Definition des Koordinatensystems eine Unter-

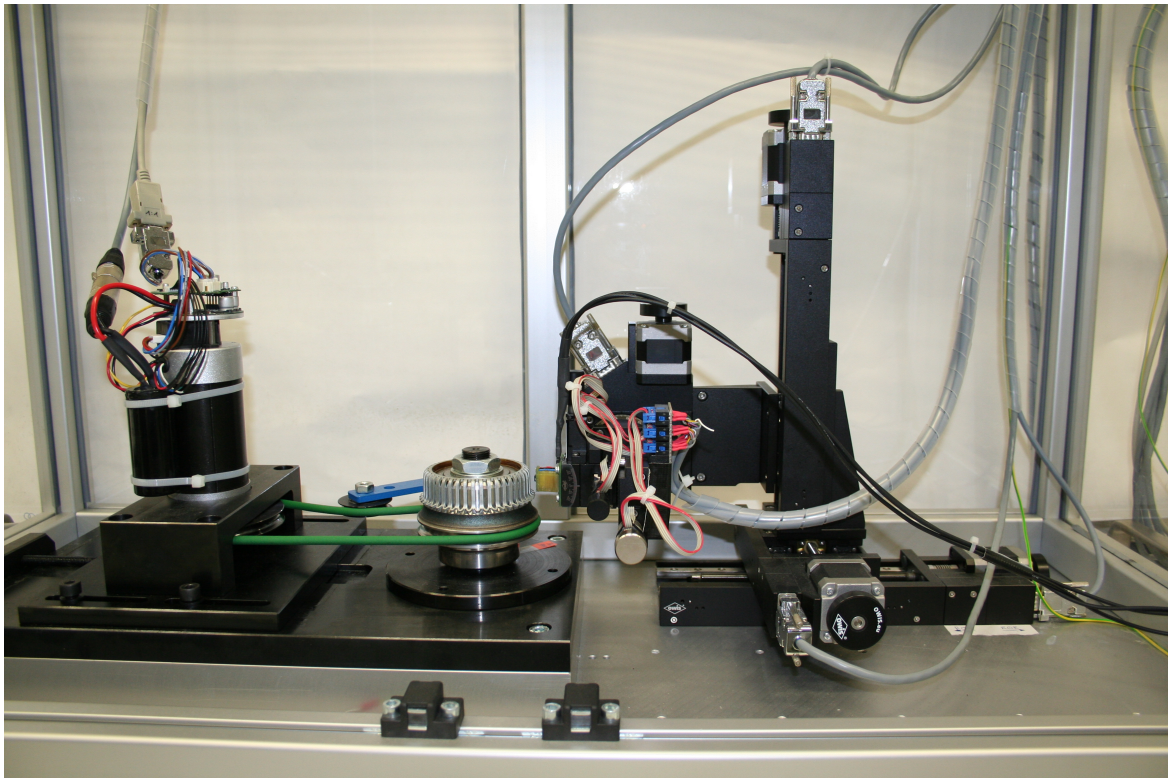


Abbildung 2.3.: RMP3 mit Golf IV Encoderrad

scheidung zwischen aktiven und passiven bzw. radialen und axialen Encoderrädern. Dargestellt ist dieses Mess-Koordinatensystem in Abbildung 2.4

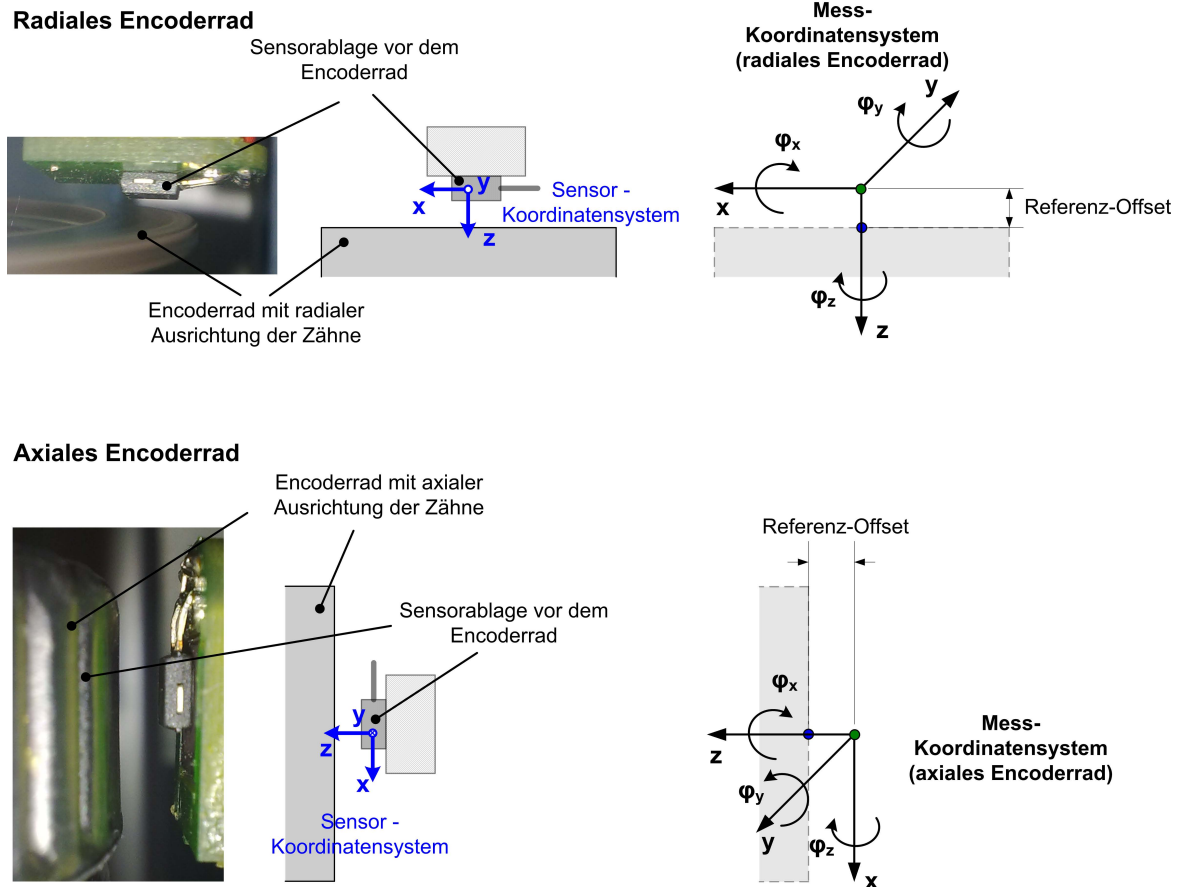


Abbildung 2.4.: Sensor- und Mess-Koordinatensystem, entnommen aus [12]

2.3. Problem der Frequenzverdopplung

Durch den nichtlinearen Verlauf der Sensorkennlinie, kann es zu einem seltenen Sonderfall kommen, und zwar zu Encoderabbildungsfehlern. In diesem Fall ist das Sensorsignal durch eine ungünstige Ausrichtung des Sensors vor dem Encoderrad derart verzerrt, sodass die Inkrementierung des Encoderrads zwei weitere Nulldurchgänge verursacht, da sich zwischen den sinusförmigen Halbwellen zwei weitere sinusförmige Halbwellen ausbilden.

Damit ist das Order Tracking der Experimentalplattform, welches in Abschnitt 2.1.1 beschrieben ist, gestört. Jeder positive Nulldurchgang wird als Ende der letzten Encoderinkrementie-

rung und Anfang der folgenden Encoderinkrementierung interpretiert. Das abgetastete und zusammengesetzte Sensorsignal entspricht in diesem Fall folglich nichtmehr dem Signal einer Encoderinkrementierung. Die Abtastung wird die Abtastwerte teils aus der ersten Hälfte, teils aus der zweiten Hälfte einer Encoderinkrementierung aufnehmen, da sich der zusätzliche positive Nulldurchgang ungefähr bei der halben Drehwinkeldifferenz einer Encoderinkrementierung befindet. Die Anwendung von HD5 (Abschnitt 2.1.2) und HDI (Abschnitt 2.1.3) liefert damit kein brauchbares Ergebnis und werden den Fall der Frequenzverdopplung nicht zuverlässig als einen schlechten Zustand identifizieren können.

Dies bestätigen auch Messungen von Jegenhorst, der diesen Fall in seiner Diplomarbeit [6] nachgewiesen hat. Die Abbildung 2.5 stellt rechts eine Messung des Klirrfaktors über die Distanz bei gleichbleibender Raddrehzahl dar. Der Sensor ist dabei in eine Position verkippt, die bei sehr naher Positionierung vor dem Encoderrad zu einer verdoppelten Frequenz des Sensorsignals führt. Der rote Graph stellt den Klirrfaktor dar, der mit Hilfe von Matlab errechnet wurde. Grundlage dieser Berechnung war das mit einem Oszilloskop aufgenommene Sensorsignal. Außerdem wurde als Grundfrequenz für die Klirrfaktorberechnung die Zahnfrequenz angenommen. Anhand des Graphen lässt sich feststellen, dass der Klirrfaktor unmittelbar vor dem Encoderrad sehr hoch ist. Im Gegensatz dazu ist der auf der Experimentalplattform ermittelte Klirrfaktor (blauer Graph) in diesem Bereich äußerst schwankend und wesentlich kleiner. Zum Vergleich, ist auf der linken Seite dieser Abbildung eine Messung zu sehen, bei frontaler Ausrichtung des Sensors vor dem Encoderrad, indem im Nahbereich der durch die Experimentalplattform ermittelte Klirrfaktor dem durch Matlab ermittelten Klirrfaktor im wesentlichen folgt.

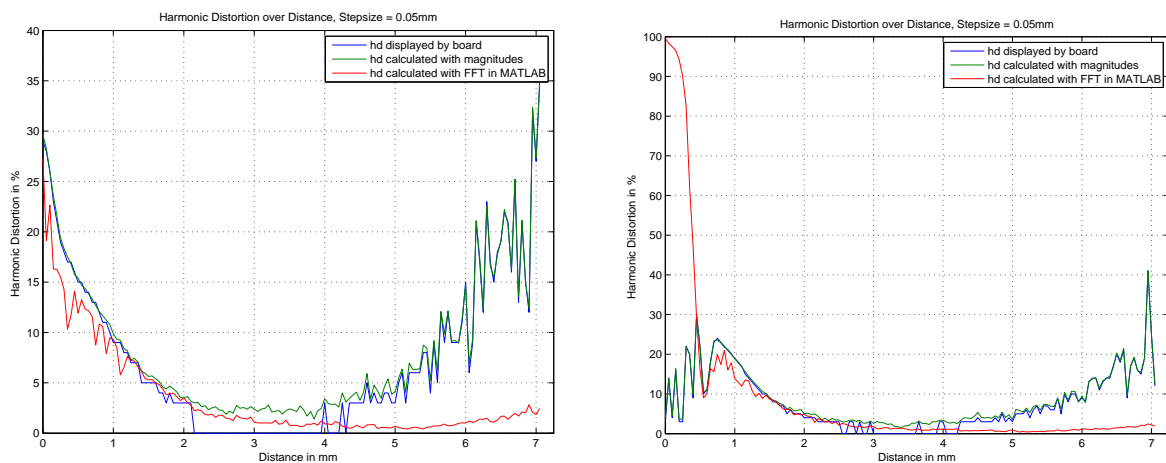


Abbildung 2.5.: Links: Klirrfaktor (HD) aufgetragen über die Distanz bei einer Verkipfung von 0°
 Rechts: Klirrfaktor (HD) aufgetragen über die Distanz bei einer Verkipfung von -15° , entnommen aus [6]

In Abbildung 2.6 sind beispielhaft die Skizzen von Sensorsignalen zu sehen. Sie stellen schematisch das Verhalten des Sensorsignals bei einer bestimmten Konfiguration des Sensors vor dem Encoderrad über zwei Inkrementierungen dar, wobei der Abstand des Sensors vor dem Encoderrad gleich bleibt, die Verkippung allerdings bei jedem Graph variiert. Bei geringer Verkippung besitzt das Sensorsignal annähernd die Form eines Sinus ohne Oberwellen, periodisch mit der Encoderinkrementierung (blauer Graph). Wird verkippert, bilden sich durch Oberwellen zwei zusätzliche Wendepunkte zwischen den Scheitelpunkten und dem Wendepunkt an der Stelle des fallenden Nulldurchgangs aus (grüner Graph). Wird weiter verkippert bilden sich zwei zusätzliche Halbwellen aus. Der fallende Nulldurchgang des oberwellenfreien Signals (blauer Graph) wird somit zu einer steigenden Flanke (pinker und roter Graph).

Somit gilt Gleichung 3.2. Da aus der Dauer zwischen zwei aufeinanderfolgenden, aufsteigen-

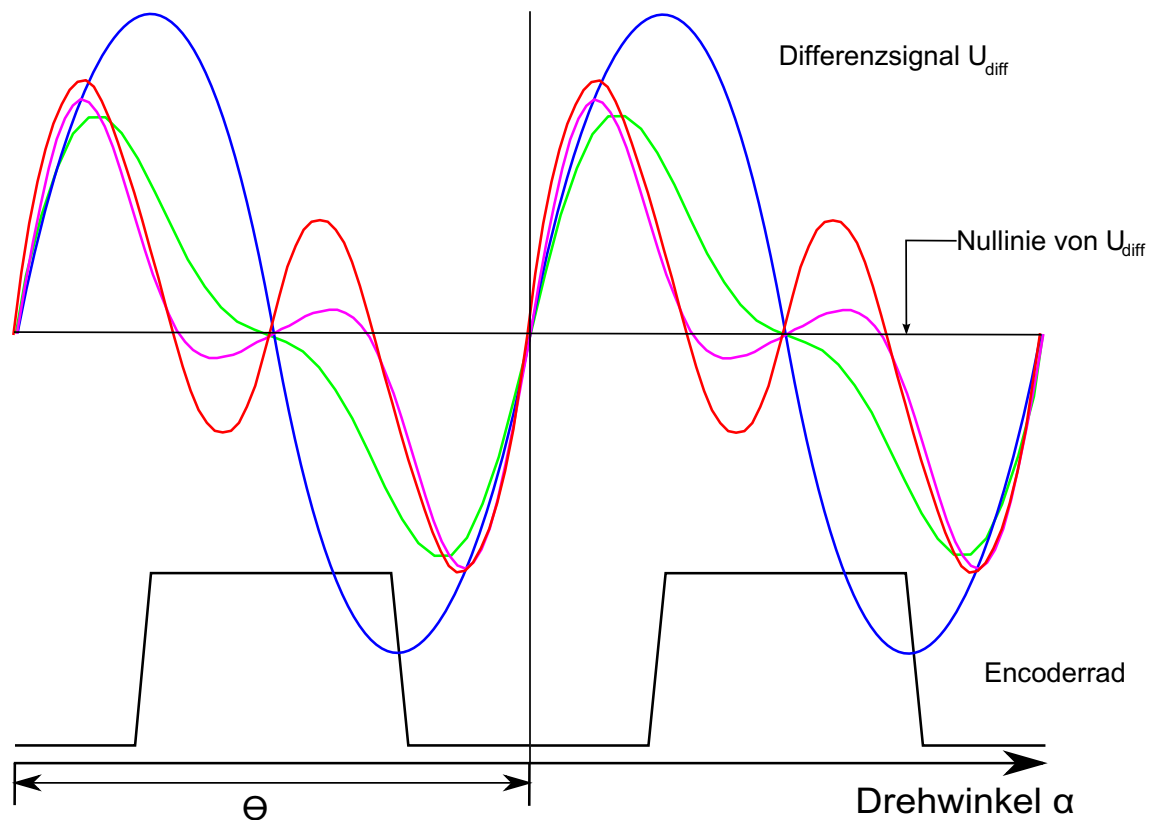


Abbildung 2.6.: Ausbildung weiterer Nulldurchgänge zwischen den Halbwellen

den Nulldurchgängen und der Anzahl der Encoderradzähne die Drehzahl des Encoderrades abgeleitet wird, ist das Eintreten dieses Sensorzustands unbedingt zu vermeiden. Ein Algorithmus, der das elektronische Eingreifen in den Bremsvorgang eines Automobils bestimmt, würde in diesem Fall zur Berechnung die doppelte tatsächliche Raddrehzahl nutzen. Dies

hätte auf den Bremsvorgang Folgen, die nicht absehbar sind. Deswegen ist es Gegenstand dieser Arbeit Möglichkeiten aufzuzeigen, die diesen Zustand identifizieren können.

2.4. Radunrundlauf und Fertigungsfehler

In der Praxis kommt es innerhalb einer Radumdrehung zu Schwankungen in den Signalamplituden, ohne dass der Sensor seine Position vor dem Encoderrad verändert. Das ist damit zu begründen, dass der Abstand zwischen Sensorkopf und Encoderradzahn über eine Umdrehung des Encoderrads differieren kann. Dies bedeutet, dass die Bedingung, formuliert in Gleichung 2.5, nicht erfüllt ist, denn die Signalform und die Signalamplitude ist damit nicht bei jeder Encoderinkrementierung gleich. Dies führt zwangsläufig bei der Berechnung der Harmonischen zu Fehlern. Mögliche Ursachen hierfür ist zum einen, dass das Encoderrad einen Unrundlauf besitzt, zum anderen kann die Ausprägung der einzelnen Zähne aufgrund von Fertigungsungenauigkeiten unterschiedlich sein. Diese Effekte verstärken sich noch, umso weiter sich der Sensor vom Encoderrad entfernt. Um das Sensorsignal abtasten zu können muss es verstärkt werden, um den Eingangsspannungsbereich des Analog-Digital-Umsetzers auszunutzen und ausreichend quantisieren zu können. Eine weitere Problematik ist diejenige, dass es innerhalb einer Radumdrehung teilweise zu einer Frequenzverdopplung kommen kann, teilweise aber auch nicht. Da das Signal wie in Abschnitt 2.1.1 beschrieben sequentiell abgetastet wird, enthält das auf dem Controller zusammengesetzte und analysierte Signal sowohl Abtastwerte aus Bereichen des Sensorsignals, an denen diese Frequenzverdopplung herrscht und als auch aus Bereichen wo dies nicht der Fall ist. Welche Folgen dies für die Analyse des Sensorsignals hat wird in dieser Arbeit dargestellt und mögliche Lösungen werden vorgestellt.

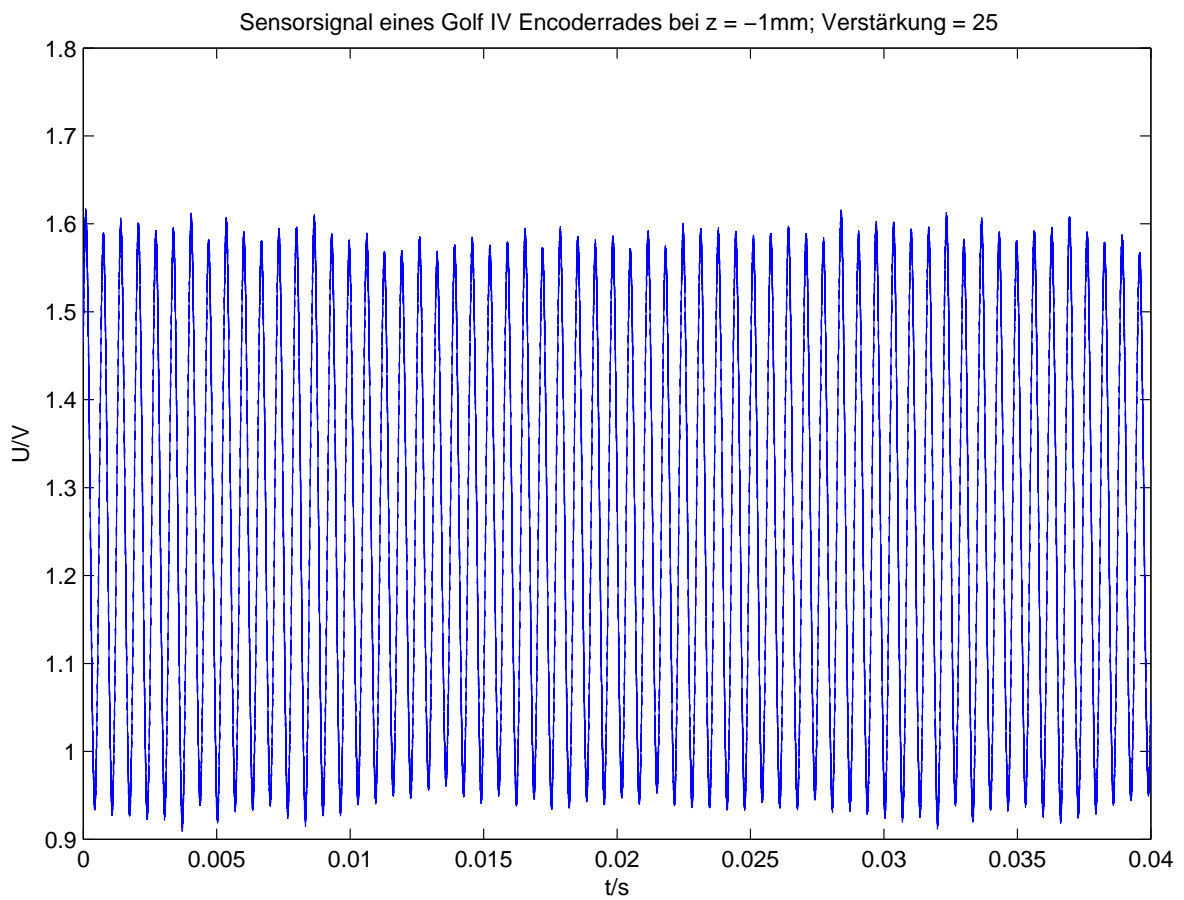


Abbildung 2.7.: Sensorsignal bei geringer Verstärkung, mit leichter Amplitudenschwankung

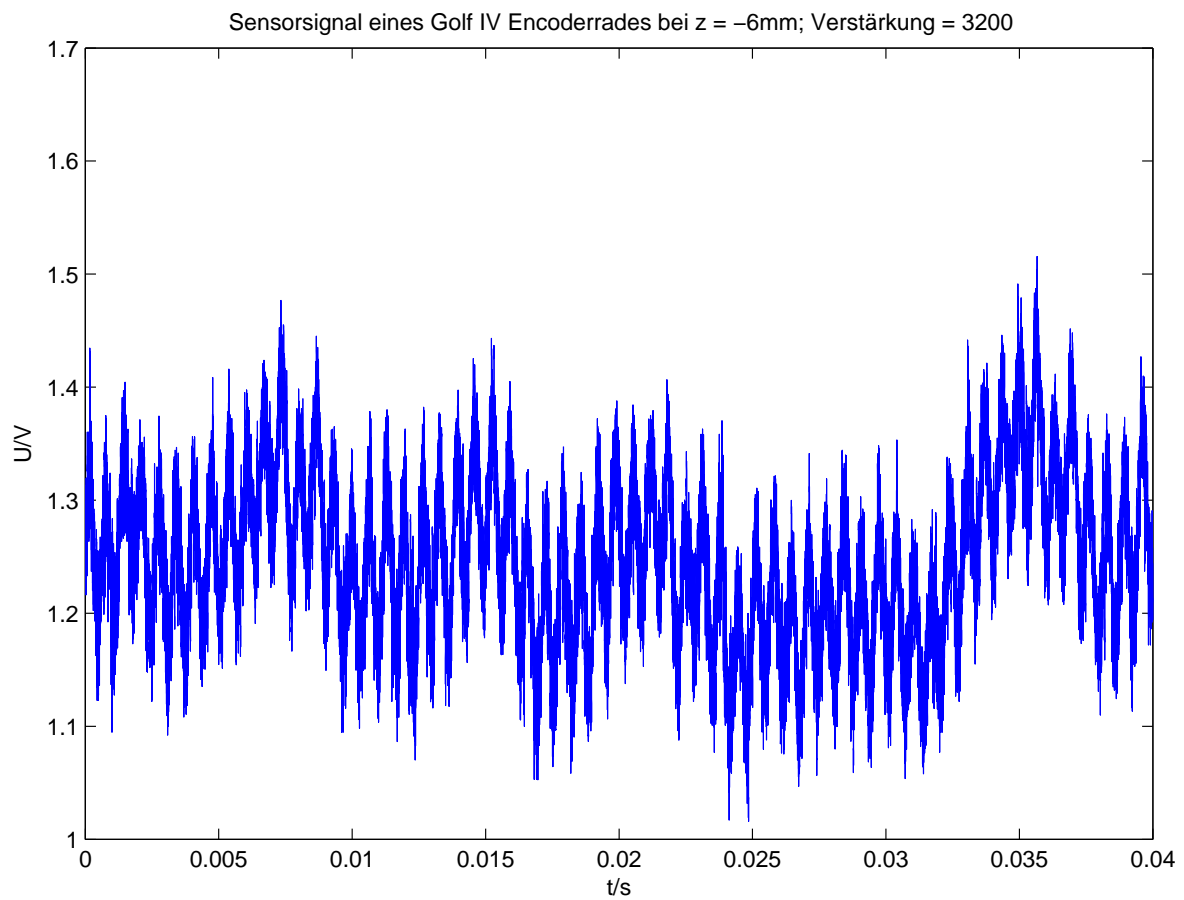


Abbildung 2.8.: Sensorsignal bei großer Verstärkung, mit starker Amplitudenschwankung

3. Lösungskonzept

3.1. Begriffsklärung

In diesem Kapitel werden zunächst einige Bezeichnungen für bestimmte Frequenzen, die in dieser Arbeit eine Rolle spielen festgelegt und erläutert in welchen Beziehungen sie zueinander stehen. Es ist zu beachten, dass sich die Raddrehzahl über die Dauer eines Abtastintervalls der sequentiellen Abtastung (siehe 2.1.1) ständig ändern kann. Darum handelt es sich bei allen unten besprochenen Frequenzen um gemittelte Werte, die über eben diese Dauer des Abtastintervalls gebildet werden.

- f_{GW} bezeichnet die Zahnfrequenz. Sie ist diejenige Frequenz, mit der sich die einzelnen Zähne des Encoderrades am Sensor vorbeibewegen. Diese hängt von der Drehzahl und der Anzahl der Zähne des Encoderrades ab.
- f_D bezeichnet die Detektionsfrequenz. Das ist diejenige Frequenz, die die Software der Experimentalplattform als Zahnfrequenz ermittelt. Auf der Experimentalplattform ist dafür eine Nulldurchgangserkennung mittels eines Smartcomparators realisiert worden.
- f_{HB} bezeichnet die Frequenz der 1. Harmonischen Schwingung, dessen Anteile die Software der Experimentalplattform berechnet.

Der Zusammenhang zwischen Detektionsfrequenz f_D und Zahnfrequenz f_{GW} unterscheiden sich, je nach Art des Sensorsignals. Es werden hierfür zwei Zustände differenziert.

- Der *Normalfall* bezeichnet den Sensorzustand, indem die Zahnfrequenz f_{GW} gleich der Detektionsfrequenz f_D ist. Es gilt also:

$$f_{GW} = f_D \tag{3.1}$$

- Die *Frequenzverdopplung* bezeichnet den Zustand, indem die detektierte Frequenz f_D doppelt so groß ist wie die Zahnfrequenz f_{GW} . Es folgt:

$$f_{GW} = \frac{1}{2} \cdot f_D \tag{3.2}$$

3.2. Anpassung des Softwaredesigns der Experimentalplattform

3.2.1. Abtastung

Wie in Abschnitt 2.1.1 beschrieben wird in der Lösung von [6] aus 64 Perioden T sukzessive jeweils ein Abtastwert genommen. Diese Abtastwerte werden zusammengefügt als wären sie die einer einzelnen Periode des Sensorsignals. Tritt jedoch die *Frequenzverdopplung* auf, so entspricht die detektierte Frequenz des Signals f_D nicht der Zahnfrequenz f_{GW} sondern ist doppelt so groß, da die Signalverzerrung dazu führt, dass zwei weitere Nulldurchgänge entstehen. Dadurch wird nur eine halbe Inkrementierung des Encoderrads abgetastet (Siehe 2.3). In diesem Fall ist die Frequenz der harmonischen Basis f_{HB} nicht gleich der Zahnfrequenz f_{GW} sondern der doppelt so großen Detektionsfrequenz f_D .

Um in beiden Fällen eine ganze Encoderinkrementierung aufzunehmen, bzw. durch sequentielle Abtastung zusammzusetzen, ist es nötig, grundsätzlich zwei Detektionsperioden $T_D = \frac{1}{f_D}$ abzutasten. Das heißt, dass die 64 Abtastwerte zusammengesetzt anstatt zweier Halbwellen, vier Halbwellen ergeben. Die Abbildung 3.1 stellt schematisch dieses Verfahren anhand eines Sensorsignals bei *Frequenzverdopplung* dar.

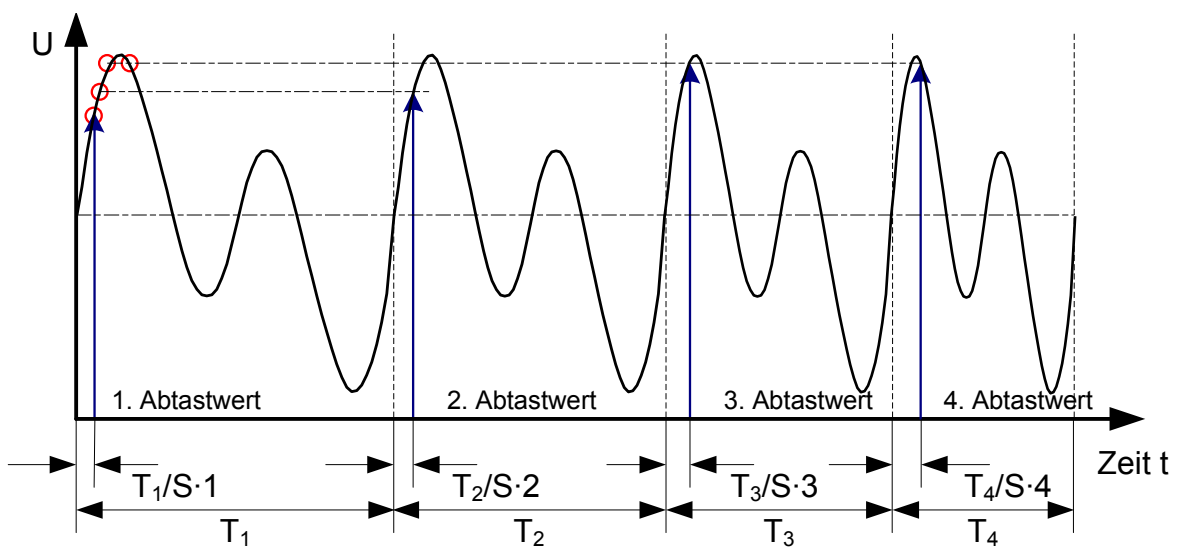


Abbildung 3.1.: Sequentielle Abtastung eines nicht periodischen Signals, bei Frequenzverdopplung

Durch diese Veränderung, verdoppelt sich die Anzahl der Encoderradinkrementationen, die für ein Abtastintervall nötig sind.

3.2.2. Harmonic Distortion 5 - HD5

Aufgrund der veränderten Abtastung muss die HD5-Methode zur Klirrfaktorbestimmung angepasst werden. Im Normalfall werden durch die modifizierte Abtastung zwei Encoderinkrementierungen aufgenommen. Die Abtastfolge bildet folglich zwei Signalperioden ab. Wird also eine DFT auf diese Abtastfolge angewendet, so dominiert die zweite Spektrallinie. Damit gilt:

$$f_{HB} = \frac{1}{2}f_D = \frac{1}{2}f_{GW} \quad (3.3)$$

Da die Frequenz der doppelten harmonischen Basis f_{HB} der Zahnfrequenz f_{GW} entspricht, können keinerlei Frequenzanteile an der Stelle von f_{HB} und deren ungeraden Vielfachen vorhanden sein (Siehe Abbildung 3.2). Folglich muss der veränderte HD5-Algorithmus dahingehend angepasst werden, dass der Grundschwingungsanteil nichtmehr der harmonischen Basis f_{HB} entspricht, sondern $f_D = 2 \cdot f_{HB}$. Außerdem müssen statt fünf, zehn Harmonische errechnet werden um den gleichen Klirrfaktor zu erhalten, wie die HD5-Methode bei der ursprünglichen Art der Abtastung. Also muss die Formel 2.17 folgendermaßen verändert werden:

$$k_{\%} = 100\% \cdot \sqrt{\frac{|U_4|^2 + |U_6|^2 + |U_8|^2 + |U_{10}|^2}{|U_2|^2 + |U_4|^2 + |U_6|^2 + |U_8|^2 + |U_{10}|^2}} \quad (3.4)$$

Der Zusammenhang von harmonischen Basis f_{HB} und Zahnfrequenz f_{GW} verändert sich allerdings, sobald die Signalverzerrung zur Frequenzverdopplung führt. Nun wird nur eine Encoderinkrementierung aufgenommen. Dadurch ist die Zahnfrequenz f_{GW} gleich der harmonischen Basis f_{HB} . Es gilt also:

$$f_{HB} = f_{GW} = \frac{1}{2}f_D \quad (3.5)$$

Es wird im Fall der Frequenzverdopplung somit nicht der selbe Klirrfaktor berechnet, wie im Normalfall, da der Algorithmus grundsätzlich davon ausgeht, dass die Grundschwinung an der Stelle von $f_D = 2 \cdot f_{HB}$ liegt.

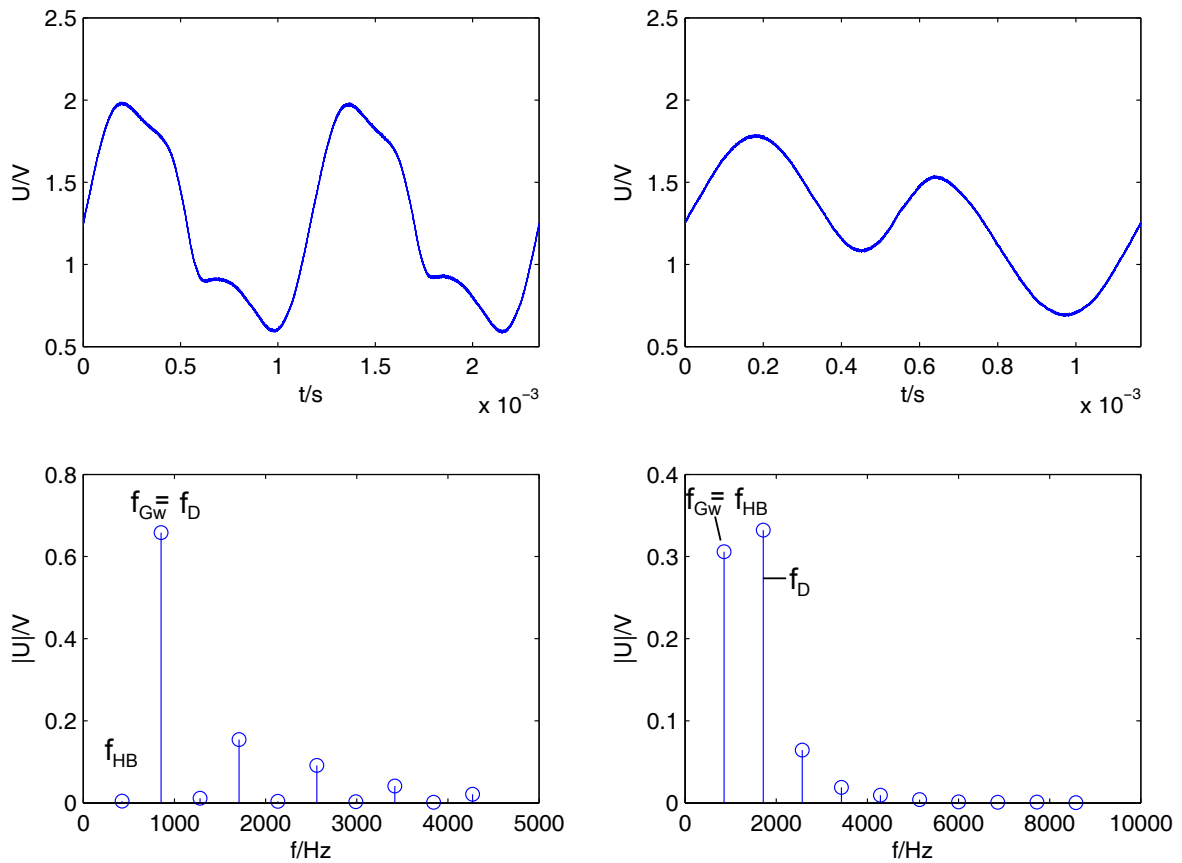


Abbildung 3.2.: Links: Stark verzerrtes Sensorsignal im ohne Frequenzverdopplung,
 Rechts: Sensorsignal bei Frequenzverdopplung,
 Oben: Sensorsignal, Unten: Harmonischen Spektrum

3.2.3. Harmonic Distortion Infinite - HDI

Auch die HDI-Methode muss an die veränderte Abtastung angepasst werden. Die Implementierung unterscheidet sich damit von der in Abschnitt 2.1.3 und [8] beschriebenen. Der Abschnitt 3.2.2 erläutert, dass die Grundschiwingung des Sensorsignals bei dieser Abtastung auf der zweiten Frequenzlinie liegt. Das bedeutet, dass nicht wie zuvor die Leistung von f_{HB} berechnet werden muss. Stattdessen muss die Leistung von f_D berechnet und von der Gesamtleistung abgezogen werden, um die Leistung der Oberwellen der Grundschiwingung zu berechnen. Damit verändert sich Gleichung 2.19:

$$k_{\%} = 100\% \sqrt{\frac{P_{ges} - P_2}{P_{ges}}} = 100\% \sqrt{\frac{P_{ob}}{P_{ges}}} \quad (3.6)$$

Es muss also statt der Leistung der ersten Harmonischen P_1 die Leistung der zweiten Harmonischen P_2 des Abgetasteten Signals berechnet werden.

Vergleicht man die Formeln 3.4 und 3.6 der Klirrfaktorberechnung für HD5 und HDI und betrachtet das Harmonischen-Spektrum des Sensorsignals bei Frequenzverdopplung in Abbildung 3.2, so wird ersichtlich, dass die HDI-Methode in diesem Fall einen deutlich höheren Klirrfaktor berechnen wird als die HD5-Methode. Der stark ausgeprägte Anteil der Harmonischen Basis am Signal fließt, im Gegensatz zum HD5-Verfahren, in die dem HDI-Verfahren zugrunde liegenden Gesamtwechsellleistung ein und erhöht damit das Ergebnis der Formel 3.6. Folglich wird das HDI-Verfahren die Frequenzverdopplung im Gegensatz zum HD5-Verfahren als schlechten Zustand erkennen, aber auch stärker Rauschen oder Niederfrequente-Effekte wie Radunrundlauf mit einbeziehen. Aus diesem Grund ist erwartbar, dass in der Praxis auch ohne Frequenzverdopplung der Klirrfaktor, ermittelt mit der HDI-Methode höher ausfällt im Vergleich zu HD5-Methode. Das hängt damit zusammen, dass in der Praxis das Sensorbrückensignal immer irgendwelche Anteile besitzen werden, deren Frequenz nicht auf einem Vielfachen der Zahnfrequenz liegen.

3.2.4. Odd Harmonic Distortion - OHD

In der Abbildung 3.2 und in Abschnitt 3.2.2 angedeutet, haben die Abtastfolgen von *Normalfall* und *Frequenzverdopplung* spektral unterschiedliche Charakteristiken. So sind im Normalfall grundsätzlich keine Anteile an der Stelle von f_{HB} und deren ungeraden Vielfachen vorhanden. Darum bietet es sich an einen Indikator zu definieren, an dem ablesbar ist welcher Fall vorliegt. Sinnvollerweise sollte die Berechnung dieses Indikators auf den vorgestellten Methoden HD5 und HDI aufsetzen.

Es bietet es sich an, zur Bildung des Indikators die auf der Experimentalplattform berechneten Harmonischen in ein Verhältnis zueinander zu setzen, ähnlich des des Klirrfaktors. Da wie oben beschreiben im *Normalfall* keine Anteile an der Stelle der Harmonischen Basis und deren ungeraden Vielfachen vorhanden sind, bei einer *Frequenzverdopplung* allerdings schon, scheint es sinnvoll, das Verhältnis aus der Summe der Beträge der ungeraden Harmonischen und den der geraden Harmonischen zu bilden. Dieser Indikator wird deswegen als *Odd-Even-Harmonic-Distortion* benannt, abgekürzt als OEHD. Mathematisch ausgedrückt lautet der OEHD:

$$OEHD_{\%} = 100\% \cdot \sqrt{\frac{\sum_{k=0}^{\infty} U_{2k+1}^2}{\sum_{i=1}^{\infty} U_{2i}^2}} \quad (3.7)$$

Dies ist aber nur implementierbar mit der Harmonischen Analyse der modifizierten HD5-Methode, da sie die Anteile der ersten zehn Harmonischen berechnet. Für den OEHD müssten also diese Harmonischen nur in das oben beschriebene Verhältnis gesetzt werden. Der HDI, berechnet wie in Abschnitt 2.1.3 beschrieben die Leistung des Signals und nur den Anteil einer Harmonischen und ist damit nicht in der Lage den OEHD zu berechnen. Um also den Indikator auch mit der HDI-Methode berechnen zu können und das Ergebnis mit dem der HD5-Methode vergleichen zu können, ist es nötig ihn auf eine andere Weise zu definieren. Um die Stärke des geringeren Rechenaufwands des HDI im Vergleich zum HD5-Algorithmus möglichst beizubehalten, sollte dieser Indikator im Nenner die Gesamtleistung bzw. die Summierung aller berechneten Harmonischen enthalten und im Zähler möglichst wenige einzelne harmonische Anteile aufsummieren. Diese Vorgaben legen folgende mathematische Formulierung nahe.

$$OHD_{\%} = 100\% \cdot \sqrt{\frac{U_1^2 + U_3^2}{\sum_{i=1}^{10} U_i^2}} \approx 100\% \cdot \frac{\sqrt{U_1^2 + U_3^2}}{P_{ges}} \quad (3.8)$$

Für diese Berechnung muss die HDI-Methode zusätzlich zwei weitere Harmonische berechnen. Der erweiterte HD5-Algorithmus berechnet ohnehin die ersten zehn Harmonischen. Es ist also lediglich nötig ihn um die Berechnung des OHD zu erweitern.

Allerdings wird die Vereinfachung aus Formel 3.8, die die Summe der zehn Harmonischen mit der Gesamtwechsellleistung gleich setzt, dazu führen, dass der OHD, ermittelt durch das HDI-Verfahren, geringer ausfällt als der OHD ermittelt mit der HD5-Methode. Die Gesamtwechsellleistung wird in der Regel größer sein, als die Summe der zehn Harmonischen, da sie Rauschleistung sowie Anteile unterhalb und oberhalb der zehn Harmonischen einbezieht.

3.2.5. Discard Sample Counter - DSC

Wie in Abschnitt 2.4 beschrieben, kann es dazu kommen, dass sich die Signalform aufgrund von Radunrundlauf und Deformation von Encoderradzähnen während einer Radumdrehung stark verändert. Dies führt zu einem Sensorzustand, indem es innerhalb einer Radumdrehung nur teilweise zur Frequenzverdopplung kommt. Ein solches Signal ist in Abbildung 3.3 zu sehen. Dieser Zustand ergibt sich bei einer ganz bestimmten Sensorpositionierung. Diese liegt in dem Bereich, indem die Verzerrung des Sensorsignals gerade beginnt zusätzliche Nulldurchgänge zu verursachen. Dieser Zustand ist schwer zu detektieren, da nicht genau vorausgesagt werden kann, aus welchem Bereichen der Encoderradumdrehung Abtastwerte entnommen werden.

Ein Indikator für diesen Zustand ergibt sich daraus, dass wie in Abschnitt 2.1.1 beschrieben, Abtastwerte verworfen werden, sobald die Signalperiode aus der ein Abtastwert entnommen wird, zeitlich signifikant von der vorherigen abweicht. Wird während eines Abtastintervalls mitgezählt wie häufig ein Abtastwert verworfen wird, so lässt sich bei einer hohen Anzahl darauf schließen, dass sich der Sensor in der oben beschriebenen Position befindet.

Im Normalfall, unter Verwendung eines idealen Encoderrads, kann es allenfalls bei einer relativ geringen Geschwindigkeit zu so starken Abweichungen der Dauer von aufeinanderfolgenden Perioden kommen, dass Abtastwerte verworfen werden müssen. Siehe hierfür [6].

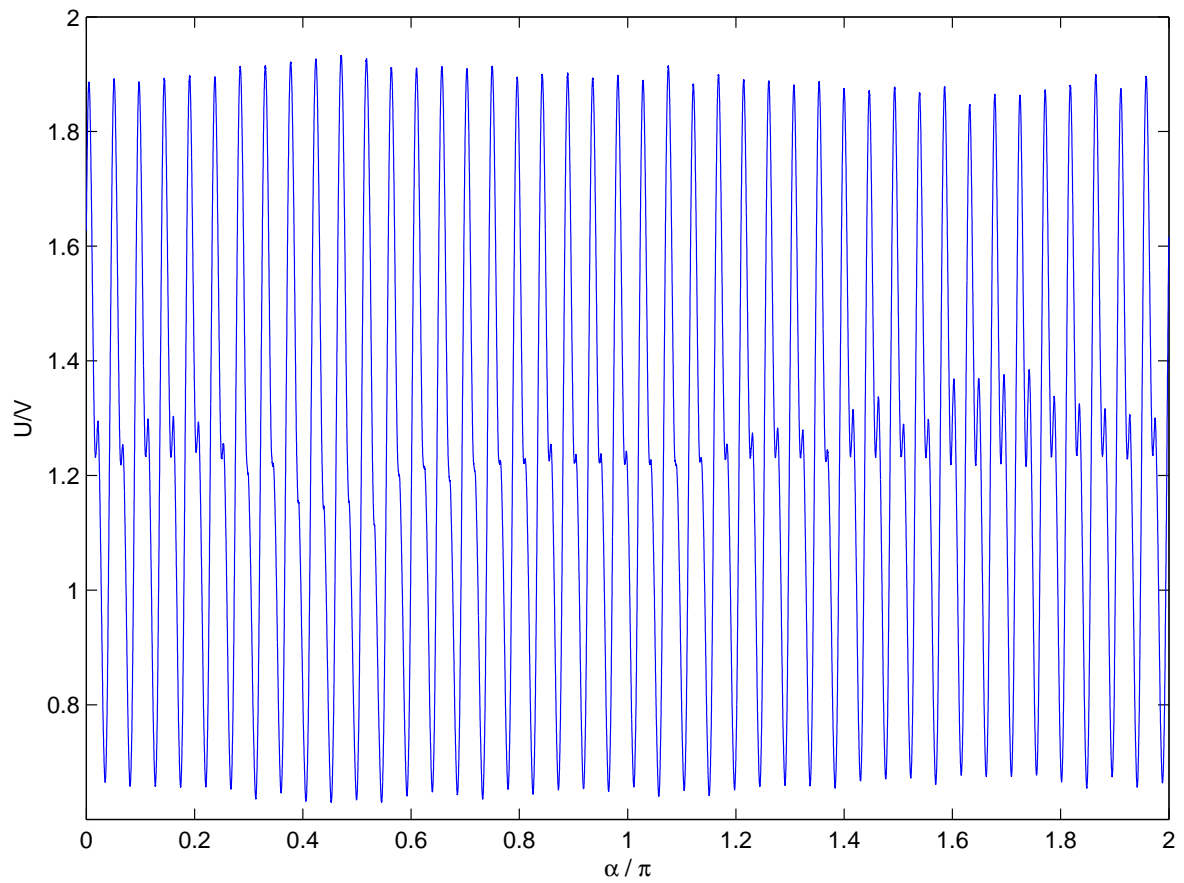


Abbildung 3.3.: Sensorsignal im Grenzbereich zwischen Frequenzverdopplung und Normalfall

4. Realisierung

4.1. Anpassung der Abtastung

In der ursprünglichen Implementierung von [6] wurde ein Zustandsautomat mit sechs Zuständen für die Signalabtastung realisiert. Dieser ist in der Interrupt Service Routine (ISR) *isr_comp_a.c* des Comparators implementiert. Die Zustände werden mit jedem erkannten steigenden Nulldurchgang des Sensorsignals durchlaufen. Dies ist durch eine Switch-Case anweisung realisiert worden.

- *S1_Prepare_Measure_Periode*: In diesem Zustand wird der Taktvorteiler für den *Timer B* so bestimmt, dass der Quantisierungsfehler bei der Messung von zwei Sensorperioden möglichst gering ist, und ohne dass es zu einem Zählerüberlauf kommt. Dafür wird im Übergeordneten Zustandsautomat, mittels des *Timer A*, laufend eine grobe Messung der Periodendauer des Signals vorgenommen.
- *S2_Measure_Periode_Start*: Hier wird der *Timer B* gestartet.
- *S3_Measure_Periode_End*: *Timer B* wird angehalten und ausgelesen. Außerdem wird ein Interruptanforderung durch den *Port1* ausgelöst, in dessen ISR der nächste Abtastzeitpunkt berechnet wird. Kommt es zu einem Überlauf des *Timer B*, so wird der Automat zurückgesetzt.
- *S4_Take_Sample_Start*: Der Analog-Digital-Umsetzer (*ADC*) wird aktiviert und der *Timer B* wird wieder gestartet.
- *S5_Take_Sample_End*: Der *Timer B* wird gestoppt, erst jetzt wird der Abtastwert in der ISR des *ADC* verarbeitet. Dies ist nötig um überprüfen zu können, in wie weit sich die Periodendauer, die Grundlage für die Berechnung des Abtastwertes war, und die Dauer der Periode aus der der Abtastwert entnommen wurde, unterscheiden. Bei einer Abweichung von mehr als 3,125% wird der aktuelle Messwert verworfen. Im folgenden Durchlauf des Automaten wird noch einmal versucht einen gültigen Abtastwert aufzunehmen.
- *S6_Process_Sample*: In diesem Zustand wird überprüft, ob die Verarbeitung des Abtastwertes abgeschlossen ist. Ist dies der Fall, so ist der Folgezustand *S1*, andernfalls wird im Zustand *S6* verweilt.

Diese Zustandsautomat ist nicht ausreichend, sobald die Verzerrung derart stark wird, dass es zu zusätzlichen Nulldurchgängen kommt. Eine Encoderinkrementierung würde nun nicht mehr zwei, sondern vier Nulldurchgänge erzeugen. Somit wird nur eine halbe Signalperiode abgetastet, bestehend aus zwei Halbwellen mit unterschiedlichen Amplituden. Da der Zustandsautomat im Zustand S6 eine unbestimmte Anzahl an Signalperioden verbleibt, abhängig davon wie viele Signalperioden die Sampleverarbeitung dauert, ist es von der Zahnfrequenz abhängig wieviel Nulldurchgänge zwischen den Perioden liegen aus denen ein Abtastwert entnommen wird (Siehe Abbildung 4.3). Würde folglich der Zustandsautomat im Zustand S6 eine gerade Anzahl an steigenden Nulldurchgängen verweilen, so würde abwechselnd aus den Halbwellen mit unterschiedlichen Amplituden ein Abtastwert entnommen. Dadurch würde also nicht nur keine ganze Encoderinkrementierung aufgenommen werden, sondern die Abtastwerte wären zusätzlich nicht in der richtigen Reihenfolge. Dieser Fall ist in Abbildung 4.1 rechts dargestellt. Links in Abbildung 4.1 befindet sich das dazugehörige abgetastete Signal.

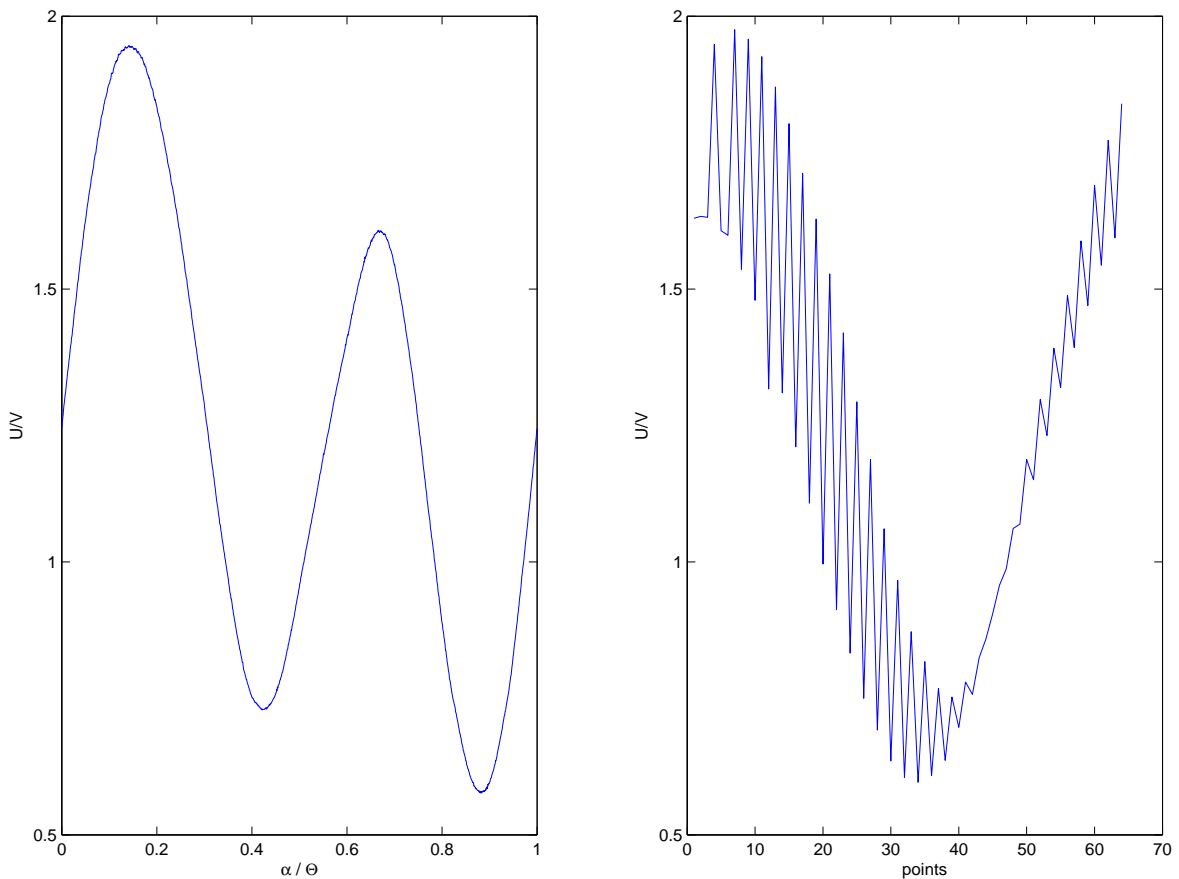


Abbildung 4.1.: Links: Sensorsignal einer Encoderinkrementierung bei Frequenzverdoppelung, Rechts: Ergebnis der ursprünglich implementierten Abtastung

Wie in Abschnitt 3.2.1 beschrieben, bietet sich als Lösung an, zwei Signalperioden abzutasten. Im Falle der *Frequenzverdopplung* wird folglich eine Encoderinkrementierung abgetastet, im *Normalfall* sind es hingegen zwei. Um dies zu erreichen muss die ursprüngliche Implementation angepasst werden, indem zwei zusätzliche Zustände eingefügt wurden.

- *S2a_Measure_Periode_Middle* dient dazu, eine steigende Flanke später den *Timer B* zu stoppen. Das beeinflusst die Berechnung des folgenden Abtastzeitpunktes in Zustand *S3_Measure_Periode_End* dahingehend, dass die Schrittweite doppelt so groß wird. Bei gleicher Anzahl an Abtastpunkten *S* sind diese Abtastzeitpunkte auf den doppelten Signalbereich im Vergleich zur Ursprungsimplementation ausgelegt.
- *S4a_Take_Sample_Middle* wird benötigt, damit auch der Bereich, aus dem ein Abtastwert entnommen werden kann, zu verdoppeln.

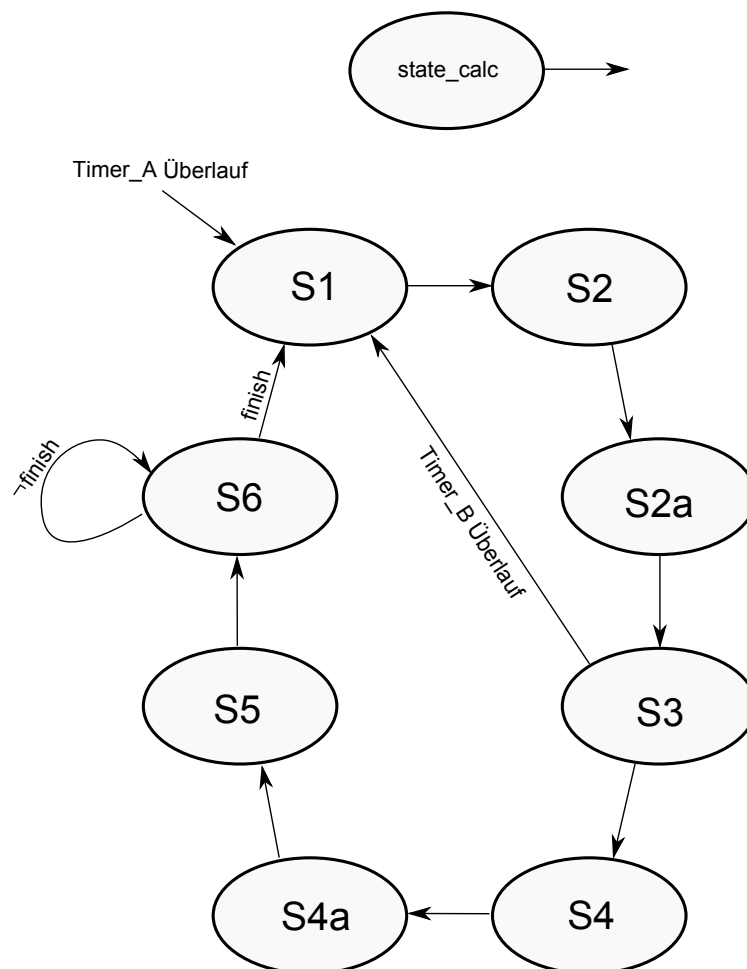


Abbildung 4.2.: Zustandsdiagramm des Automaten *state_calc*, der Zustandswechsel erfolgt bei jeder steigenden Nulldurchgang des Sensorsignals

Um sicherzustellen, dass zwei die Abtastwerte in eine sinnvolle Reihenfolge gebracht werden, ist es schlicht nötig, dass der Zustandsautomat eine ungerade Anzahl an steigenden Flanken im Zustand S6 verweilt (Siehe Abbildung 4.3). Das wird dadurch realisiert, dass die Variable *even_finish* jedes Mal inkrementiert wird, wenn S6 erreicht wird, ohne dass die Sampleverarbeitung abgeschlossen ist. Ist die Sampleverarbeitung schließlich abgeschlossen, aber der Zählerwert ist gerade, so bleibt der Zustandsautomat ein weiteres Mal im Zustand S6. Erst danach wird dieser Zähler auf 1 zurückgesetzt und in den ersten Zustand gewechselt. Im folgenden der Auschnitt aus der ISR des Comparators, der die Case-Anweisung des Zustands S6 betrifft. Dabei ist *finish* das angesprochene Flag, das gesetzt wird, sobald die Sampleverarbeitung abgeschlossen ist.

```
1 case S6_Process_Sample :  
    // Warten bis Verarbeitung des Samples fertig.  
3    // Und ungerade Anzahl an Messwerten  
    // Verarbeitung in der ISR Routine des ADC12  
5    if(g_calc.finish == TRUE && (g_calc.even_finish & 0x1)) {  
        g_calc.finish = FALSE;  
7        g_calc.even_finish = 1;  
        state_calc = S1_Prepare_Measure_Periode;  
9    }  
    else  
11    // Häufigkeit des Verweilens in State S6 mitzählen  
        g_calc.even_finish++;  
13    break;
```

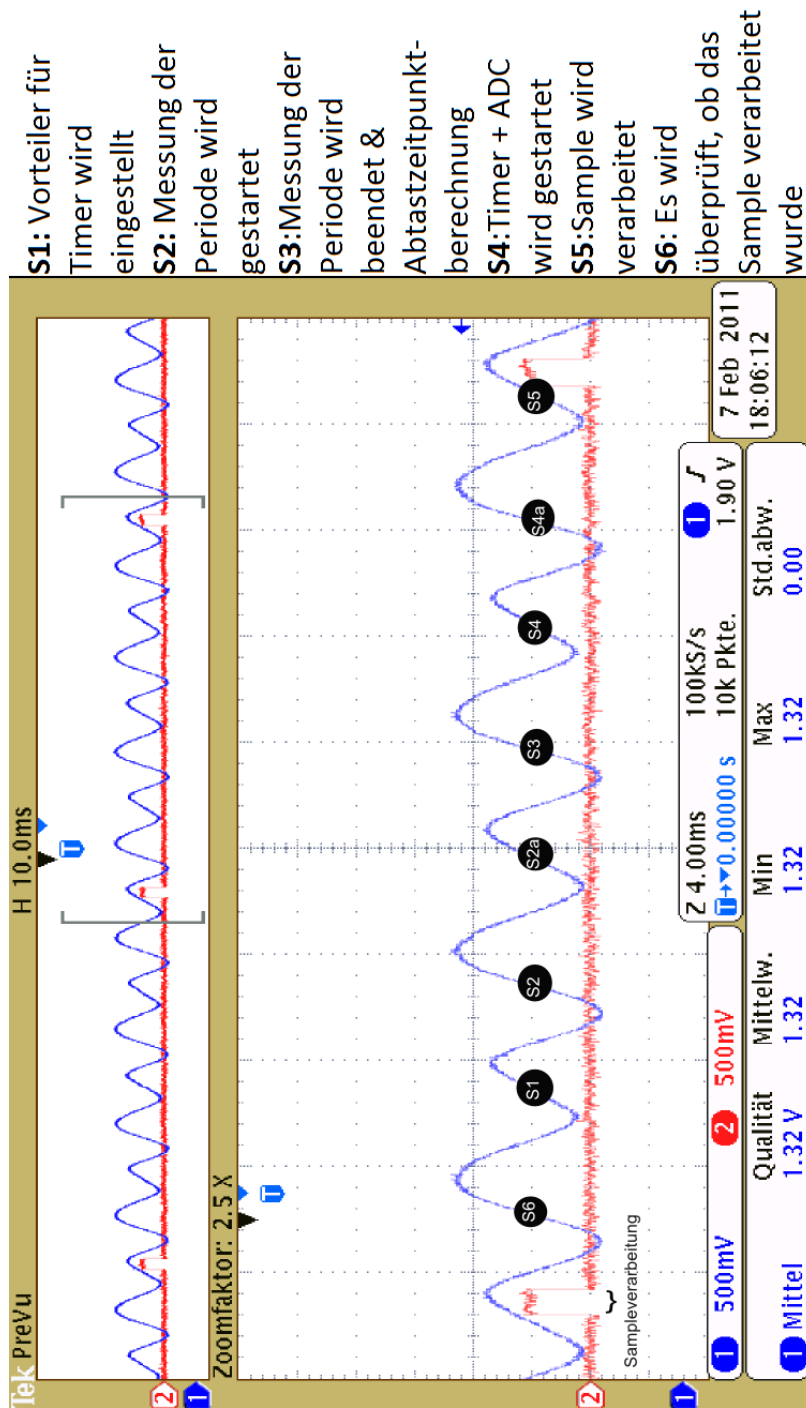


Abbildung 4.3.: Sensorzustände im Signalverlauf

4.2. Anpassung des HD5

Der in der Arbeit [6] implementierte HD5 Algorithmus muss lediglich an die veränderte Abtastung angepasst werden. Die Berechnung der zehn Harmonischen, die benötigt werden (siehe Abschnitt 3.2.2) erfolgt schlicht, indem die Konstante HARMONICS entsprechend eine zehn zugewiesen wird. Zur Berechnung des Klirrfaktors müssen die errechneten Harmonischen entsprechend Gleichung 3.4 in ein Verhältnis gesetzt werden. Nähere Erläuterungen zur Implementierung des HD5-Verfahrens sind in [6] nachlesbar.

4.3. Implementation des HDI

Die von Lennard Koch entwickelte HDI-Methode zur Berechnung des Klirrfaktors wurde in einer Beispielimplementierung auf einem Entwicklungsboard mit einem MSP430 „MSP430-169STK“ realisiert [8]. Diese Implementierung war angepasst an die Abtastung in der ursprünglichen Form wie sie in der Arbeit von Jegenhorst [6] implementiert wurde. Aufgrund dessen und zur Berechnung des OHD wurden diese Implementierung etwas verändert und erweitert. Außerdem wurden einige Optimierungen im Programmablauf vorgenommen.

4.3.1. `calc_HD_noise_sampling`

Die erste Veränderung betrifft die Methode `calc_HD_noise_sampling`, welche nach jeder Aufnahme eines Samplewertes in der ISR des ADC aufgerufen wird. In dieser Funktion wird der ADC Wert, sowie dessen Quadrat in den Variablen `x_gl` bzw. `l_ges` über ein Abtastintervall aufsummiert. Dieses dient zur späteren Berechnung der Gesamtwechsellleistung nach Formel 2.28 und unterscheidet sich nicht von der Ursprungsimplementation [8]. Des Weiteren werden in dieser Funktion Real- und Imaginärteile der ersten drei Harmonischen jeweils aufsummiert. Dies unterscheidet sich von der Ursprungsimplementation, in der nur die Real- und Imaginärteile der ersten Harmonischen aufsummiert wurden. Für Real- bzw. Imaginärteil gilt:

$$\Re[h] = \sum_{k=0}^{N-1} s(k) \cdot \cos(\omega \cdot h \cdot k) \quad (4.1)$$

bzw.

$$\Im[h] = \sum_{k=0}^{N-1} s(k) \cdot \sin(\omega \cdot h \cdot k) \quad (4.2)$$

Für die Lösung der Sinus- und Kosinusfunktion wurden Werte in eine Look-Up-Table (LUT) abgelegt, die schon in der Implementierung des HD5 von Jegenhorst [6] verwendet wurde

und 32 Werte umfasst. Da der Kosinus zum Sinus nur um 90° bzw. $\frac{\pi}{2}$ verschoben ist, wird für beide Funktionen nur eine LUT benötigt. Diese erhält allerdings bei der Lösung des Kosinus einen Index dem immer IDX_PI_H hinzuaddiert wird. Da die 32 hinterlegten Werte im Gradmaß 180° bzw. π im Bogenmaß abdecken, besitzt IDX_PI_H entsprechend für die Verschiebung von 90° bzw. $\frac{\pi}{2}$ den Wert 16. Um 360° der beiden trigonometrischen Funktionen abzudecken reichen diese 32 Werte, da die Ergebnisse für die verbleibenden 180° sich aufgrund der Symmetrie dieser Funktionen nur durch das Vorzeichen von den restlichen unterscheiden. Beim Zugriff auf den LUT werden dann nur die fünf LSB („Least significant bit“) betrachtet mittels einer And-Maskierung, was einer Modulo-32-Operation entspricht. Dies stellt eine geringfügige Optimierung des Programmablaufs gegenüber der Koch-Implementierung dar. In dieser wurde der Modulo-Operator verwendet, dessen Ausführungen für den Microcontroller wesentlich aufwendiger ist als eine einfache Bit-Maskierung. Allerdings ist es möglich, dass der Compiler diese Optimierung automatisch vornimmt.

Die Kreisfrequenz ω und der Faktor k werden in der Variable lut_pos zusammengefasst, diese wird am Ende der Funktion inkrementiert und nach der Aufnahme des letzten Abtastwerts eines Abtastintervalls auf 0 zurückgesetzt. Dies ist möglich, da die LUT an die 64 Samplewerte angepasst ist und diese durch die drehwinkelsynchrone Abtastung immer zwei bzw. im Ausnahmefall eine Signalperiode umfasst (Siehe Abschnitt 2.1.1 sowie 3.2.1). Um also den Real- und Imaginärteil der ersten drei Harmonischen zu berechnen wird eine Schleife dreimal durchlaufen. Dabei wird der Index der Harmonischen h berücksichtigt, indem am Anfang der Schleife die Variable lut_pos mit dem Schleifenindex $i+1$ multipliziert wird und das Ergebnis in der Variablen $lut_pos_harmonic$ gespeichert wird. Da der LUT nur eine Halbwelle der Sinusfunktion abbildet, muss berücksichtigt werden, dass die Sinusfunktion zwischen 0° und 180° positiv und zwischen 180° und 360° negativ ist. Entsprechend ist der um 90° verschobene Kosinus zwischen 90° und 270° negativ und im restlichen Bereich positiv. Wie die Tabelle 4.1 zeigt, spiegelt das sechste Bit der Variablen $lut_pos_harmonic$ wider, in welchen Bereichen des Abtastintervalls das Ergebnis der Sinusfunktion im positiven bzw. negativen Bereich liegt. Dabei entspricht eine „0“ dem positiven Bereich und eine „1“ dem negativen Bereich. Da eine Periode der ersten Harmonischen genau in die 64 Abtastwerte passt, sind die ersten 32 aufeinanderfolgenden Werte positiv und die restlichen negativ. Für die dritte Harmonische wechseln sich diese Bereiche sechs Mal einander ab, da drei Perioden der dritten Harmonischen in die 64 Abtastwerte passen. Damit ebenfalls für die Entscheidung in welchem Bereich die Kosinusfunktion einer bestimmten Harmonischen liegt nur das sechste Bit von $lut_pos_harmonic$ ausgewertet werden muss, ist es lediglich nötig zuvor IDX_PI_H zu addieren, um die Phasenverschiebung auszugleichen. Quelltext der Funktion `calc_HD_noise_sampling`:

```

1 void calc_HD_noise_sampling (void) {
  // **** Neue Implementierung
3 // Berechnung von Gleichanteil und 1–3Harmonischer während der
  Datenaufnahme

```

```

5 // Gleichanteil;
// max. Wortbreite überprüfen
//  $w_{ADC} * Id(64) = 12 + 6 = 18$  Bit also 32 Bit Register ausreichend
7 THD_calc.x_gl += (int32_t) g_adc.u_diff_b; //Summe aller Samples
// Leistung Gesamtsignal mit Gleichanteil
9 // max Wortbreite =  $2 * w_{ADC} + Id(64) = 24 + 6 = 30 \Rightarrow 32$  Bit
// ausreichend
THD_calc.x0_quad = (int32_t) g_adc.u_diff_b * g_adc.u_diff_b;
11 THD_calc.l_ges += THD_calc.x0_quad;
//1.-3. Harmonische, Real und Imaginärteil
13 // max. Wortbreite überprüfen
//  $w_{ADC} + w_{LUT} + Id(64) = 12 + 10 + 6 = 28$  Bit  $\Rightarrow 32$  Bit Register
// ist ausreichend
15 for(THD_calc.i = 0; THD_calc.i < 3; THD_calc.i++){
    THD_calc.lut_pos_harmonic = THD_calc.lut_pos * (THD_calc.i+1);
17 // Realteil errechnen
    THD_calc.prod = (int32_t) g_adc.u_diff_b * table_sin[(THD_calc.
        lut_pos_harmonic + IDX_PI_H) & 0x1F];
19 // wenn zwischen 0 und  $\pi/2$  oder zwischen  $3\pi/2$  und  $\pi$ 
    if ((THD_calc.lut_pos_harmonic + IDX_PI_H) & 0x20){
21 // Cosinus ist positiv
        THD_calc.real[THD_calc.i] += THD_calc.prod;
23 }
    else
25 // Cosinus ist negativ
        THD_calc.real[THD_calc.i] -= THD_calc.prod;
27
    // Imaginärteil errechnen
29 THD_calc.prod = (int32_t) g_adc.u_diff_b * table_sin[THD_calc.
        lut_pos_harmonic & 0x1F];
    //zwischen 0 und  $\pi$  oder  $\pi$  und  $2*\pi$ 
31 if (THD_calc.lut_pos_harmonic & 0x20)
        // Sinus ist Positiv
33 THD_calc.imag[THD_calc.i] += THD_calc.prod;
    else
35 //Sinus ist Negativ
        THD_calc.imag[THD_calc.i] -= THD_calc.prod;
37 }
    THD_calc.lut_pos++;
39 }

```

	1	1	h	2	3	3
lut_pos	sin	cos	sin	cos	sin	cos
0	0	0	0	0	0	0
1	0	0	0	0	0	0
2	0	0	0	0	0	0
3	0	0	0	0	0	0
4	0	0	0	0	0	0
5	0	0	0	0	0	0
6	0	0	0	0	0	1
7	0	0	0	0	0	1
8	0	0	0	1	0	1
9	0	0	0	1	0	1
10	0	0	0	1	0	1
11	0	0	0	1	1	1
12	0	0	0	1	1	1
13	0	0	0	1	1	1
14	0	0	0	1	1	1
15	0	0	0	1	1	1
16	0	1	1	1	1	0
17	0	1	1	1	1	0
18	0	1	1	1	1	0
19	0	1	1	1	1	0
20	0	1	1	1	1	0
21	0	1	1	1	1	0
22	0	1	1	1	0	0
23	0	1	1	1	0	0
24	0	1	1	0	0	0
25	0	1	1	0	0	0
26	0	1	1	0	0	0
27	0	1	1	0	0	1
28	0	1	1	0	0	1
29	0	1	1	0	0	1
30	0	1	1	0	0	1
31	0	1	1	0	0	1
32	1	1	0	0	1	1
33	1	1	0	0	1	1
34	1	1	0	0	1	1
35	1	1	0	0	1	1
36	1	1	0	0	1	1
37	1	1	0	0	1	1
38	1	1	0	0	1	0
39	1	1	0	0	1	0
40	1	1	0	1	1	0
41	1	1	0	1	1	0
42	1	1	0	1	1	0
43	1	1	0	1	0	0
44	1	1	0	1	0	0
45	1	1	0	1	0	0
46	1	1	0	1	0	0
47	1	1	0	1	0	0
48	1	0	1	1	0	1
49	1	0	1	1	0	1
50	1	0	1	1	0	1
51	1	0	1	1	0	1
52	1	0	1	1	0	1
53	1	0	1	1	0	1
54	1	0	1	1	1	1
55	1	0	1	1	1	1
56	1	0	1	0	1	1
57	1	0	1	0	1	1
58	1	0	1	0	1	1
59	1	0	1	0	1	0
60	1	0	1	0	1	0
61	1	0	1	0	1	0
62	1	0	1	0	1	0
63	1	0	1	0	1	0

Tabelle 4.1.: Darstellung des sechsten Bit des Ausdrucks „lut_pos_harmonic“(sin) bzw. „lut_pos_harmonic + IDX_PI_H“(cos)

4.3.2. calc_HD_noise_after

Nach Vollendung eines Abtastintervalls wird die Methode *calc_HD_noise_after* aufgerufen. Sie berechnet zunächst die Gesamtwechseleistung P_{ges} nach Gleichung 2.28. Des Weiteren werden aus den aufsummierten Real- und Imaginärteilen der Harmonischen deren Betragsquadrate berechnet, welche proportional zu deren Leistungen ist. Durch Bit-Schieben wird erreicht, dass die Gesamtwechseleistung und die Betragsquadrate der Harmonischen den gleichen Skalierungsfaktor besitzen, sodass er sich bei der Klirrfaktorberechnung (Siehe Formel 2.19) herauskürzen. Nähere Erläuterungen zu den Schiebefaktoren findet man in der Arbeit von Koch [8]. Für das Betragsquadrat gilt:

$$|X|^2 = \Re^2 + \Im^2 \quad (4.3)$$

Um die Beträge der ersten drei Harmonischen zu bilden wurde ein weiteres Mal eine For-Schleife verwendet, in der jeweils der Real- und Imaginärteil der Harmonischen quadriert und danach summiert wird. Die Ergebnisse werden entsprechend das Arrays *l* gespeichert. Danach kann die Leistung der Oberwellen aus der Gesamtwechseleistung (*l_ges*) abzüglich der Leistung der zweiten Harmonischen (*l[1]*) berechnet werden um schließlich diese durch die Gesamtwechseleistung zu teilen. Das Ergebnis wird der Variablen *factor* übergeben. Genauso wird die Leistung der dritten Harmonischen (*l[2]*) zur Leistung der ersten hinzuaddiert (*l[1]*) und durch die Gesamtwechseleistung geteilt, woraufhin es der Variable *prod* übergeben wird. Zur Berechnung des Klirrfaktors nach Gleichung 3.6 und zur Berechnung des OHD fehlt nun noch jeweils eine Radizierung, dies geschieht mittels einer LUT in der Funktion *decode_LUT*. Quelltext der Funktion *calc_HD_noise_after*:

```

1 void calc_HD_noise_after(void) {
3     THD_calc.x_gl >>= 3;    // 12 +6 Bit - 15 Bit
    THD_calc.l_ges >>= SHIFT_N; //
5
    // Gleichanteil Quadrieren und skalieren
7     // Schiebefaktor = w_Pges / 2 - w_xgl = 15 - 18 = -3

9     THD_calc.x0 = (int16_t) THD_calc.x_gl;
    THD_calc.x0_quad = (int32_t) THD_calc.x0 * THD_calc.x0;
11
    THD_calc.x0_quad >>= SHIFT_N;          // 2 * (SHIFT_N - 3)
13
    THD_calc.l_ges -= THD_calc.x0_quad;
15
    //Leistung der 1. und 2. Harmonischen aus DFT Ergebnis errechnen
17    for(THD_calc.i = 0; THD_calc.i < 3; THD_calc.i++){
        // Realteil auf untere 16 Bit schieben

```

```
19     THD_calc.real[THD_calc.i] = THD_calc.real[THD_calc.i] >>
        SHIFT_QUAD;
    THD_calc.x0 = (int16_t) THD_calc.real[THD_calc.i];
21     // Realteil quadrieren
    THD_calc.real_quad = (int32_t)THD_calc.x0 * THD_calc.x0;
23     // Imaginärteil auf untere 16 Bit schieben
    THD_calc.imag[THD_calc.i] = THD_calc.imag[THD_calc.i] >>
        SHIFT_QUAD;
25     THD_calc.x0 = (int16_t) THD_calc.imag[THD_calc.i];
        // Imaginärteil quadrieren
27     THD_calc.imag_quad = (int32_t)THD_calc.x0 * THD_calc.x0;
    THD_calc.l[THD_calc.i] = THD_calc.real_quad + THD_calc.imag_quad;
29     // entspricht shift_quad
    THD_calc.l[THD_calc.i] = THD_calc.l[THD_calc.i] >> (SHIFT_N +1);
31 }
    //Leistung aller Oberschwingungen errechnen
33 THD_calc.P_ob = THD_calc.l_ges - THD_calc.l[1];

    // Für Klirrfaktor Berechnung
if (THD_calc.P_ob > 0)
37     THD_calc.factor = (((uint64_t)THD_calc.P_ob) << 14) / THD_calc.
        l_ges;
else
39     THD_calc.factor = 0;

    THD_calc.prod = (((uint64_t)THD_calc.l[0] + THD_calc.l[2]) << 14) /
        THD_calc.l_ges;

43     // Zahnfrequenz für die Ausgabe berechnen, da zwei Signalperioden
        gemessen werden
    // wird g_time.tt_avg halbiert
45     g_time.frequenz = (uint16_t)(100000000000 /((uint64_t)(g_time.tt_avg
        >> 1) * TIMER_B_PER_F));
}
```

Divisionsergebnis											Bereich	Intervall	
0	0	0	0	0	0	0	0	0	x	y	z	1	xyz
0	0	0	0	0	0	0	0	1	x	y	z	2	xyz
0	0	0	0	0	0	0	1	x	y	z	-	3	xyz
0	0	0	0	0	1	x	y	z	-	-	-	4	xyz
0	0	0	0	1	x	y	z	-	-	-	-	5	xyz
0	0	0	1	x	y	z	-	-	-	-	-	6	xyz
0	0	1	x	y	z	-	-	-	-	-	-	7	xyz
0	1	x	y	z	-	-	-	-	-	-	-	8	xyz
1	x	y	z	-	-	-	-	-	-	-	-	9	xyz

Tabelle 4.2.: Umcodierung des Divisionsergebnis

4.3.3. decode_LUT

Für die Lösung der Quadratwurzel hat Herr Koch [8] die Kennlinie dieser in neun Bereiche eingeteilt, die wiederum in acht Intervalle eingeteilt wurde. Das Ergebnis der Divisionen, die zur Berechnung von Klirrfaktor und OHD nötig war, wird in dieser Funktion umcodiert. Dabei repräsentiert die Stelle der höchstwertigsten 1 den Bereich, der Wert der drei darauffolgenden Bits repräsentiert das Intervall innerhalb dieser Kennlinie. Dadurch sind die Bereiche logarithmisch eingeteilt, die Intervalle hingegen linear. Zur Erläuterung siehe Tabelle 4.2.

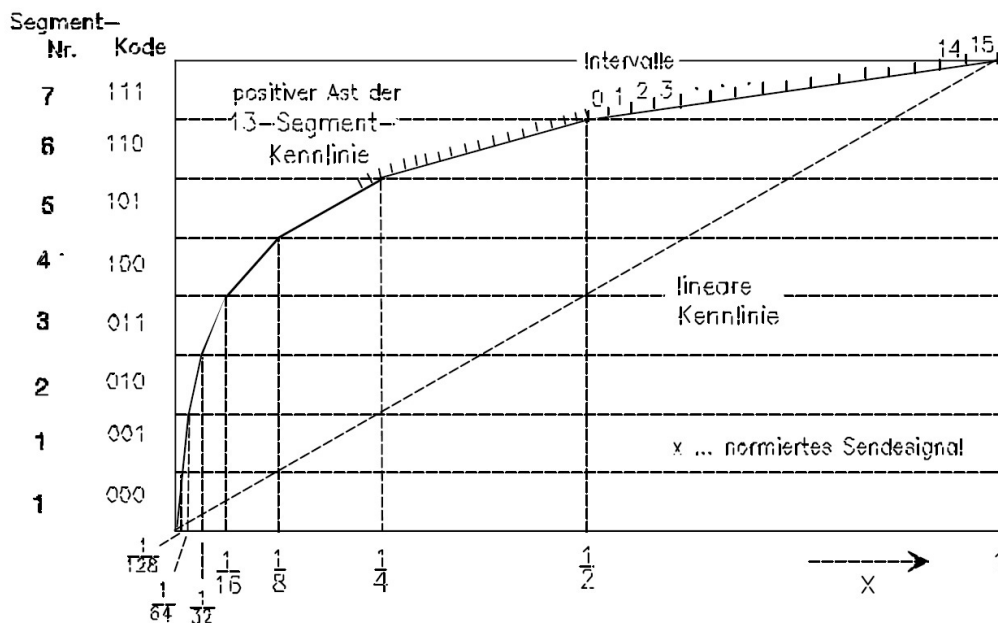


Abbildung 4.4.: Beispiel einer Einteilung der Wurzelkennlinie, entnommen aus [8]

Abbildung 4.4 zeigt beispielhaft eine solche Einteilung mit sieben Bereichen (hier Segmente genannt) und sechzehn Intervallen. Die LUT ist so aufgebaut, dass die Reihen den Bereichen und die Spalten den Intervallen entsprechen.

Diese Reihe und Spalte, die benötigt werden um die Lösung der Quadratwurzel aus dem LUT zu entnehmen, wird in der Funktion *decode_LUT* aus dem Divisionsergebnis ermittelt. Der Lösungsvorschlag für dieses Problem von Koch [8] sah vor, dass das Divisionsergebnis innerhalb einer Schleife mit einer Maske verglichen wird. Diese Maske besitzt eingangs eine 1 an der höchst möglichen Stelle, durch eine Und-Verknüpfung lässt sich feststellen, ob das Divisionsergebnis ebenfalls an dieser Stelle eine 1 besitzt. Ist das nicht der Fall, so wird die 1 in der Maske um eine Stelle nach rechts verschoben. Die Schleife wird solange wiederholt, bis die höchstwertige 1 detektiert wurde. Das Problem dieser Lösung ist, dass unter Umständen viele Schleifendurchläufe benötigt werden, bis das Ergebnis feststeht. Dabei gilt, je kleiner das Divisionsergebnis, also je geringer der Klirrfaktor, umso mehr Schleifendurchläufe werden benötigt.

Aufgrund dessen wurde eine optimierte Lösung implementiert. Die Idee ist hierbei, dass die Divisionsergebnisse in Bereiche eingeteilt werden in denen nach der höchstwertigen 1 gesucht wird. Diese Bereiche werden mit jedem Schleifendurchlauf verkleinert, bis er nur noch aus einer Stelle besteht, an der sich die gesuchte 1 befindet.

Dafür wird eine Variable *mask* benötigt, die zunächst den Wert 128 zugewiesen bekommt. Binär ausgedrückt bedeutet dies, dass sich eine 1 an der achten Stelle befindet. Die Variable *digit* zeigt dies an, indem ihr eine 8 zugewiesen wird. Als nächstes erhält die Variable *digit_interval* den Wert 4. Es gibt innerhalb der Schleife drei Möglichkeiten.

- Das Divisionsergebnis *factor* ist kleiner als der Wert von *mask*. Das bedeutet, dass die höchstwertige 1 von *factor* auf der rechten Seite von der 1 in *mask* liegt. *mask* wird daraufhin um *digit_interval* nach rechts verschoben. *digit* wird der Wert von *digit_interval* abgezogen, um wieder die Stelle der 1 in *mask* richtig anzuzeigen.
- Das Divisionsergebnis *factor* hat seine höchstwertigste 1 an der gleichen Stelle wie die Variable *mask*. Dies wird erkannt indem überprüft wird, ob *factor* kleiner ist als *mask* um eine Stelle nach links verschoben. Ist der Wert in *factor* größer ist als der Wert in *mask*, aber kleiner ist als *mask* um eine Stelle nach links verschoben, kann sich die höchstwertige 1 in beiden Variablen nur an der gleichen Stelle befinden. Die 1 wurde also gefunden, die Reihe (Variable *row*) der LUT entspricht der Variable *digit* abzüglich 3 (Siehe hierfür Tabelle 4.2). Der Wert der drei darauffolgenden Bits, die die Spalte (Variable *col*) der LUT repräsentieren wird durch Und-Verknüpfung von *factor* mit dem der Bitinvertierung von *mask* sowie dem Schieben um den zuvor ermittelten Wert $row - 1$ ermittelt. Eine Ausnahme bildet der Fall, in dem für *row* ein Wert von 0 ermittelt wurde. Dann entspricht die *col* dem Wert von *factor*. In jedem Fall sind nun

Reihe und Spalte der LUT gefunden und weitere Schleifendurchläufe werden durch ein *break* verhindert.

- Das Divisionsergebnis *factor* ist größer als der Wert von *mask*. Analog zu dem oben beschriebenen Fall, liegt nun die gesuchte 1 in *factor* auf der linken Seite der 1 in *mask*. *mask* wird also noch links verschoben um *digit_interval* und *digit* wird durch Abzug von *digit_interval* auf den neuen Stand gebracht.

Am Ende eines jeden Schleifendurchlaufs wird *digit_interval* um ein Bit nach rechts verschoben. Damit wird mit jedem Schleifendurchlauf das Intervall kleiner in dem sich die gesuchte 1 befinden kann. Dieses Verfahren stellt sicher, dass die gesuchte 1 in *mask* innerhalb von maximal vier Schleifendurchläufen gefunden wird. Ist allerdings die ermittelte Bereich größer als die Reihen der LUT, so bedeutet dies, dass das Ergebnis der Radizierung größer ist, als der maximale Wert, der in der LUT vorhanden ist. In diesem Fall wird als Ergebniss der Maximalwert der LUT entnommen. Der Quelltext:

```
void decode_LUT(void){
2   int col;
   int row;
4   int i;
   int digit;
6   int digit_interval;
   uint32_t mask;
8
   for( i = 0; i<2;i++){
10
       mask= 0x80;
12       //Zeigt Stelle an der sich die 1 in mask befindet
       digit = 8;
14       //Bestimmt, um wieviel Bits die 1 in mask verschoben wird
       digit_interval = 4;
16       if (THD_calc.factor > 3){
           do{
18               //Ist Factor kleiner als Mask?
               if (THD_calc.factor < mask){
20                   // Die 1 in mask wird nach rechts geschoben
                   // da sich die höchstwertige "1" im rechten
                   Abschnitt befindet
22                   mask >>= digit_interval;
                   //digit wird entsprechend angepasst
24                   digit -= digit_interval;
               }
26               //Ist die höchstwertige "1" an der gleichen Stelle wie in
                   mask?
```

```
28     else if (THD_calc.factor < (mask << 1))
30     {
32         //Reihe im LUT entspricht der Stelle der
           //höchstwertigen "1" - 3
34         row = digit - 3;
           //Spalte entspricht den 3 Bits, die der
           //höchstwertigen "1" folgen
36         col = (THD_calc.factor & ~mask) >> (row-1);
           //Ausnahme stellt Reihe "0" dar
38         col = THD_calc.factor;
           break;
           }
40     else{
           //factor ist größer als mask, deswegen muss links von
           //der "1" in mask
           //nach der "1" in factor gesucht werden, dazu wird
           //die "1" in mask
42           //nach links verschoben
           mask <<= digit_interval;
44           //digit wird entsprechen angepasst
           digit += digit_interval;
46       }
           //Suchintervall wird mit jedem Schleifendurchlauf kleiner
48       digit_interval >>= 1;
50   }while(1);
           //Falls das Ergebnis der Radizierung größer ist, als die LUT
           //darstellen kann
           //Wird der maximale Wert aus der LUT entnommen
52   if (row > MAX_ZEILE || col > MAX_SPALTE){
           row = MAX_ZEILE;
54   col = MAX_SPALTE;
           }
56   // Ergebnis der Radizierung wird aus der LUT entnommen
58   if (i == 0)
           g_calc.hd = sqrt_LUT[row][col];
           else
60   g_calc.ohd = sqrt_LUT[row][col];
           }
62   else{
           if (i == 0)
64   g_calc.hd = 0;
           else
```

```
66         g_calc.ohd = 0;
68     }
69     THD_calc.factor = THD_calc.prod;
70 }
```

4.4. DSC

Beim DSC handelt es sich um einen Zähler (*discard_counter*), der beim Verwerfen eines Abtastwertes hochgezählt wird und nach Abschluss der Verarbeitung eines Abtastintervalls zurückgesetzt wird.

5. Funktionsnachweise

5.1. Abtastung

Für den Funktionsnachweis der Abtastung wurde ein sinusförmiges Signal bei unterschiedlichen Frequenzen mit Hilfe des *Tektronix AFG3022B* Funktionsgenerators eingespeist. Abbildung 5.1 zeigt beispielhaft einen Sinus mit einer Frequenz von 100Hz. Die 64 Abtastwerte umfassen zwei Perioden des eingespeisten Sinussignals. Im Anhang A.1.1 befinden sich Abbildungen die die Abtastfolge des Sinussignals bei den Frequenzen 10, 250, 750, 1500 und 2500 Hz zeigen.

Des Weiteren werden Sensorsignale mit Frequenzverdopplung bei unterschiedlichen Frequenzen eingespeist um zu verifizieren, dass der in Abschnitt 4.1 erläuterte und in Bild 4.1 dargestellte Effekt, bei dem die Abtastwerte in einer falschen Reihenfolge genommen werden, nicht auftritt. Auch hier ist beispielhaft die Abtastfolge des Signals bei 100Hz abgebildet (Abbildung 5.2). Da dieser Effekt abhängig von der Dauer der Sampleverarbeitung und der Frequenz des Signals ist, befinden sich dazu im Anhang ebenfalls die Abtastfolgen bei den Frequenzen 10, 250, 750, 1500 und 2500 Hz A.1.1.

Die unterschiedlichen Phasen der Abtastfolgen bei verschiedenen Frequenzen rührt laut Herrn Jegenhorst daher, dass die Nulldurchgangserkennung konstant ca. $50\mu s$ benötigt, näheres dazu in [6] nachlesbar. Die Phasenverschiebung hat aber keinerlei Auswirkungen auf das Ergebnis der Verfahren HD5 und HDI.

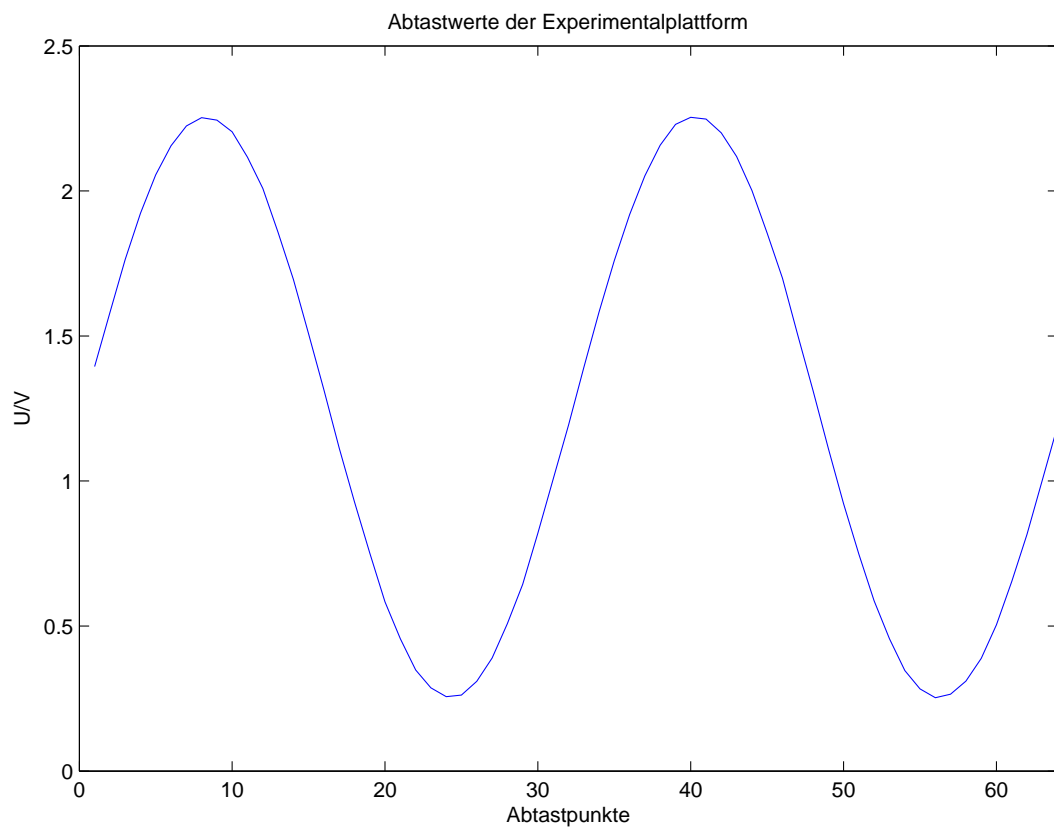


Abbildung 5.1.: Abgetastetes Sinus-Signal bei 100Hz

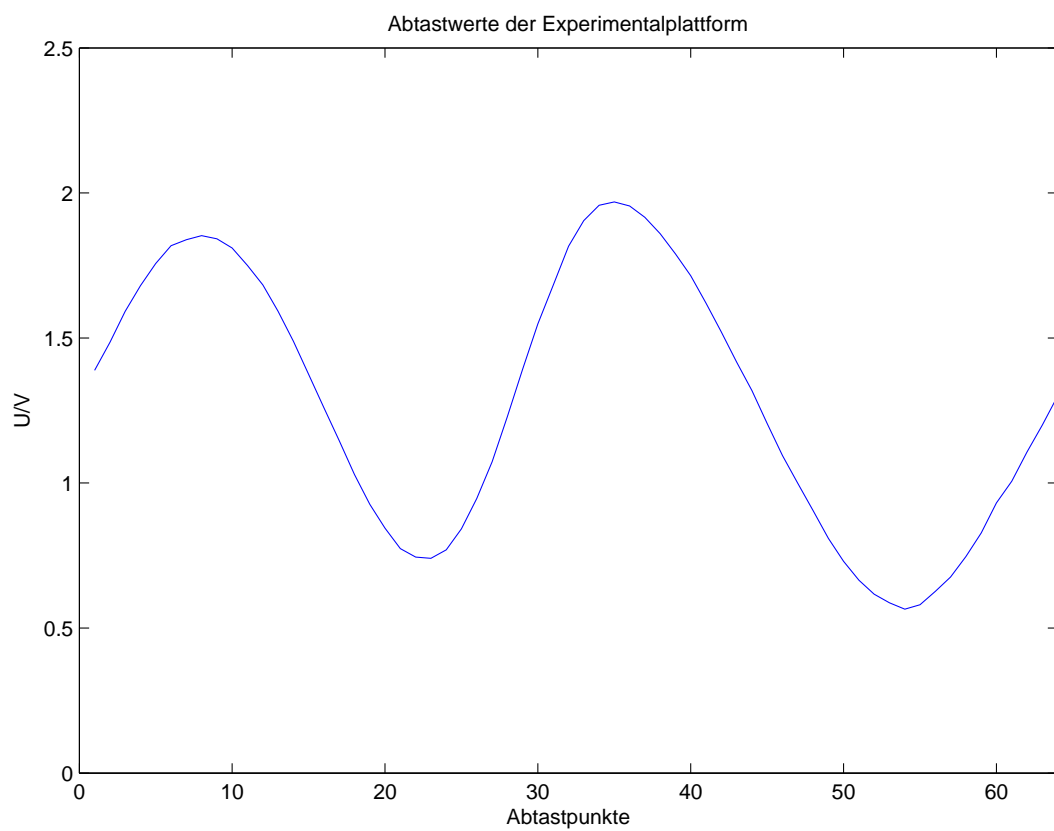


Abbildung 5.2.: Abgetastetes Sensorsignal mit Frequenzverdopplung bei 100Hz

Methode	Einzelampelverarbeitung	Schlussberechnung
HD5	1160 μ s	3967 μ s
HDI	351 μ s	2700 μ s

Tabelle 5.1.: Laufzeitmessungen

5.2. Sensordiagnosedunktionen

5.2.1. Laufzeiten von HD5 und HDI

Ein Vorteil der HDI-Methode stellt die Schnelligkeit des Algorithmus dar. Wie in Abschnitt 4.3 besprochen, werden nur die ersten drei Harmonischen sowie die Gesamtwechselleistung des Signals berechnet. Im Gegensatz dazu berechnet die HD5-Methode insgesamt zehn Harmonische, das stellt einen höheren Rechenaufwand dar, der sich auf die Laufzeit der Berechnungen auswirkt. Messungen haben ergeben, dass die HDI-Methode für die Verarbeitung jedes einzelnen Abtastwertes lediglich 30% der Zeit, die die HD5-Methode benötigt. Für die letztendliche Berechnung von Klirrfaktor und OHD sind es 68% (Siehe Tabelle 5.1). Die Oszilloskopbilder der Messung befinden sich im Anhang A.1.2.

Signalform	Klirrfaktor in %			
	HD5	HDI	Theorie	
			HD5	HDI
Sinus	0	0	0	0
Dreieck	11...12	11...13	11,72	12,03
Rechteck	36	35	36,23	43,52
Arb1	32	32	32,46	32,48
Arb2	6	35	94,96	94,97

Tabelle 5.2.: Gegenüberstellung der Ergebnisse der Klirrfaktor- und OHD-Berechnung, siehe für Signalform Arb1 Abbildung 5.3 und für Arb2 Abbildung 5.4

5.2.2. Klirrfaktor

Um zu überprüfen, ob die implementierten Methoden zur Klirrfaktorberechnung korrekte Ergebnisse liefern, wurden anstatt des Sensorsignals einige markante Signale mit Hilfe des Funktionsgenerators in die Experimentalplattform eingespeist.

In der Tabelle 5.2 sind die Ergebnisse der beiden Methoden zur Klirrfaktorberechnung dem theoretischen Klirrfaktor gegenübergestellt. Dass es für den HD5 und den HDI unterschiedliche theoretische Ergebnisse gibt, ist damit zu begründen, dass die HD5-Methode nur fünf Harmonische der Zahnfrequenz, der HDI dagegen mittels der Gesamtwechsellistung sämtliche Harmonischen mit einbezieht. Außerdem ist zu beachten, dass die HDI-Methode maximal einen Klirrfaktor von 35 berechnet, auch bei Signalen, die eigentlich einen größeren Klirrfaktor besitzen. Der Grund dafür ist, dass die LUT keine größeren Werte beinhaltet.

Auffällig ist der Unterschied zwischen HD5 und HDI-Methode bei Arbiträr Signal 2. Dieses Signal stellt das Sensorsignal über eine Encoderradinkrementierung dar, bei Auftreten der Frequenzverdopplung. Die Gründe für diese unterschiedlichen Ergebnisse wurden in Abschnitt 3.2.3 besprochen.

Um eine Frequenzabhängigkeit der Ergebnisse der Klirrfaktorberechnung zu überprüfen wurde ein Dreiecksignal eingespeist, dessen Frequenz in 10Hz-Schritten von 10Hz bis 2,5KHz erhöht wurde. Diese Messreihe wurde sowohl für die HDI als auch die HD5-Methode durchgeführt und ist in Abbildung 5.5 abgebildet. Es ist zu erkennen, dass der Klirrfaktor, ermittelt durch die HD5-Methode, frequenzunabhängig zwischen 11 und 12% schwankt. Die HDI-Methode berechnet als Klirrfaktor einen Wert zwischen 11 und 13%, schwankt aber weitaus weniger als es der Klirrfaktor ermittelt durch das HD5-Verfahren tut und verweilt meist bei einem Wert von 12%.

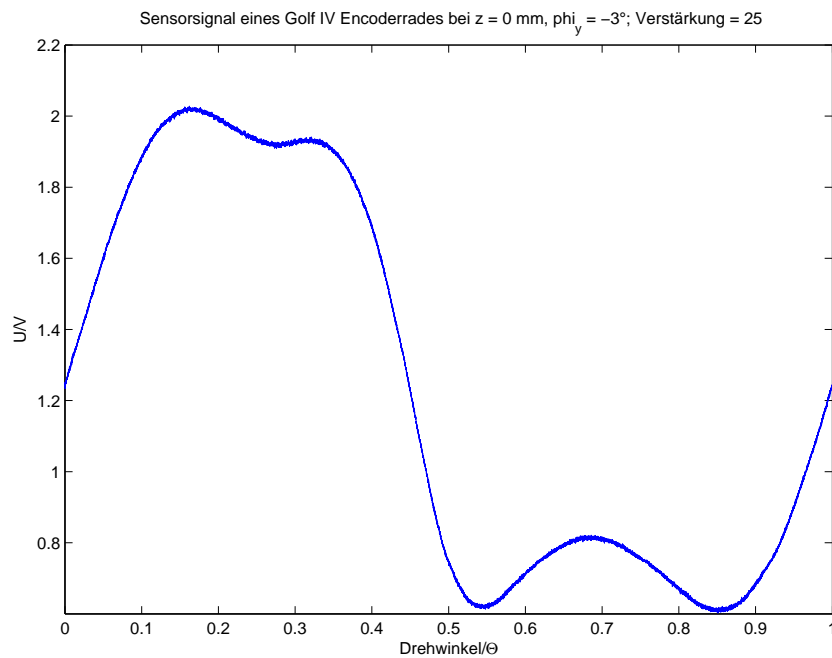


Abbildung 5.3.: Arb1: Periode eines Sensorsignals mit einem Klirrfaktor von 32,5%, reproduziert mit Hilfe eines Funktionsgenerator s

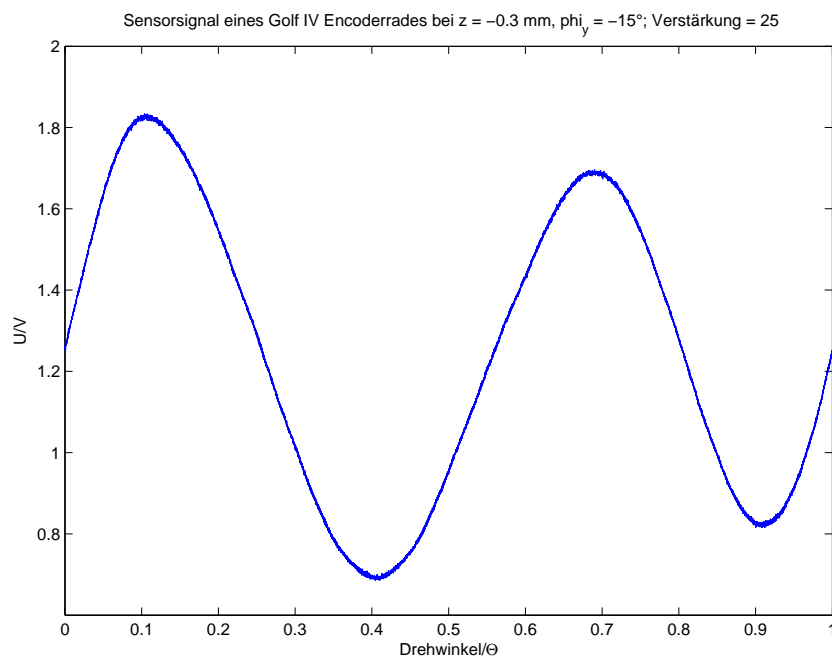


Abbildung 5.4.: Arb2: Periode eines Sensorsignals mit einem Klirrfaktor von 95%, reproduziert mit Hilfe eines Funktionsgenerator s

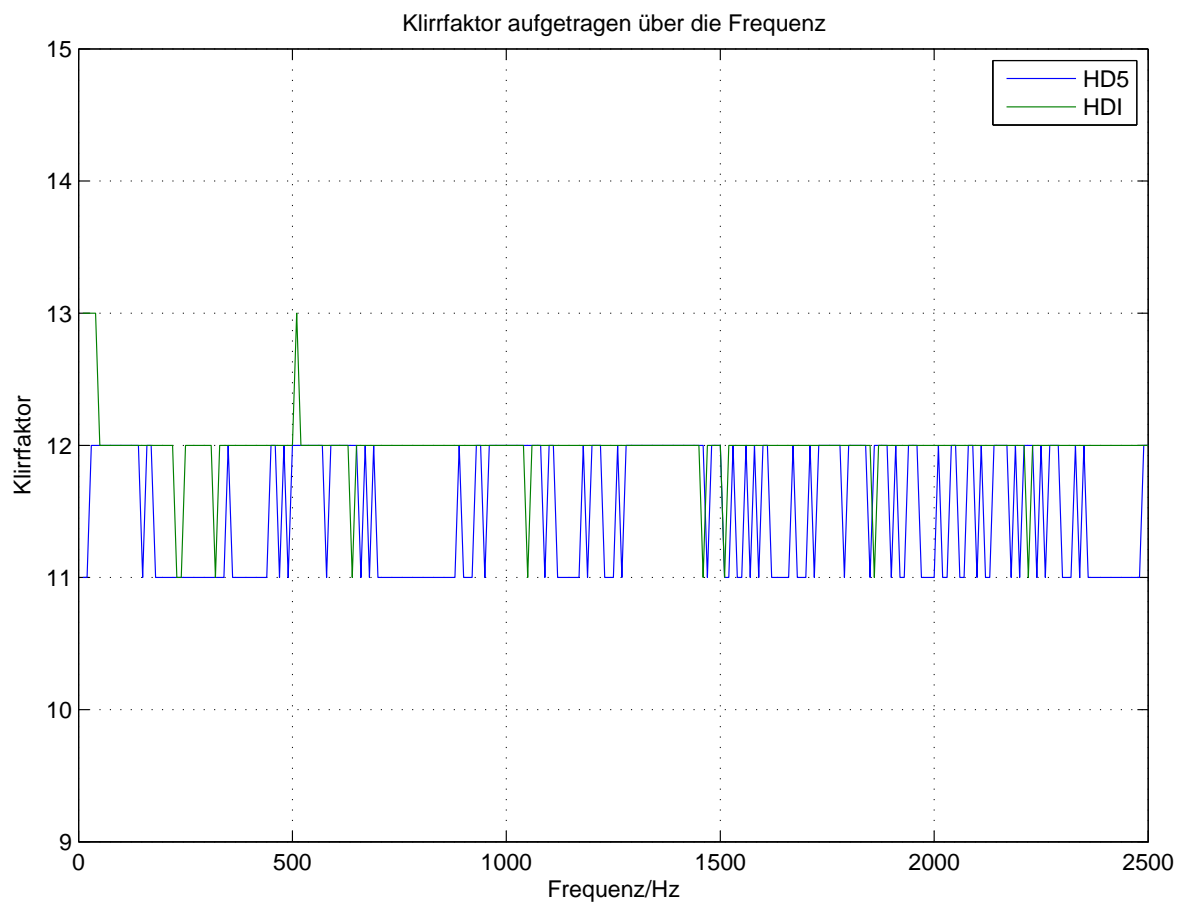


Abbildung 5.5.: Klirrfaktor eines dreieckförmigen Signals ermittelt mit HD5 und HDI

5.3. Frequenzverdopplungserkennung - OHD

Um die Frequenzverdopplungserkennung auf ihre Funktion zu testen, wurden Messungen mit dem RMP3 mit original Encoderrädern aus der Automobilindustrie vorgenommen [5]. Durch Tests ist bekannt, dass die Frequenzverdopplung bei passiven Encoderrädern, bei einer Verkippung der ϕ_y -Achse des Sensors bei einer nahen Positionierung vor dem Encoderrad in z-Richtung auftritt. Zur Verdeutlichung dieser Positionierung des Sensors ist diese in Abbildung 5.6 skizziert. Für die im Folgenden beispielhaft dargestellten Messungen wurde ein Golf IV - Encoderrad bei einer Zahnfrequenz von 1512 Hz verwendet. Die Messergebnisse werden in einer besonderen Darstellungsweise visualisiert (Siehe Abbildung 5.7). Jedes Feld stellt einen Messpunkt dar. Dabei ist die Entfernung auf einer Linearachse vor dem Sensor auf der Ordinate aufgetragen, der Winkel der Verkippung auf einer Verkippungsachse ist aufgetragen auf der Abszisse. An der Spitze der Grafik befindet sich ein gedachtes Encoderrad. In die Felder ist ein Messwert, in diesem Fall der OHD, farblich hineincodiert. Die weiß angekreuzten Bereiche stellen die Messpunkte dar, an denen die Experimentalplattform eine erhöhte Abweichung der Zahnfrequenz von mehr als 6% des Medians der Zahnfrequenz aller Messpunkte der Messreihe gemessen hat. Die Felder die weiß dargestellt sind, sind Messpositionen, die aufgrund der Geometrie von Encoderrad und AMR-Sensor nicht anfahrbar sind, da es sonst zur Kollision kommen würde.

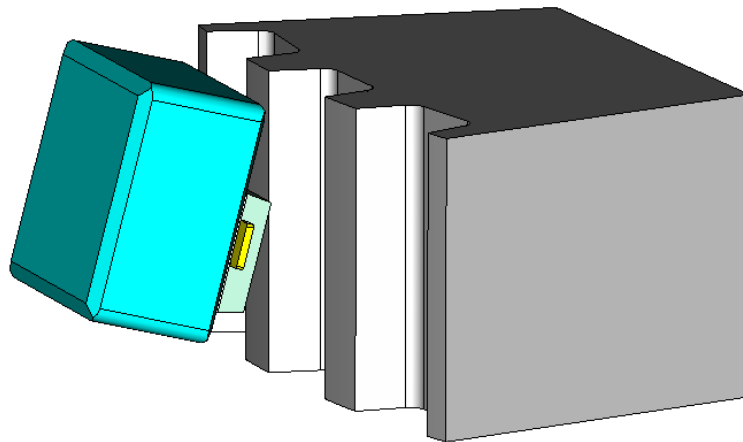


Abbildung 5.6.: Sensor über die ϕ_y -Achse verkippt

5.3.1. OHD ermittelt durch das HD5-Verfahren

Die Abbildung 5.7 ist zu erkennen, dass die Messpunkte an denen eine erhöhte Zahnfrequenz ermittelt wurde sich klar abheben von den übrigen. Eine Ausnahme bildet ein Messpunkt der hier hellblau eingefärbt ist bei einem Abstand von 0,1mm vor dem Encoderrad, sowie ein in dunklerem Blau eingefärbter Messpunkt bei 0,4mm Abstand. Dies sind Bereiche in denen es zu dem in Abschnitt 2.4 beschriebenen Problem kommt, dass das Sensorsignal zum Teil während einer Encoderradumdrehung zusätzliche Nulldurchgänge besitzt, in anderen aber nicht. Diese Bereiche lassen sich offensichtlich mit dieser Methode nicht zuverlässig bestimmen.

Die gleiche Messreihe ist nochmal in Abbildung 5.8 dargestellt, allerdings über einer größeren Distanz. Ab circa 3mm Distanz beginnt sich der OHD aufgrund von in Abschnitt 2.4 beschriebenen Effekten langsam zu erhöhen. Bei einer Entfernung des Sensors von 4,5 bis 5mm ist der OHD so stark erhöht, dass dieser ungefähr ein ähnliches Level erreicht wie an den Messpunkten im Nahbereich, an denen eine erhöhte Zahnfrequenz gemessen wurde.

5.3.2. OHD ermittelt durch das HDI-Verfahren

Für diesen Funktionsnachweis wurde der OHD anhand der von der Experimentalplattform aufgenommenen Abtastwerte in Matlab berechnet. Dazu wurden die gleichen Rechenschritte ausgeführt, wie auch auf der Experimentalplattform, allerdings wurde auf die Radizierung mittels LUT verzichtet. Der Quelltext dieser Matlab-Funktion befindet sich im Anhang A.2.1. Der Grund für dieses Vorgehen ist, dass eine Messreihe mit dem RMP3 bei sovielen Messpunkten über 30 Stunden dauern kann. Bei den Messreihen wurde bis jetzt immer das HD5-Verfahren genutzt. Da die Verfahren sich nur durch die unterschiedliche Auswertung der Abtastwerte unterscheiden, ist der Aufwand die gleichen Messreihen mehrfach abzufahren nicht gerechtfertigt gewesen.

Bei Anwendung des HDI-Verfahren, erhält man ein ähnliches Ergebnis für den OHD wie durch das HD5-Verfahren. Allerdings fällt bei Vergleich von Abbildung 5.9 und 5.7 auf, dass die Ergebnisse, ermittelt durch die HDI-Methode etwas geringer ausfallen. Dies entspricht der in Abschnitt 3.2.4 formulierten Erwartung. Dennoch ist der Bereich der Messpunkte mit erhöhter ermittelter Zahnfrequenz klar von den dem restlichen Bereich unterscheidbar. Ausgenommen sind die schon unter Abschnitt 5.3.1 besprochenen Ausnahmen. Bei größerer Entfernung fällt der OHD ermittelt durch die HDI-Methode ebenfalls geringer aus wie der Vergleich von Abbildung 5.10 und 5.8 zeigt.

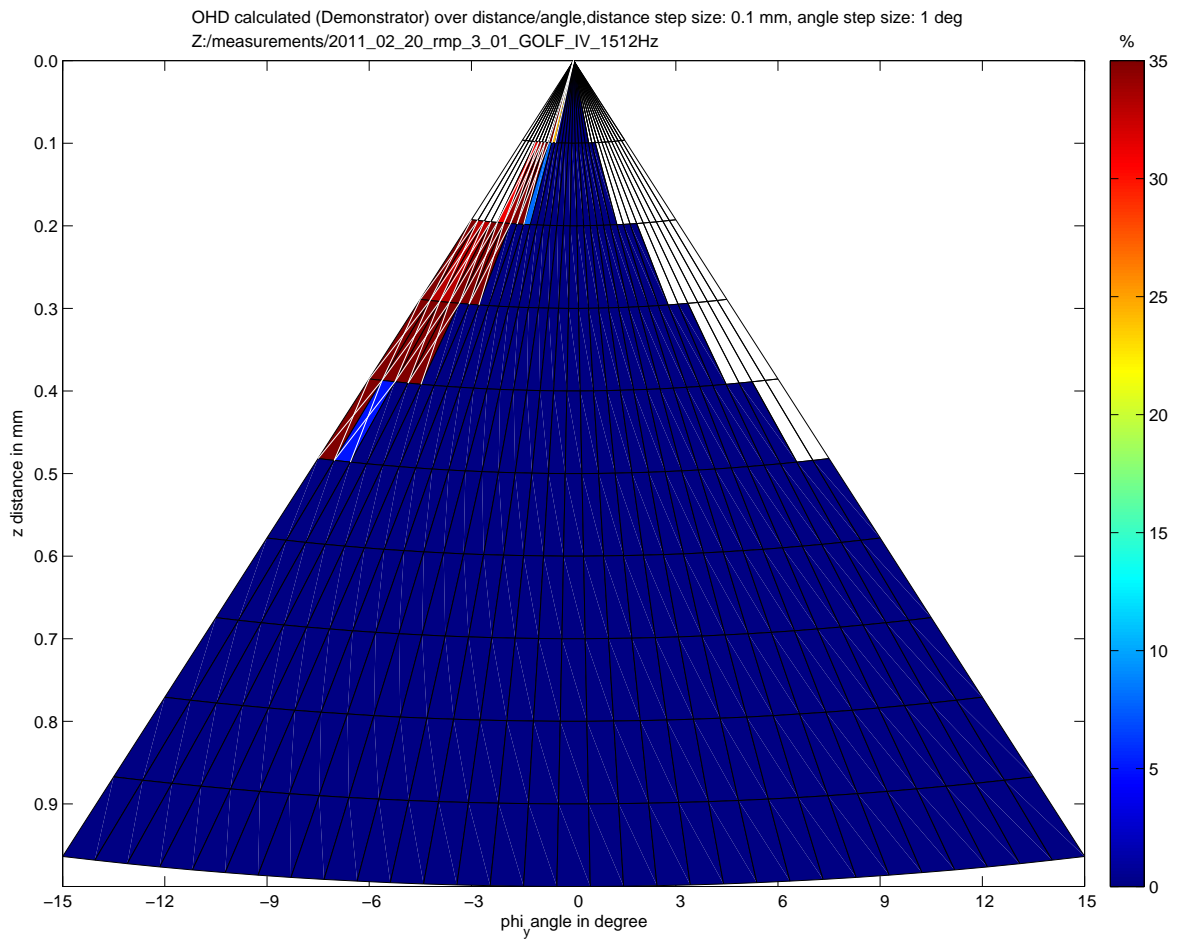


Abbildung 5.7.: OHD ermittelt mit dem HD5-Verfahren, bei Verschiebung auf der z-Achse und Verkippung über die der ϕ_y -Achse des Sensors

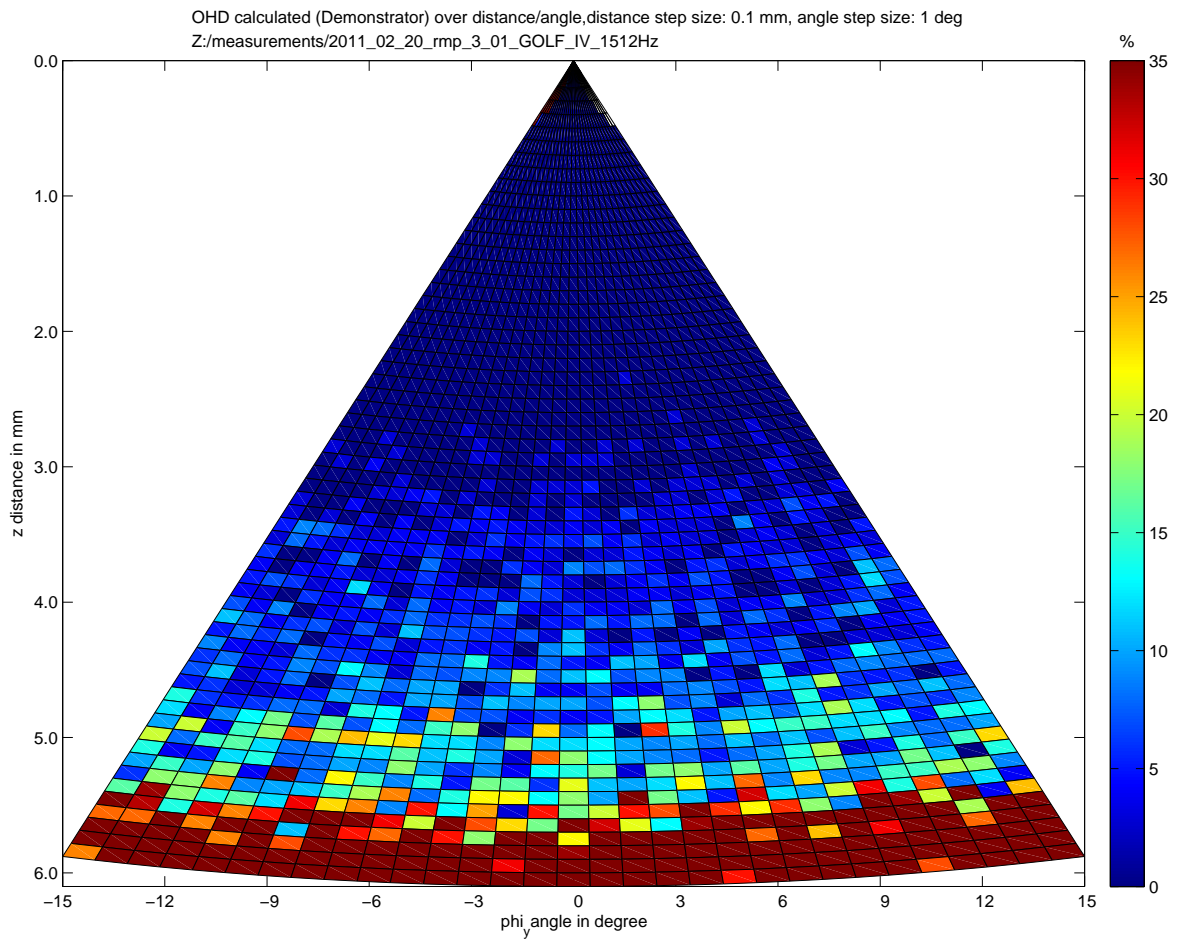


Abbildung 5.8.: OHD ermittelt mit dem HD5-Verfahren, bei Verschiebung auf der z-Achse und Verkippung der ϕ_y -Achse des Sensors

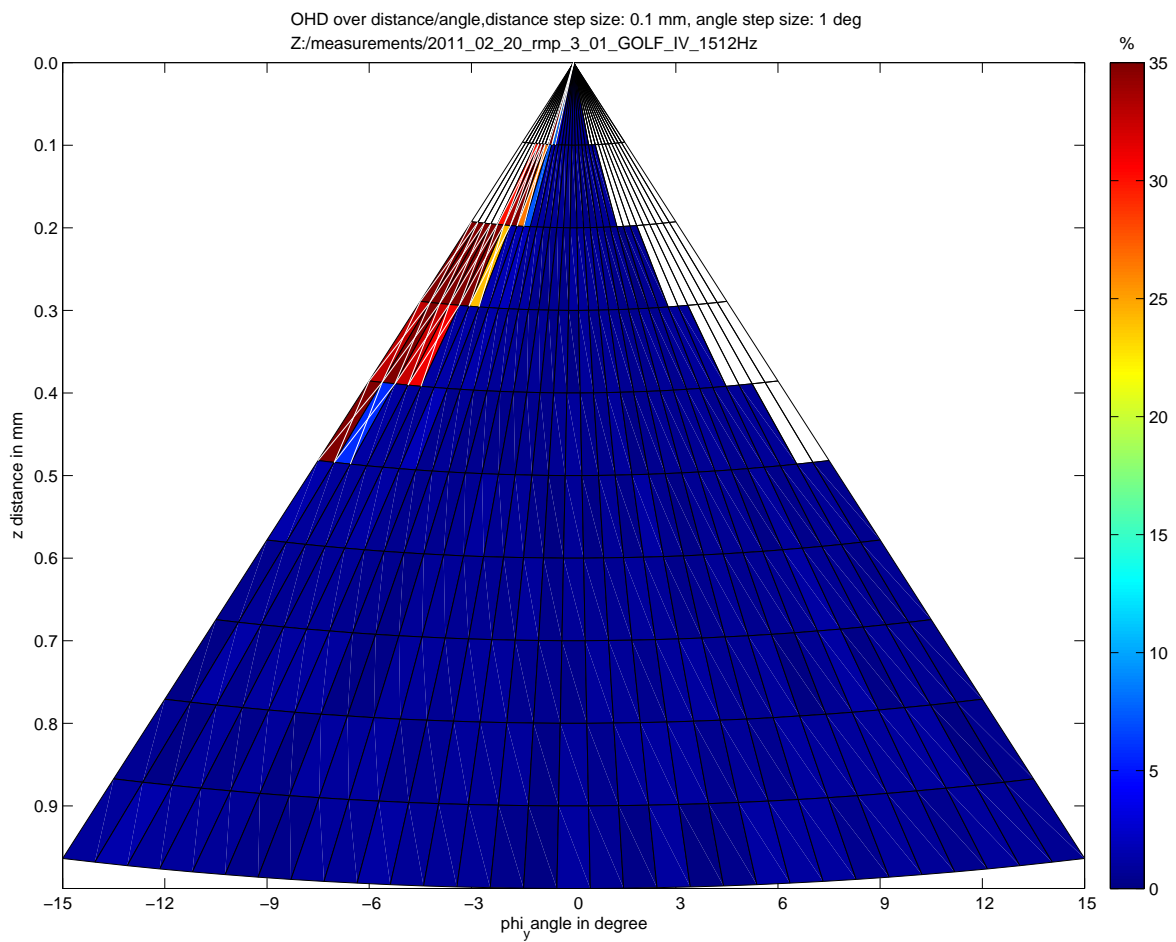


Abbildung 5.9.: OHD ermittelt mit dem HDI-Verfahren, bei Verschiebung auf der z-Achse und Verkippung der ϕ_y -Achse des Sensors

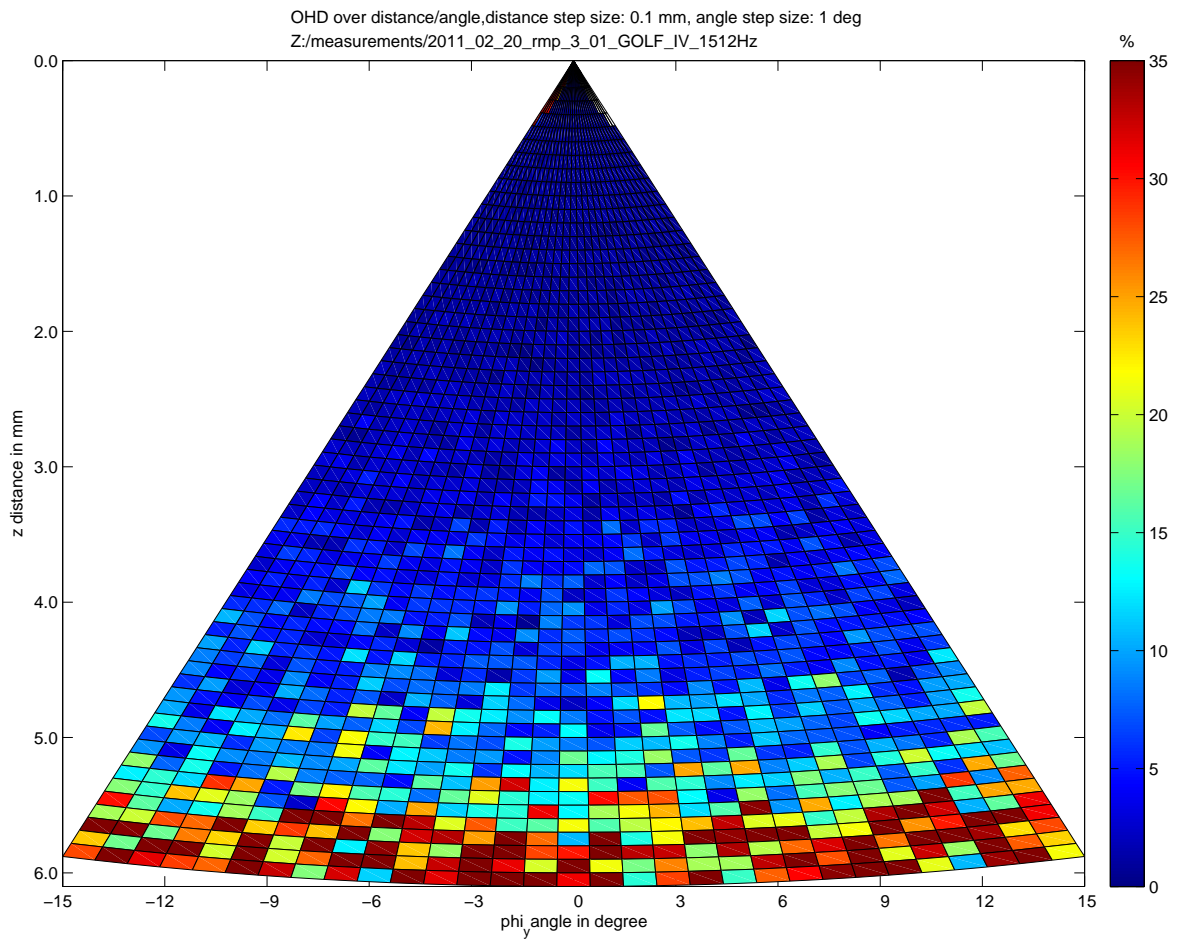


Abbildung 5.10.: OHD ermittelt mit dem HDI-Verfahren, bei Verschiebung auf der z-Achse und Verkippung der ϕ_y -Achse des Sensors

5.4. DSC

Die Folgende Messung ist durchgeführt worden, indem Sensorhalbbrückensignale, die bei einer Messreihe mit dem digitalen Speicheroszilloskop *Tektronix MSO 3034* aufgenommen wurden, mit dem Funktionsgenerator reproduziert wurden und auf die Experimentalplattform gegeben wurde. Das Messskript befindet sich im Anhang A.2.1.

In Abbildung 5.11 ist zunächst der OHD farblich codiert zu sehen. Auch in dieser Messreihe gibt es wieder im Grenzbereich zwischen Frequenzverdopplung und Normalfall einen Messpunkt, an dem eine erhöhte Frequenz gemessen wurde ohne dass der OHD erhöht ist.

Abbildung 5.12 zeigt, dass der DSC diesen Bereich sicher identifizieren kann.

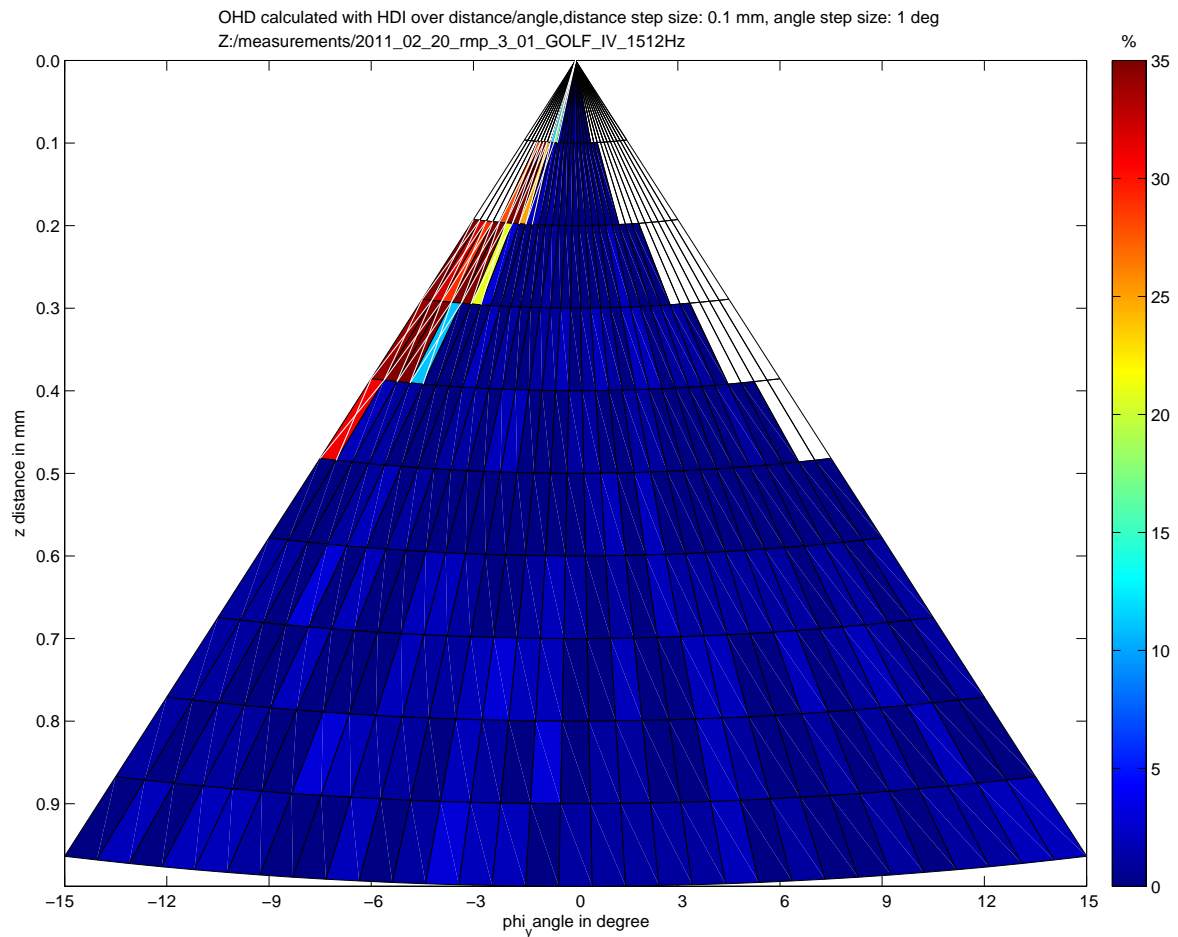


Abbildung 5.11.: OHD ermittelt mit dem HDI-Verfahren, bei Verschiebung auf der z-Achse und Verkipfung der ϕ_y -Achse des Sensors

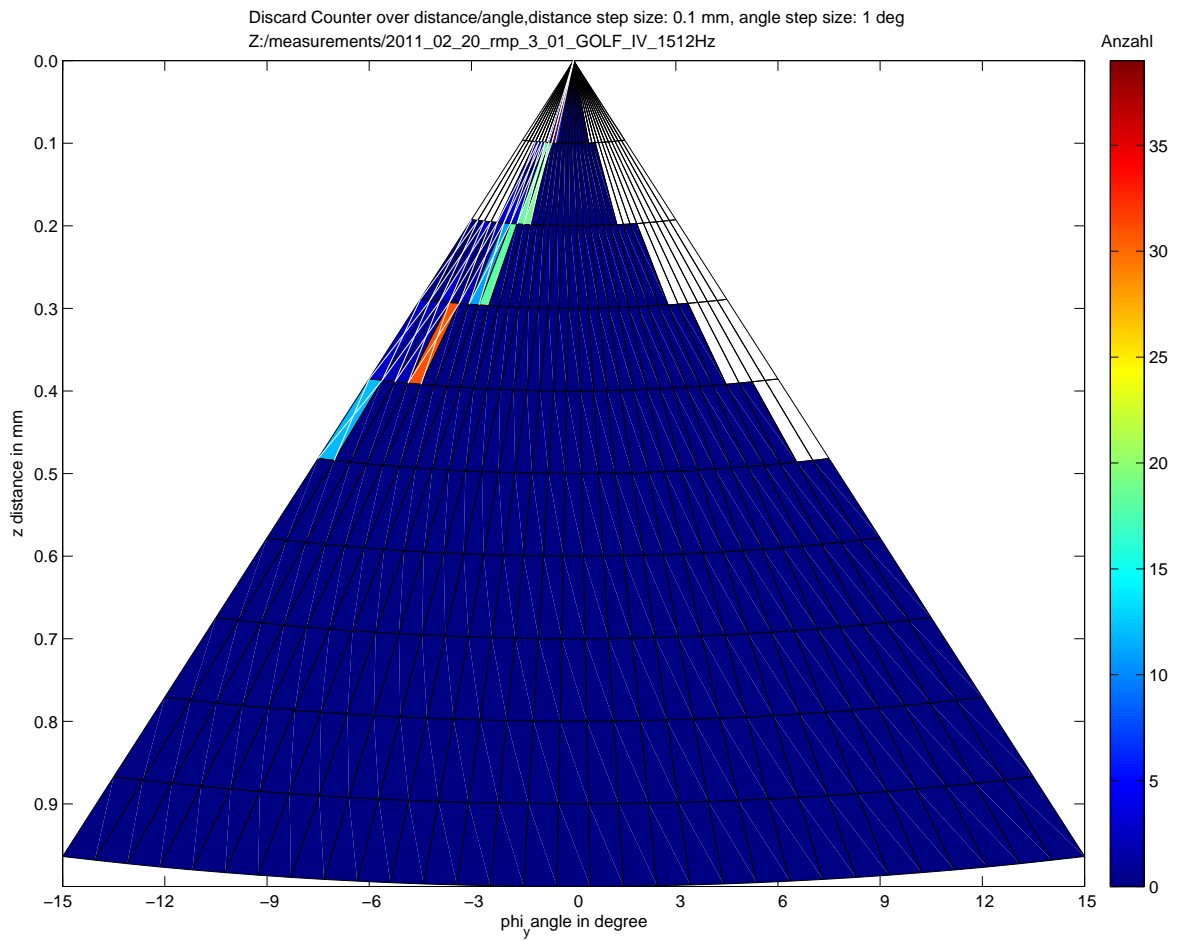


Abbildung 5.12.: DSC, bei Verschiebung auf der z-Achse und Verkippung der ϕ_y -Achse des Sensors

6. Messergebnisse

Die hier dargestellten Messergebnisse beschränken sich ausschließlich auf Messreihen, in denen eine Frequenzverdopplung vorkommt. Im Rahmen des Forschungsprojektes ESZ-ABS wurde dies in zwei Fällen beobachtet. Die folgenden Positionierungsangaben wurden in Abschnitt 2.2.2 erläutert.

- Verkippung des Sensors in negativer Richtung von ϕ_y um mehr als 8° bei einer Positionierung unter 0.5mm in z-Richtung vor dem Encoderrad, bei der Vermessung des passiven Encoderrad des Golf IV. Die Positionierung ist in Abbildung 5.6 skizziert.
- Verfahren der x-Achse in Negativrichtung bei unmittelbarer Positionierung in z-Richtung vor dem Encoderrad. Dies gilt für das passive Encoderrad des Golf IV als auch für das aktive Encoderrad des Golf V. Beispielhaft ist diese Positionierung in Abbildung 6.1 vor einem passiven Encoderrad skizziert.

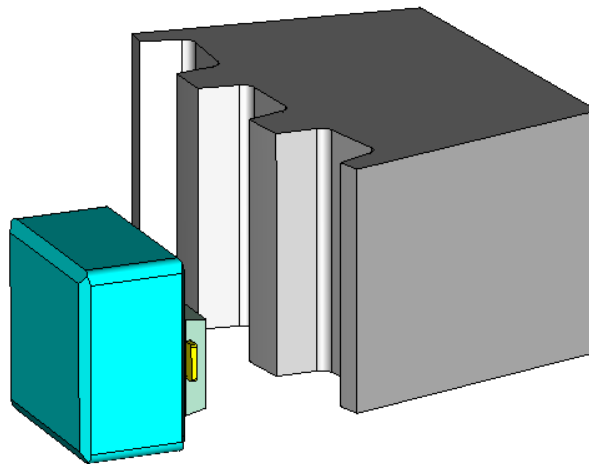


Abbildung 6.1.: Sensor verschoben auf der x-Achse

6.1. Passives Encoderrad

6.1.1. Golf IV - Encoderrad - Verfahren der z-Achse und Verkippung von ϕ_y

Im Folgenden sind Messergebnisse gelistet, die bei einer Messung an einem Golf IV Encoderrad bei einer konstanten Zahnfrequenz von 1512Hz durchgeführt wurden. Dabei entfernte sich der Sensor sukzessive von 0 bis 6mm in z-Richtung und wurde von -15° bis 15° um die y-Achse verkippt. Die Darstellungsweise wurde in Abschnitt 5.3 erläutert.

Klirrfaktor

In diesem Abschnitt werden die Ergebnisse der unterschiedlichen Methoden zur Ermittlung des Klirrfaktor gegenübergestellt. In Abbildung 6.2 ist zunächst der Klirrfaktor dargestellt, der aus Sensorsignalen gewonnen wurde, die mit einem Speicheroszilloskop aufgenommen wurden über mindestens eine Encoderradumdrehung pro Messpunkt. Die dafür verwendeten Matlab-Skripte sind im Anhang A.2.1 und A.2.1 einsehbar.

Die Klirrfaktoren, ermittelt aus den mit einem Speicheroszilloskop aufgenommenen Sensorbrückensignalen, dargestellt in Abbildung 6.2, zeigen deutlich, dass die harmonischen Verzerrung nur bei sehr naher Positionierung des Sensors vor dem Encoderrad auftreten. In Abbildung 6.12 ist zu erkennen, dass das der Bereich ist, in dem die Spitze-Spitze-Spannung des Sensorbrückensignals am größten ist.

Auffällig ist, dass bei großer Entfernung die durch die HD5- und HDI-Methode ermittelten Klirrfaktoren bei großer Entfernung stark erhöht sind (Siehe Abbildungen 6.4 und 6.6). Dies steht im Gegensatz zu dem was auf Grundlage der Oszilloskopdaten berechnet wurde. Eine Erklärung für diesen Effekt wurde 2.4 gegeben. Dieses Verhalten ist aber durchaus gewollt, da eine solche Entfernung des ABS-Sensors vom Encoderrad ein Störfall darstellt, der detektiert werden sollte.

Des Weiteren fallen die durch die HDI-Methode ermittelten Klirrfaktoren, wie schon in der theoretischen Betrachtung in Abschnitt 3.2.2 erwartet und in Abschnitt 3.2.3 nochmals näher erläutert, grundsätzlich höher aus im Vergleich zu denen der HD5-Methode (siehe Abbildungen 6.4 und 6.6). Es konnte auch bestätigt werden, dass der Klirrfaktor, ermittelt durch die HDI-Methode, groß ist im Bereich der Frequenzverdopplung (siehe Abbildung 6.7).

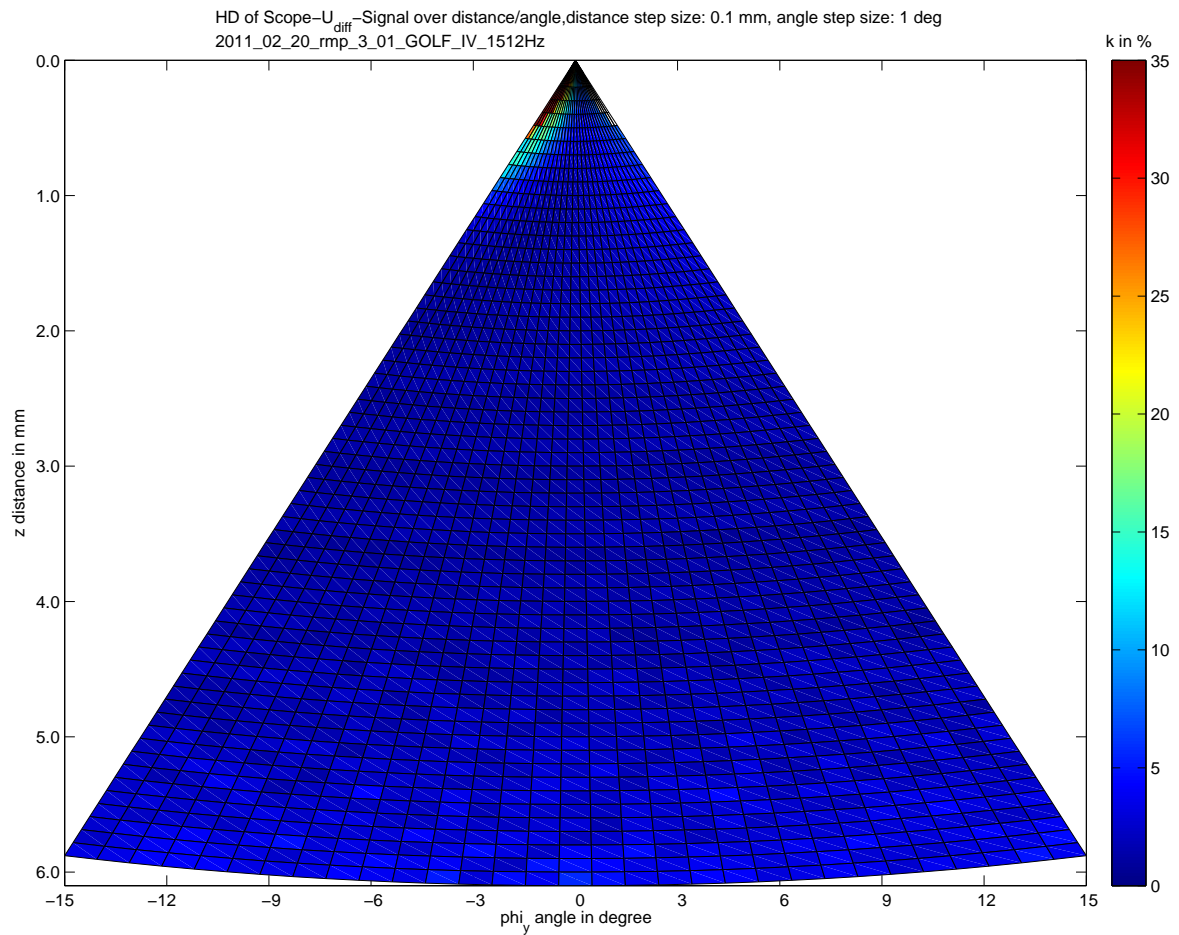


Abbildung 6.2.: Klirrfaktor ermittelt aus dem Sensordifferenzsignal, aufgenommen mit einem Speicheroszilloskop, bei Verfahren der z-Achse und Verkippung über die y-Achse des Sensors

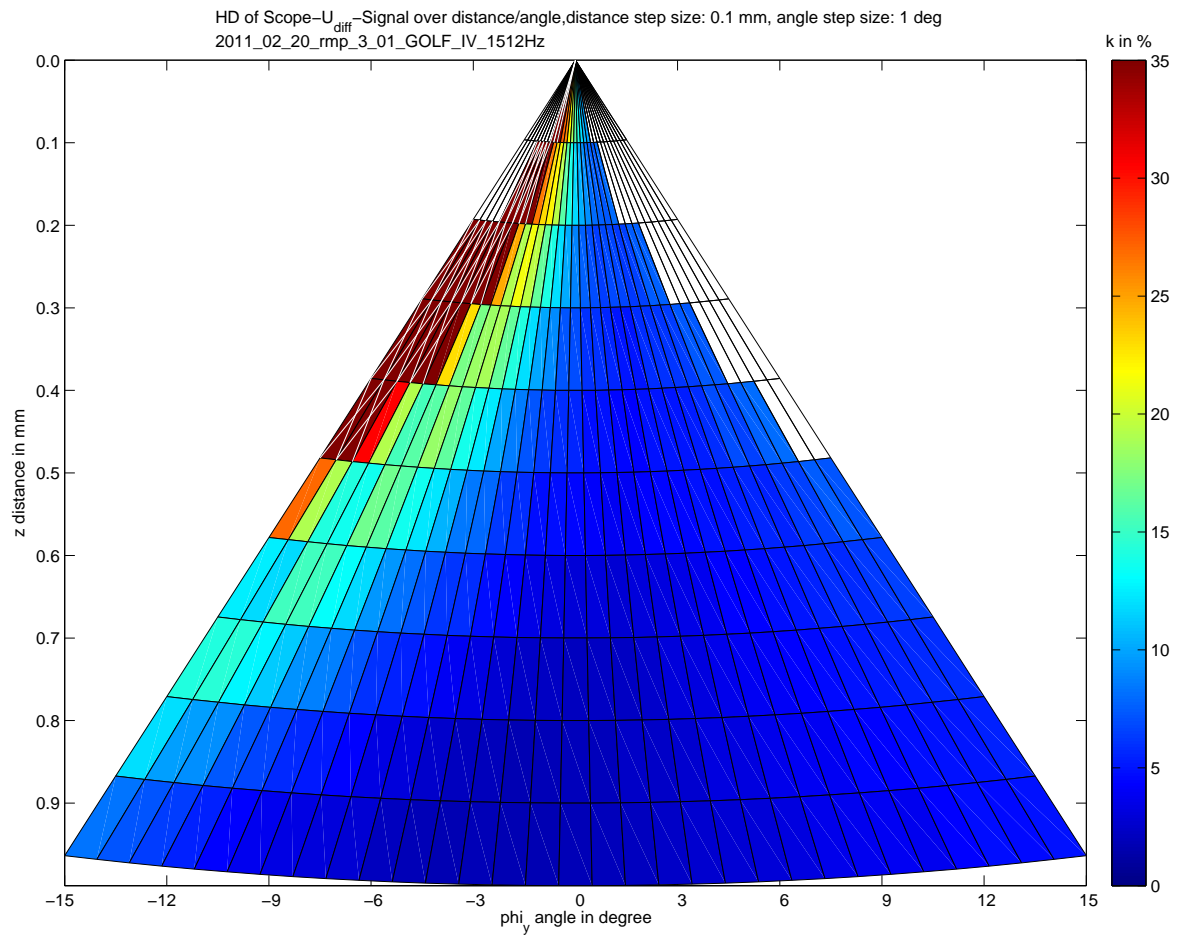


Abbildung 6.3.: Klirrfaktor ermittelt aus dem Sensordifferenzsignal, aufgenommen mit einem Speicheroszilloskop, bei Verfahren der z-Achse und Verkippung über die y-Achse des Sensors

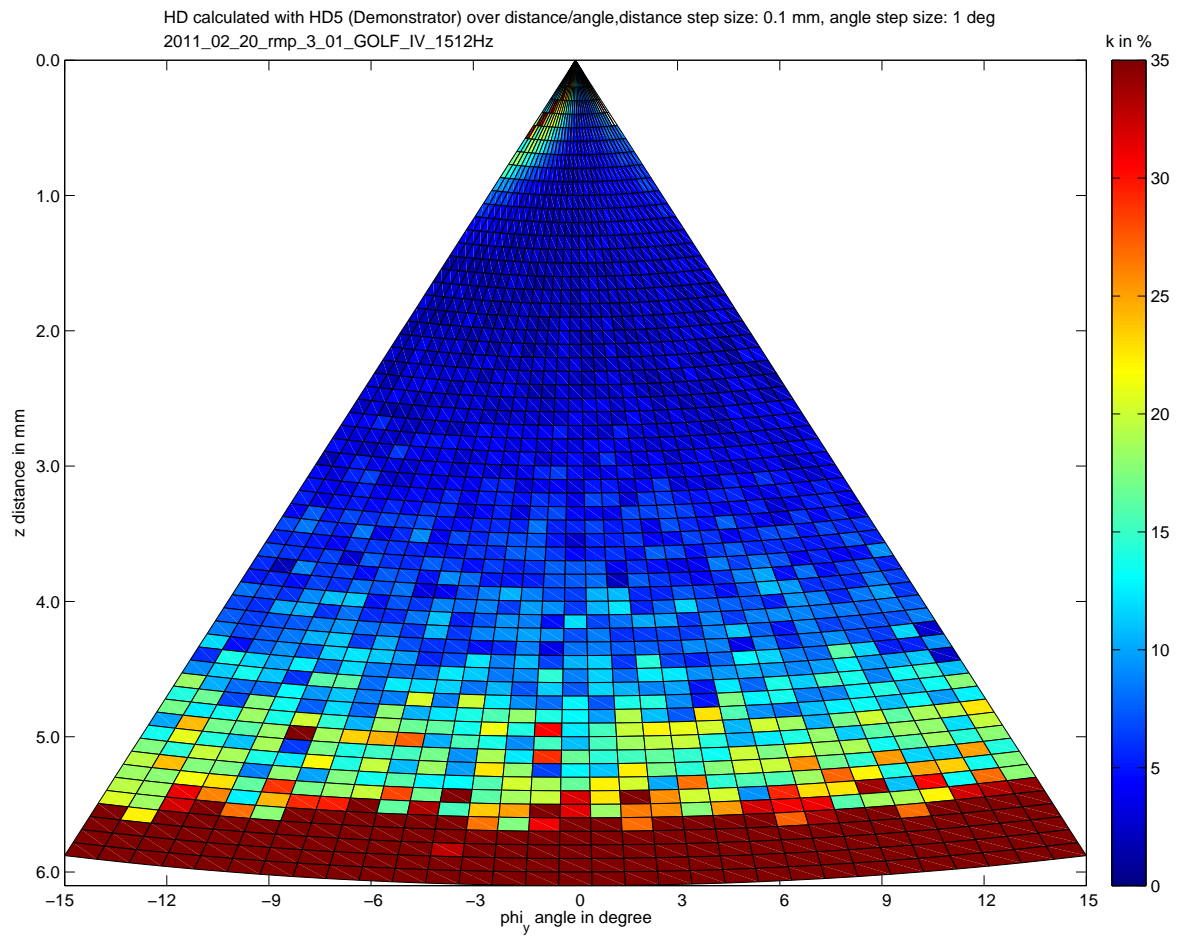


Abbildung 6.4.: Klirrfaktor ermittelt mit dem HD5-Verfahren, bei Verfahren der z-Achse und Verkippung über die y-Achse des Sensors

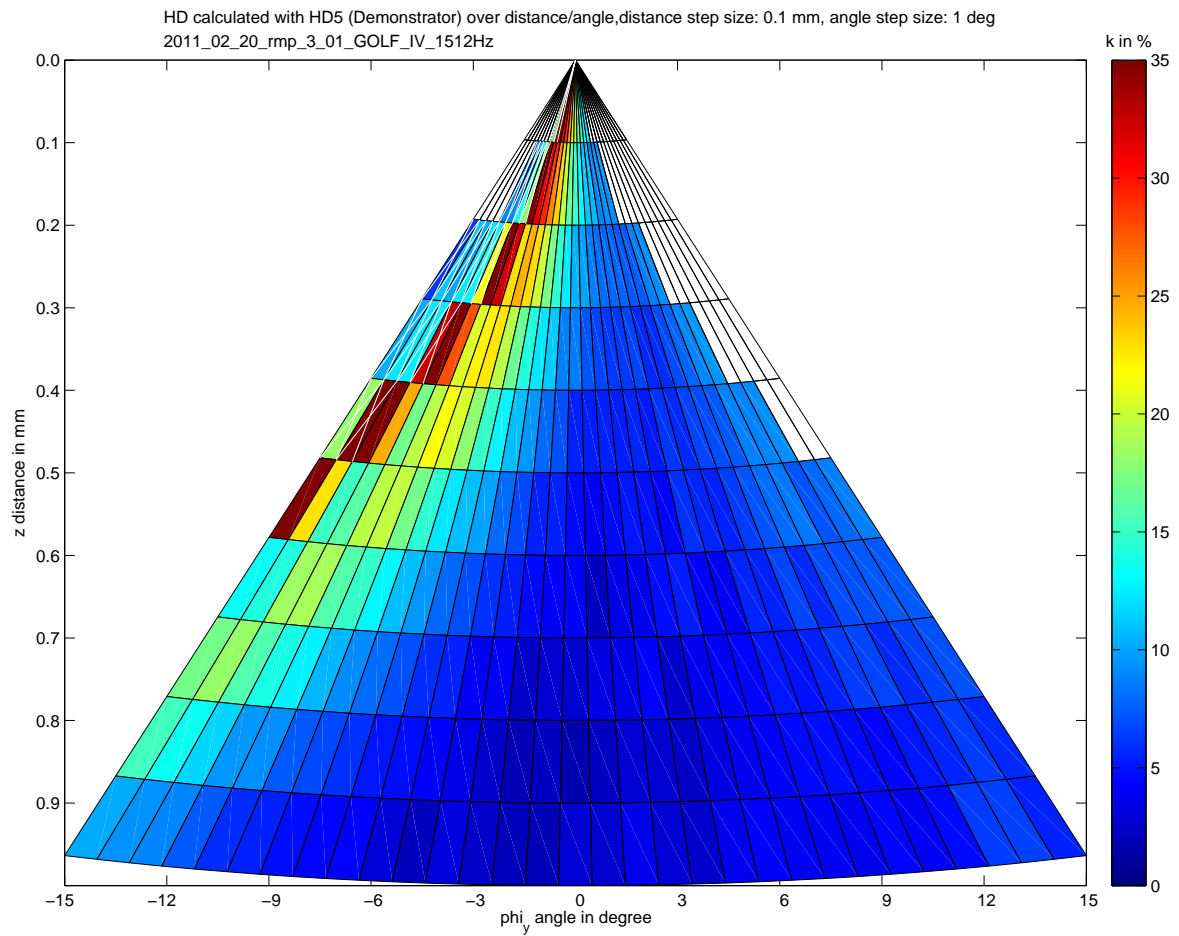


Abbildung 6.5.: Klirrfaktor ermittelt mit dem HD5-Verfahren, bei Verfahren der z-Achse und Verkippung über die y-Achse des Sensors

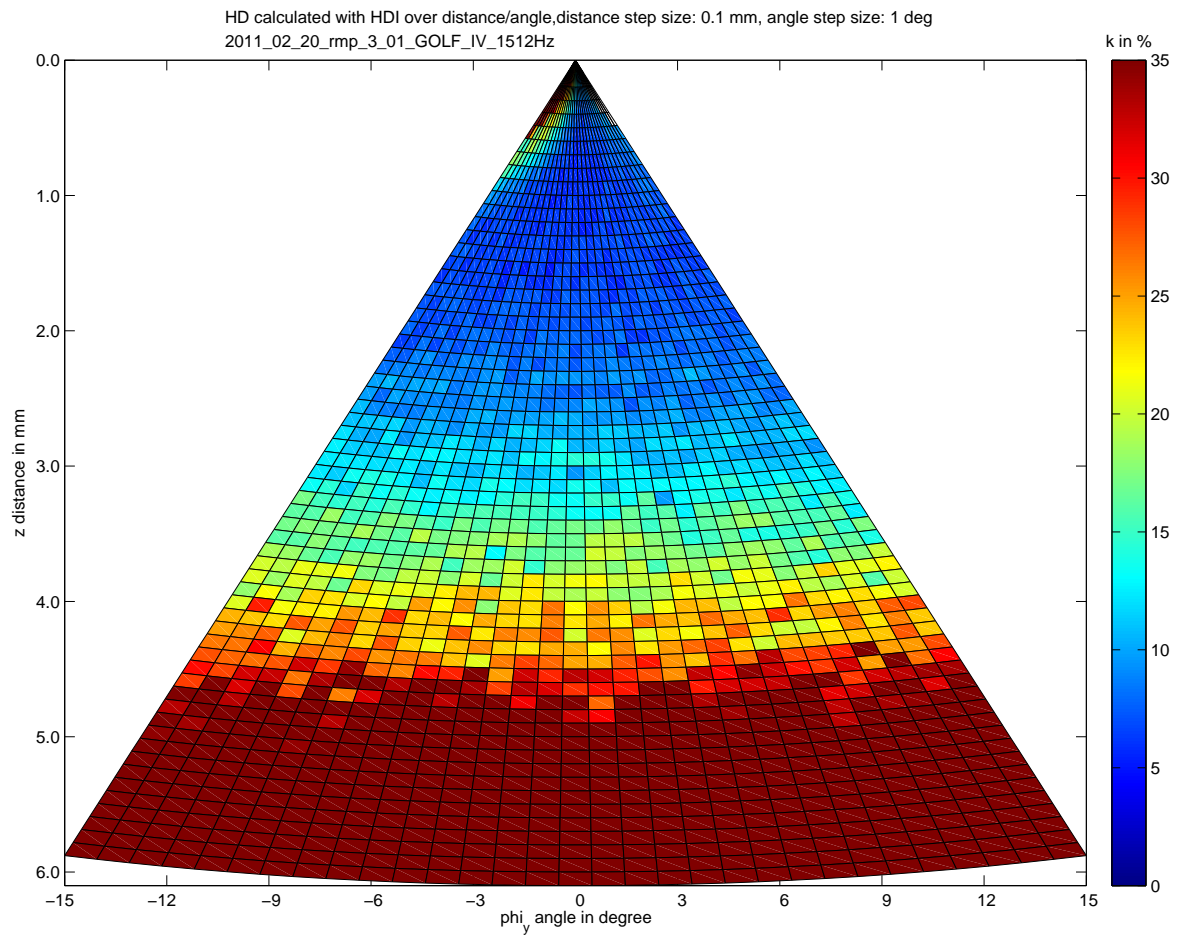


Abbildung 6.6.: Klirrfaktor ermittelt mit dem HDI-Verfahren, bei Verfahren der z-Achse und Verkippung über die y-Achse des Sensors

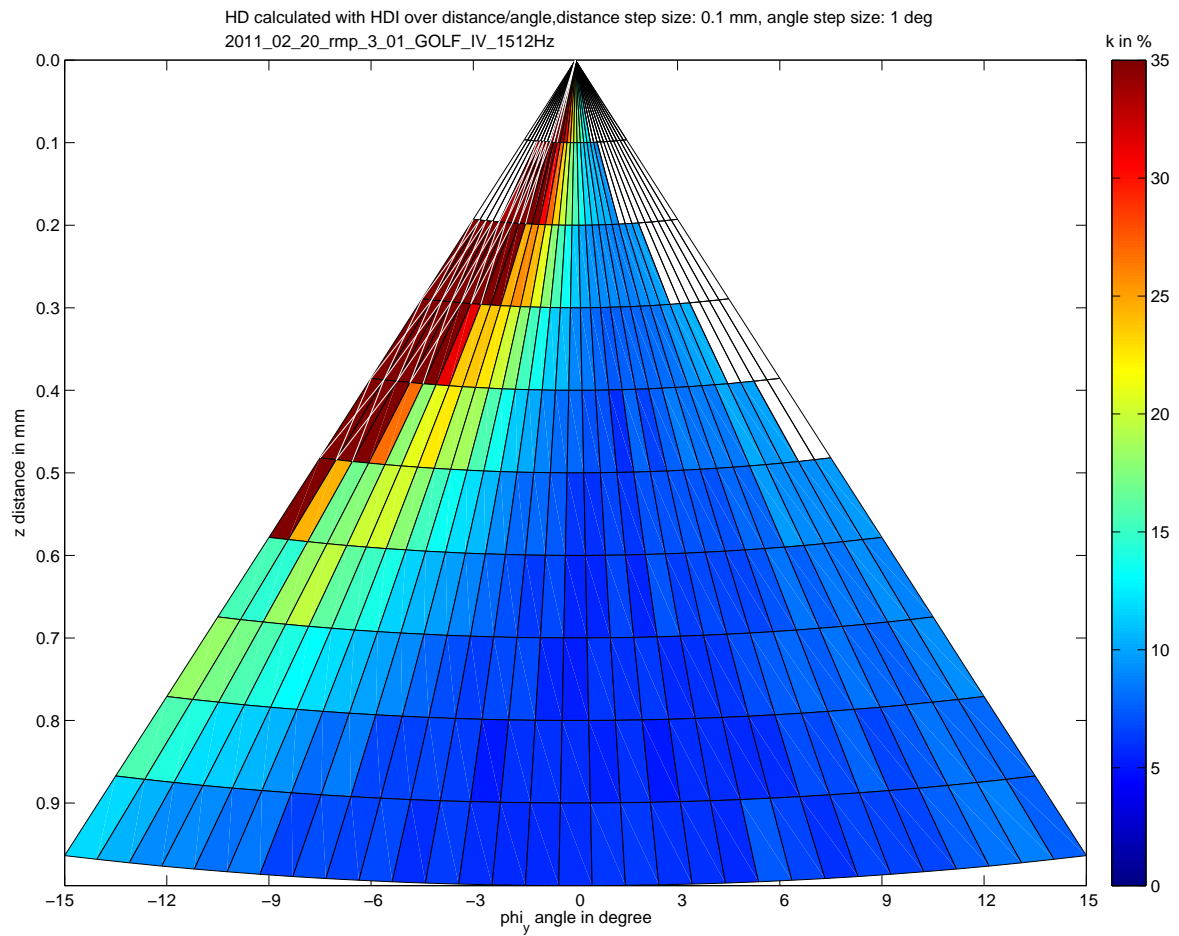


Abbildung 6.7.: Klirrfaktor ermittelt mit dem HDI-Verfahren, bei Verfahren der z-Achse und Verkippung über die y-Achse des Sensors

OHD

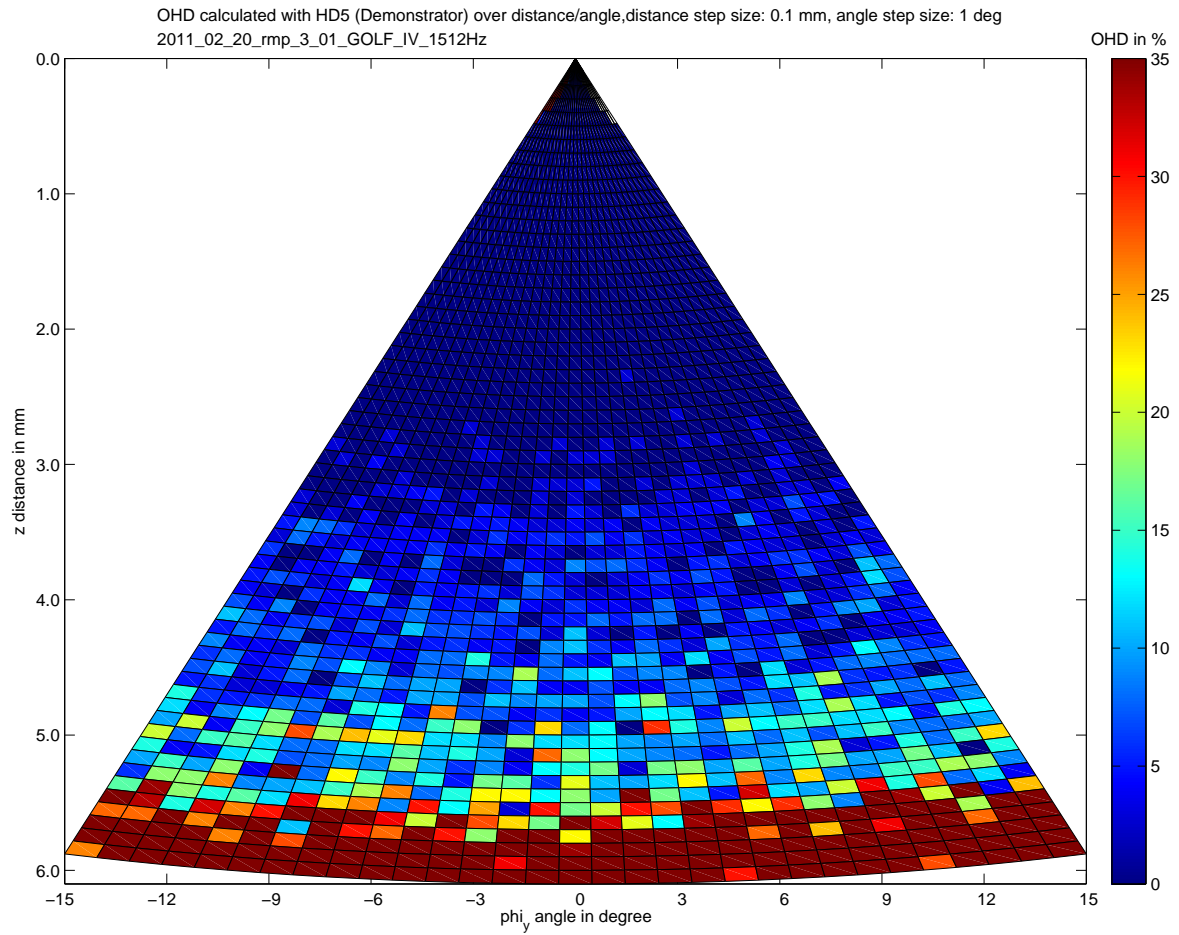


Abbildung 6.8.: OHD ermittelt mit dem HD5-Verfahren, bei Verfahren der z-Achse und Verkipfung über die y-Achse des Sensors

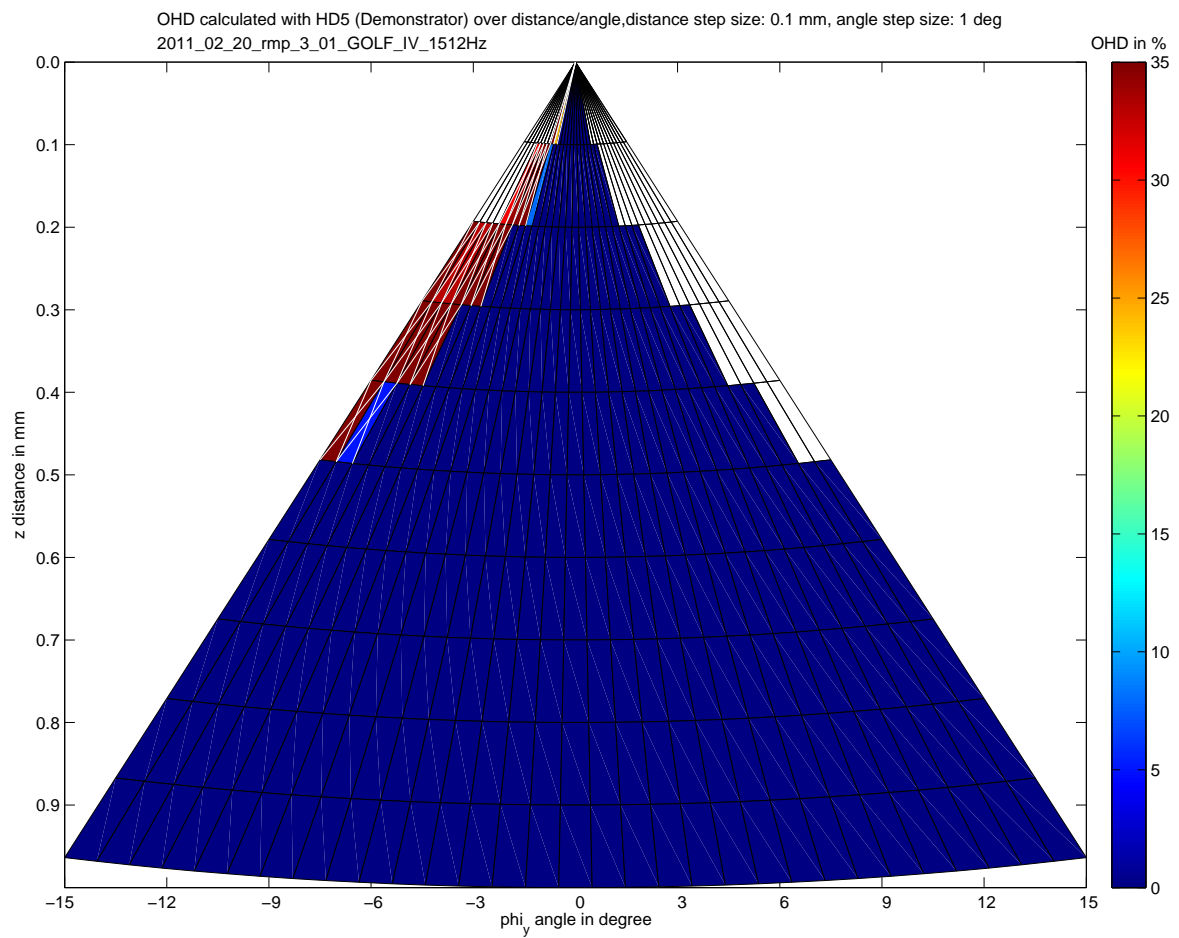


Abbildung 6.9.: OHD ermittelt mit dem HD5-Verfahren, bei Verfahren der z-Achse und Verkipfung über die y-Achse des Sensors

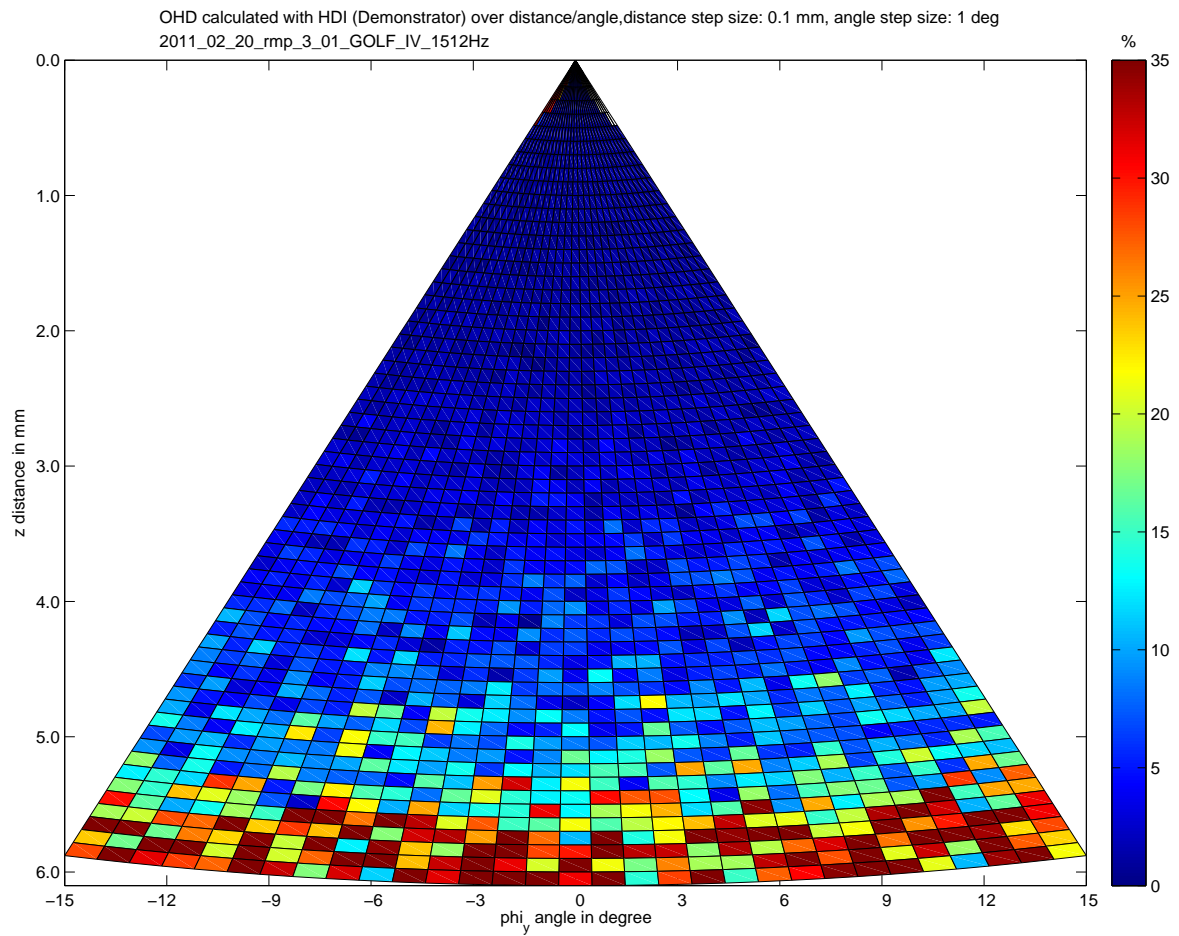


Abbildung 6.10.: OHD ermittelt mit dem HDI-Verfahren, bei Verfahren der z-Achse und Verkipfung über die y-Achse des Sensors

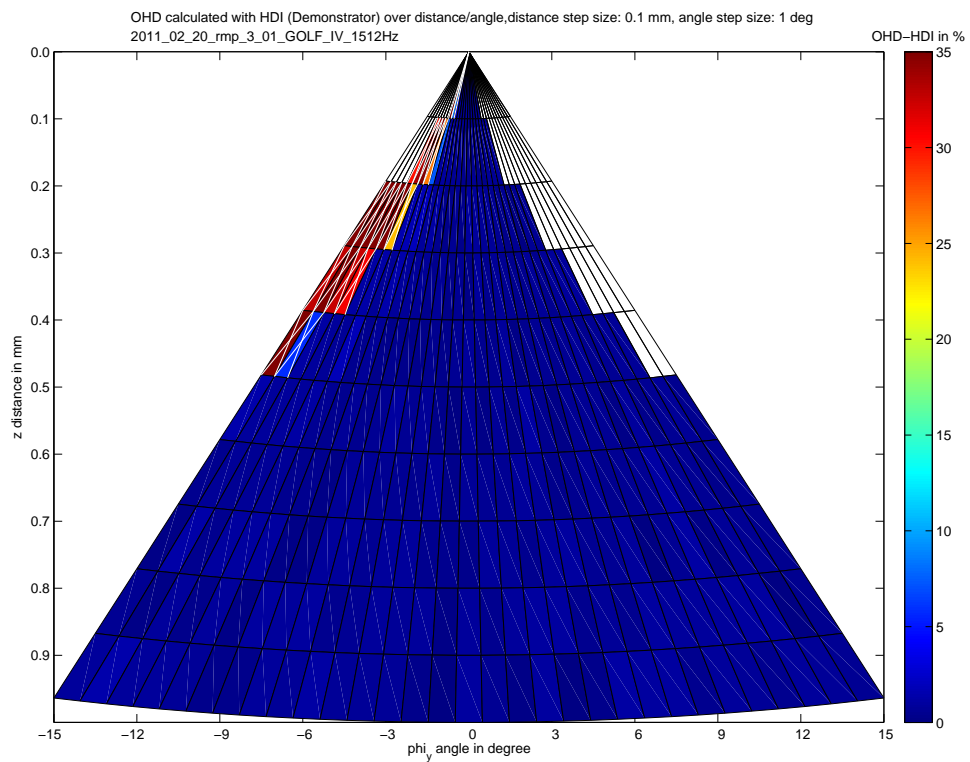


Abbildung 6.11.: OHD ermittelt mit dem HDI-Verfahren, bei Verfahren der z-Achse und Verkipfung über die y-Achse des Sensors

Sensorbrückenspannung

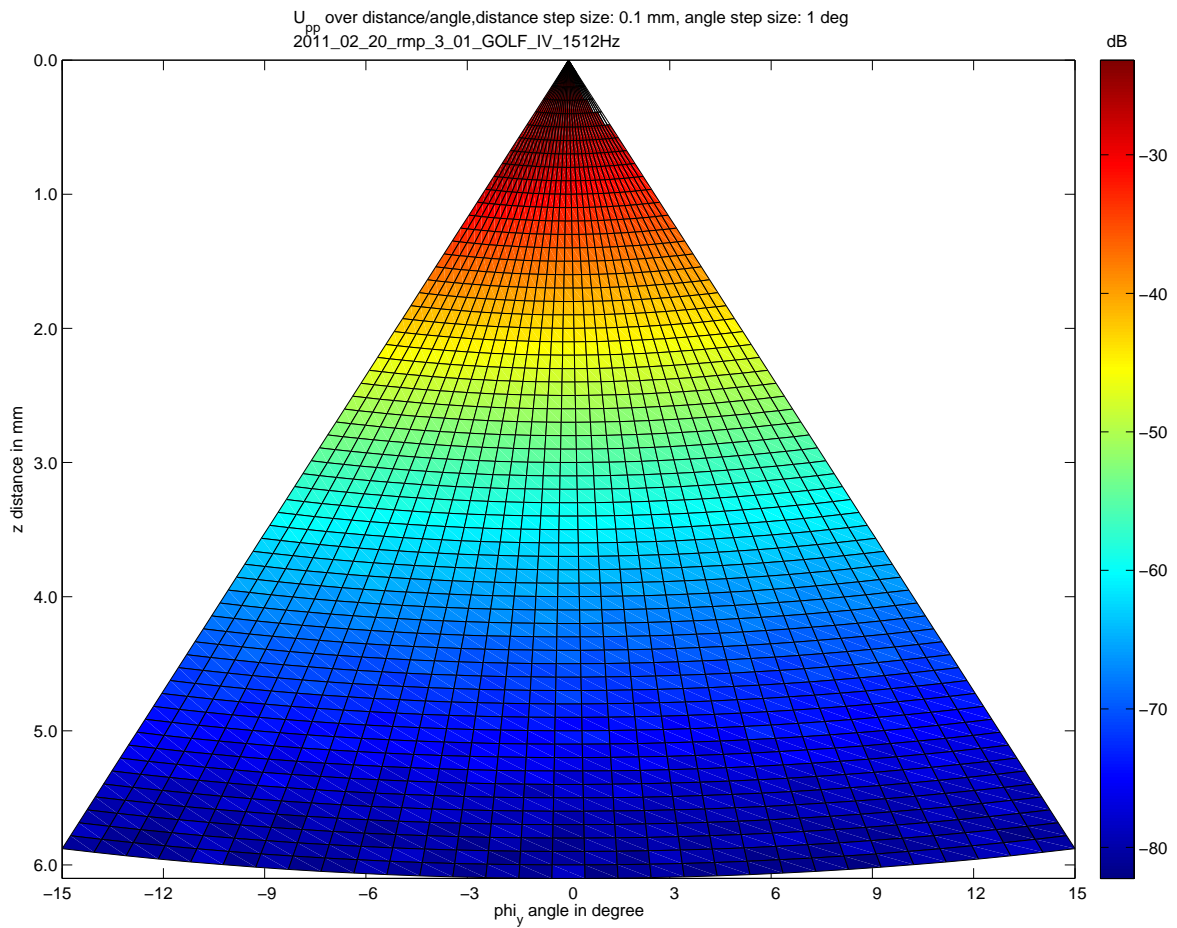


Abbildung 6.12.: Sensorbrückenspannung unverstärkt, bei Verfahren der z-Achse und Verkipfung über die y-Achse des Sensors

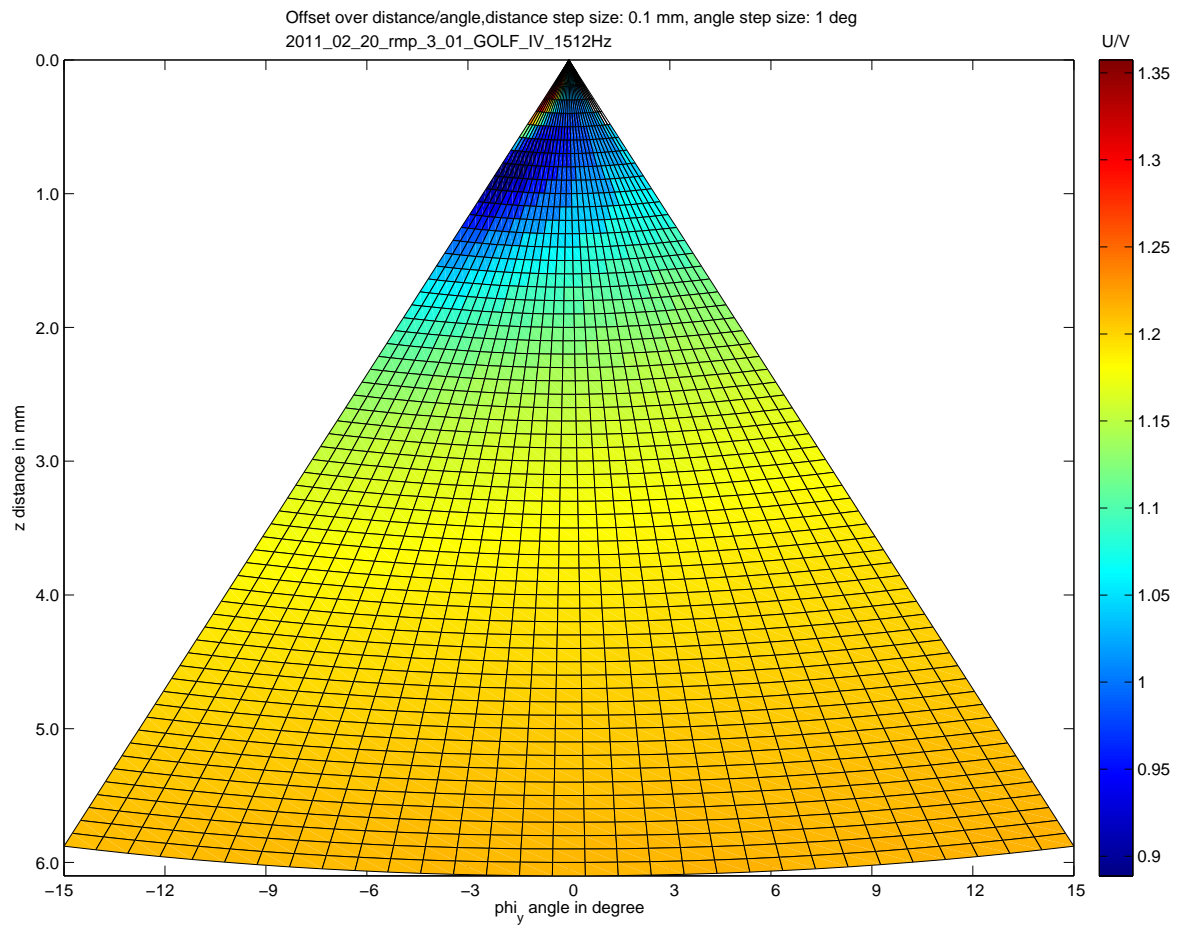
Offset

Abbildung 6.13.: Offset, bei Verfahren der z-Achse und Verkippung über die y-Achse des Sensors

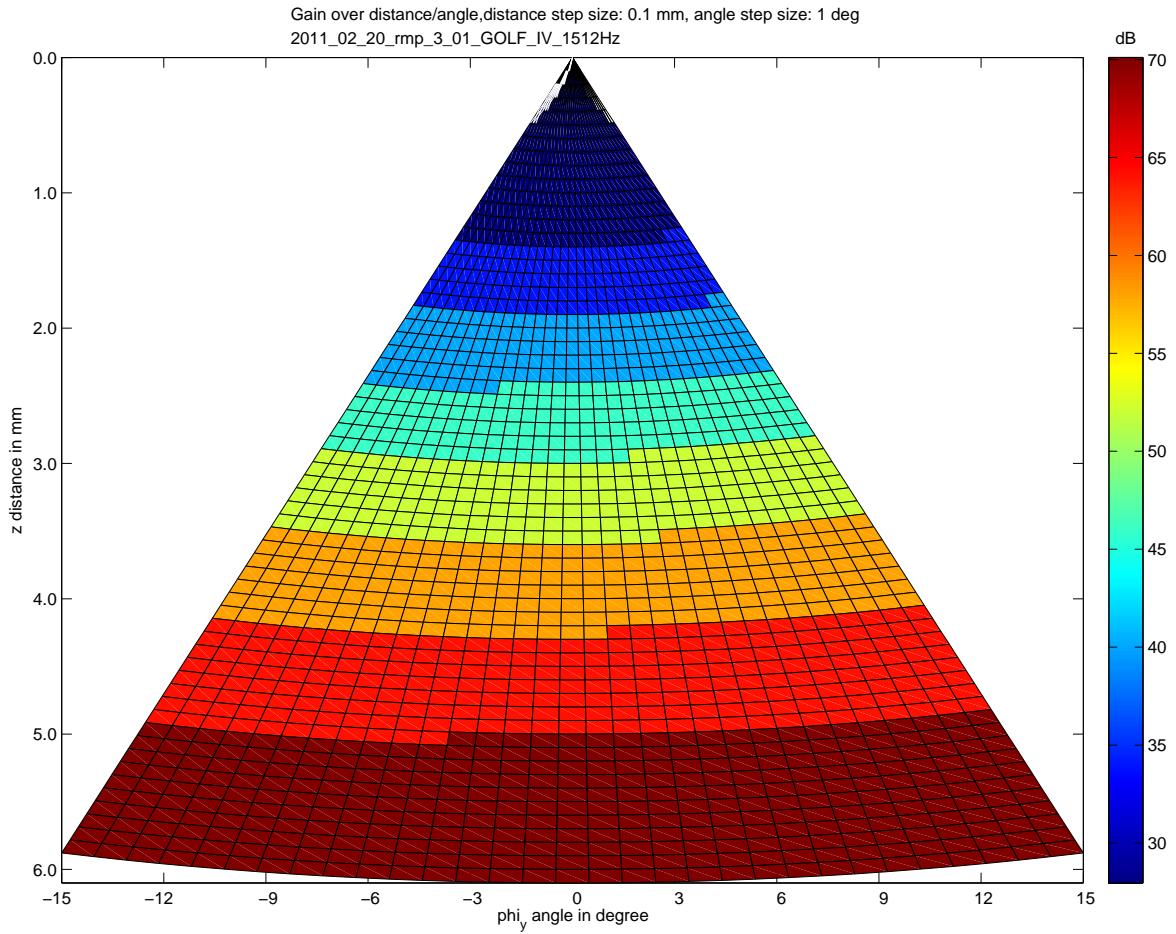
Verstärkung

Abbildung 6.14.: Verstärkung, bei Verfahren der z-Achse und Verkippung über die y-Achse des Sensors

6.1.2. Golf IV - Encoderrad - Verfahren der z- und x-Achse

Für diese Messreihe wurden die Linearachsen z und x verfahren. Wie in Abschnitt 6 beschrieben gibt es innerhalb dieser Messreihe Messpunkte, an denen sich die Frequenz verdoppelt. Es bestätigen sich die Bemerkungen die schon im Abschnitt 6.1.1 gemacht wurden.

Klirrfaktor

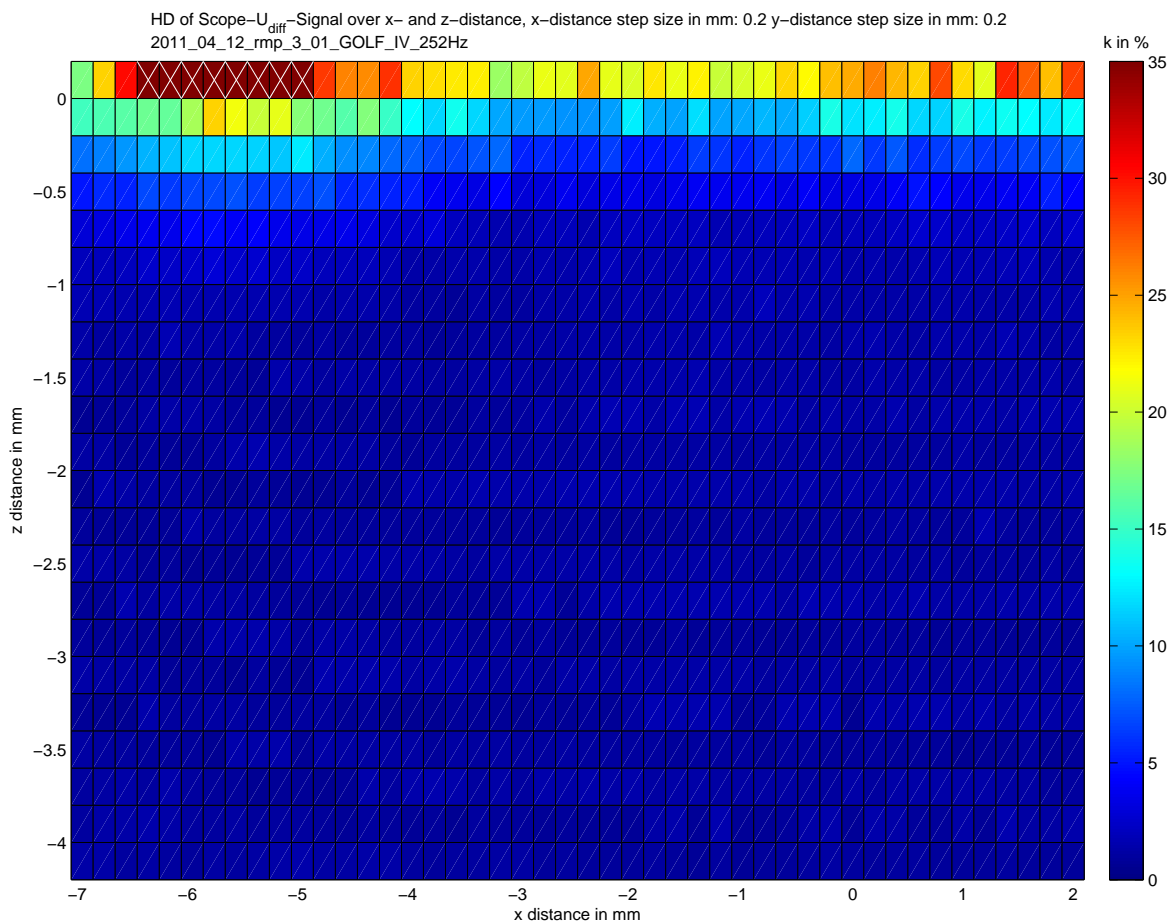


Abbildung 6.15.: Klirrfaktor ermittelt aus dem Sensordifferenzsignal, aufgenommen mit einem Speicheroszilloskop, bei Verfahren der x-Achse und z-Achse des Sensors

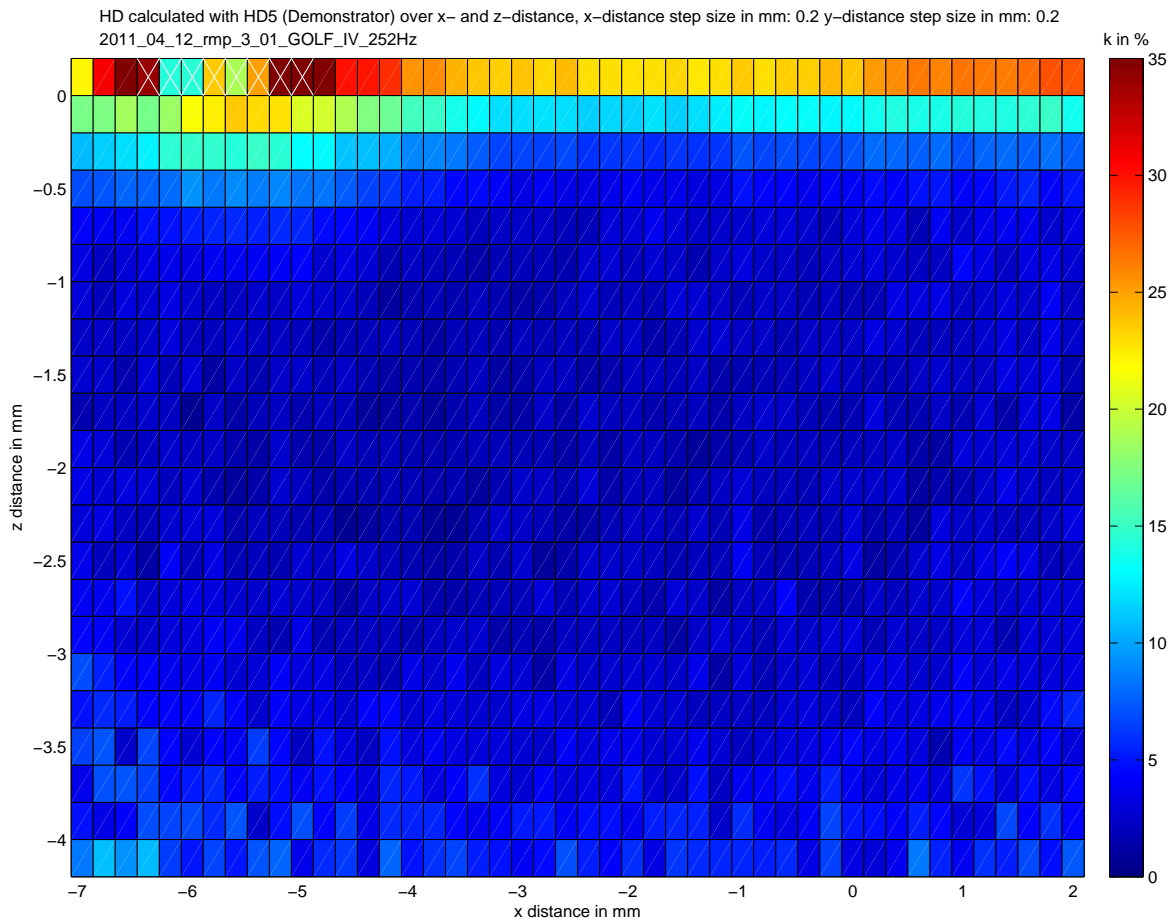


Abbildung 6.16.: Klirrfaktor ermittelt mit dem HD5-Verfahren, bei Verfahren der x-Achse und z-Achse des Sensors

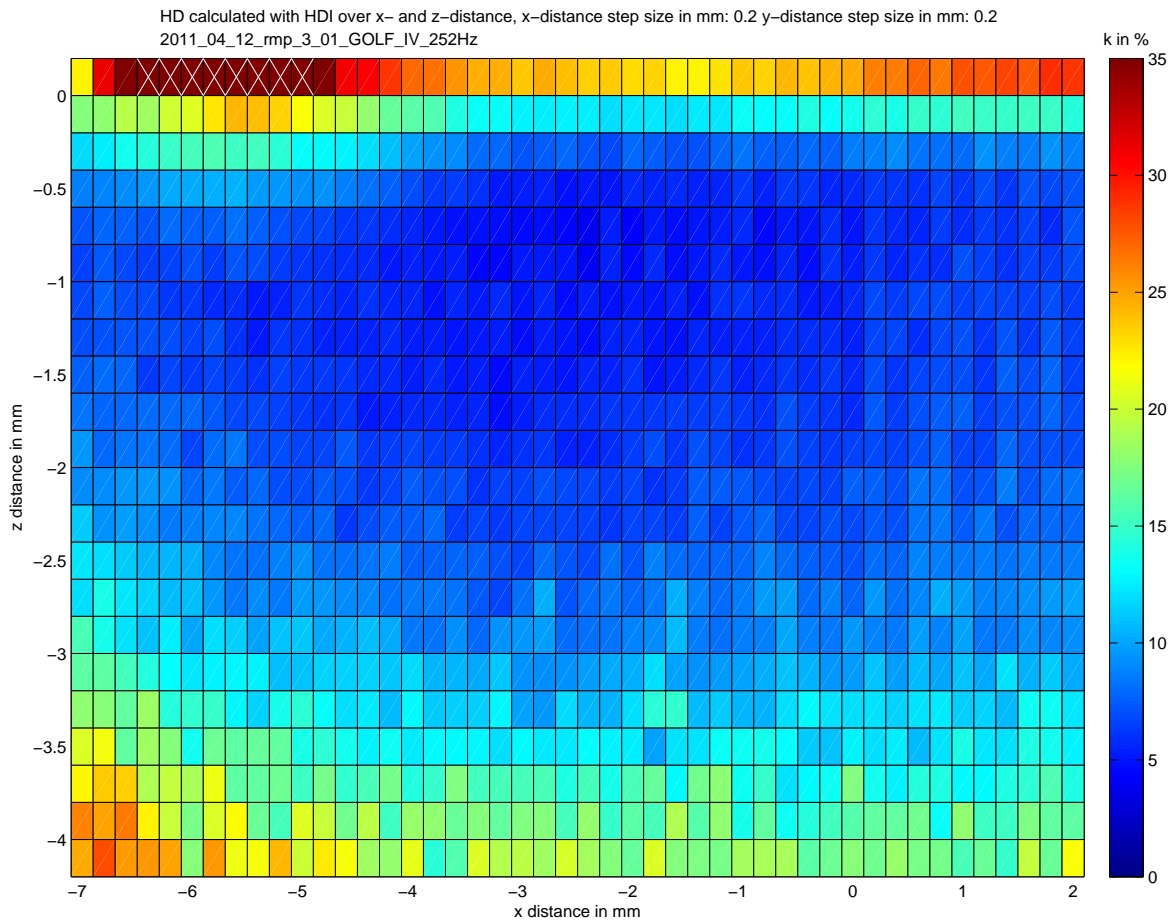


Abbildung 6.17.: Klirrfaktor ermittelt mit dem HDI-Verfahren, bei Verfahren der x-Achse und z-Achse des Sensors

OHD

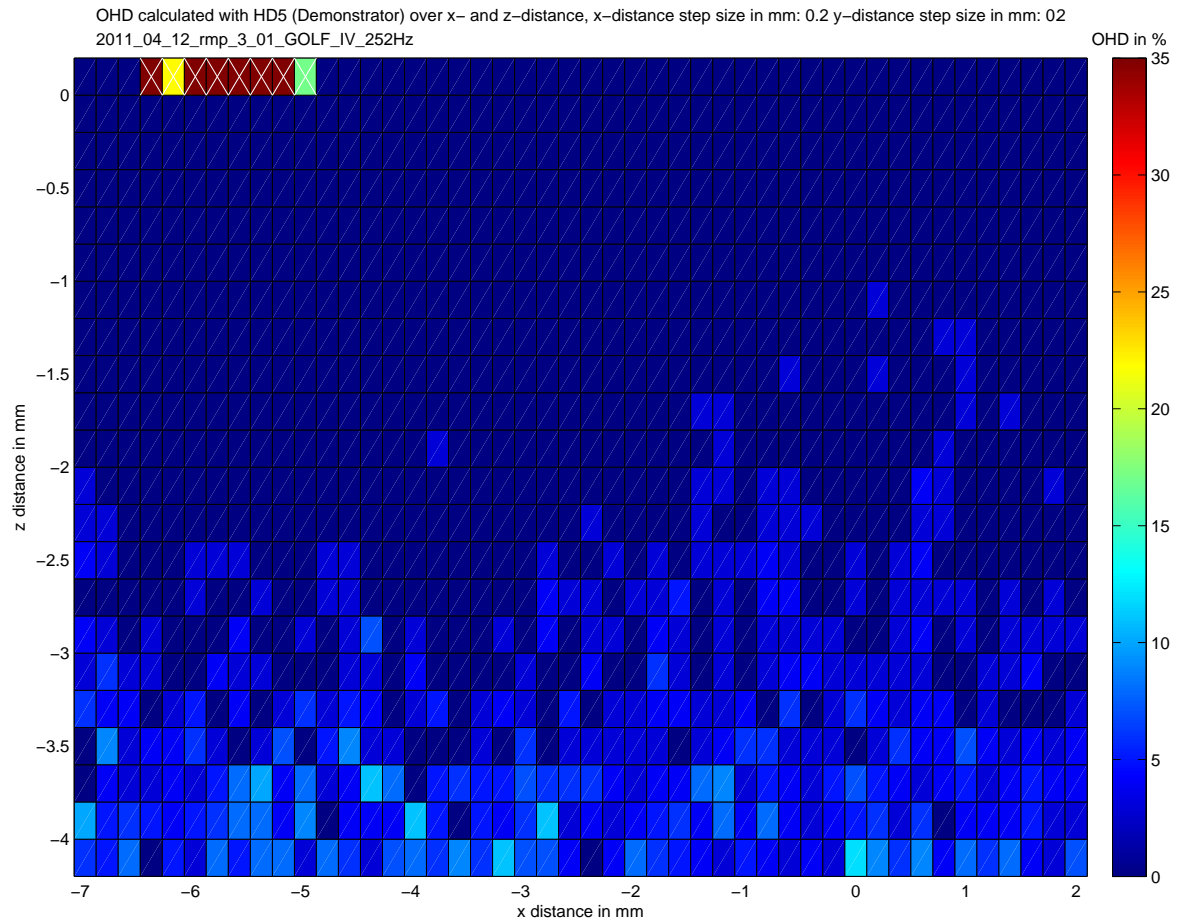


Abbildung 6.18.: OHD ermittelt mit dem HD5-Verfahren, bei Verfahren der x-Achse und z-Achse des Sensors

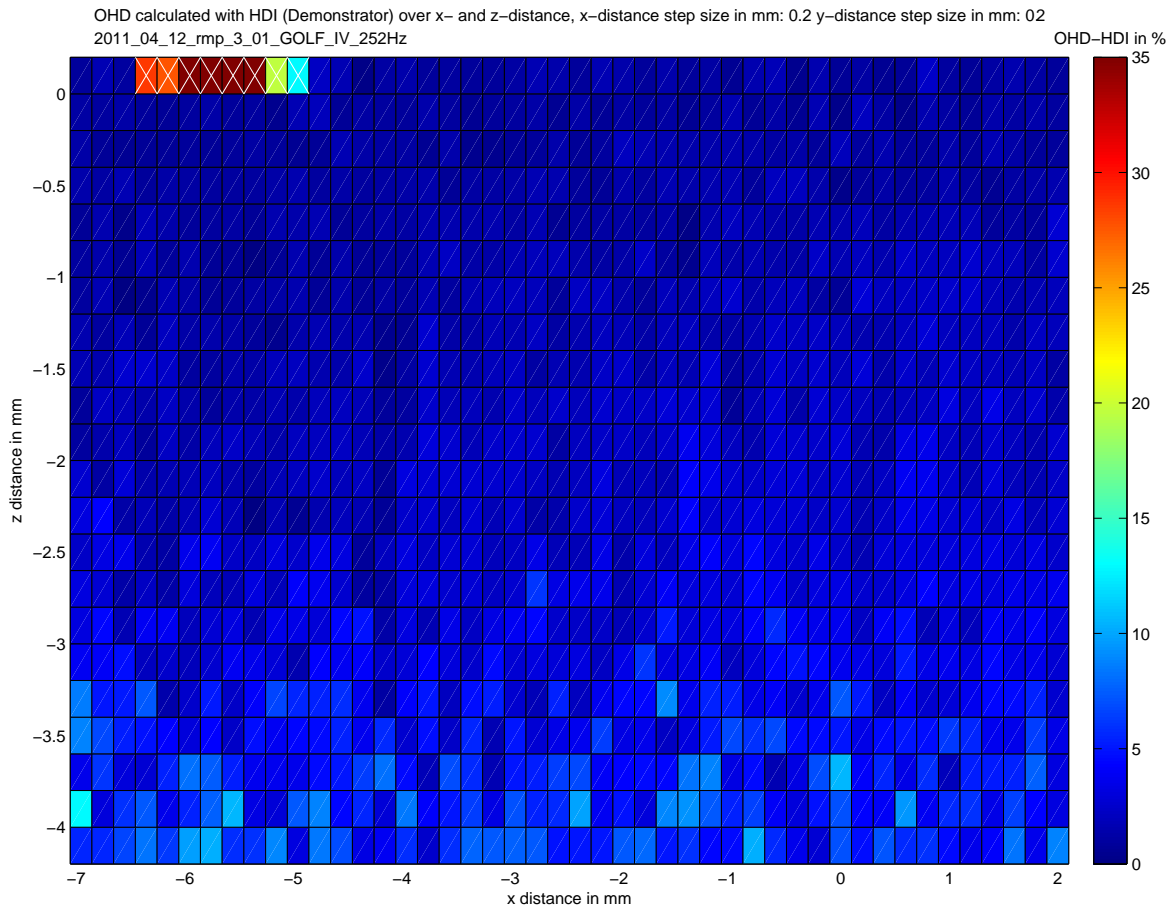


Abbildung 6.19.: OHD ermittelt mit dem HDI-Verfahren, bei Verfahren der x-Achse und z-Achse des Sensors

Sensorbrückenspannung

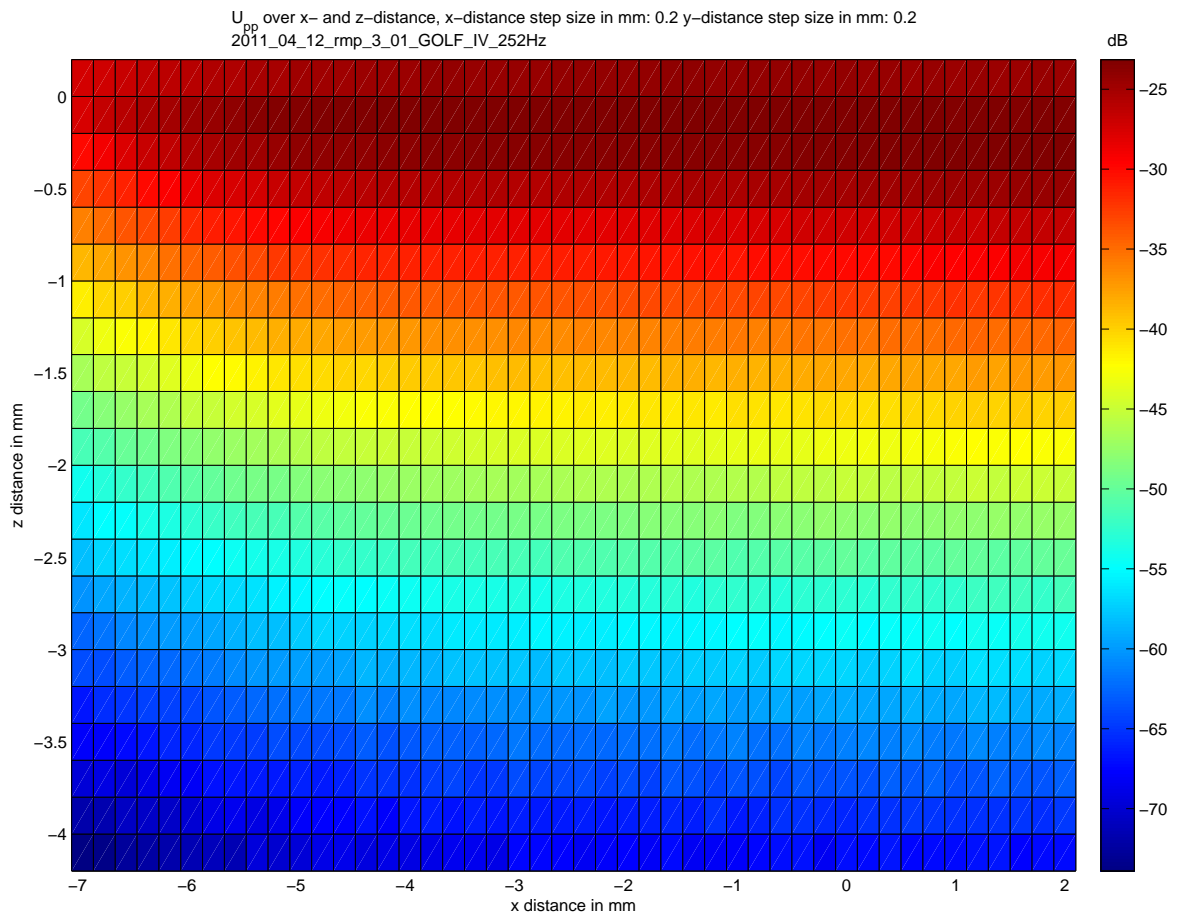


Abbildung 6.20.: Sensorbrückenspannung unverstärkt, bei Verfahren der x-Achse und z-Achse des Sensors

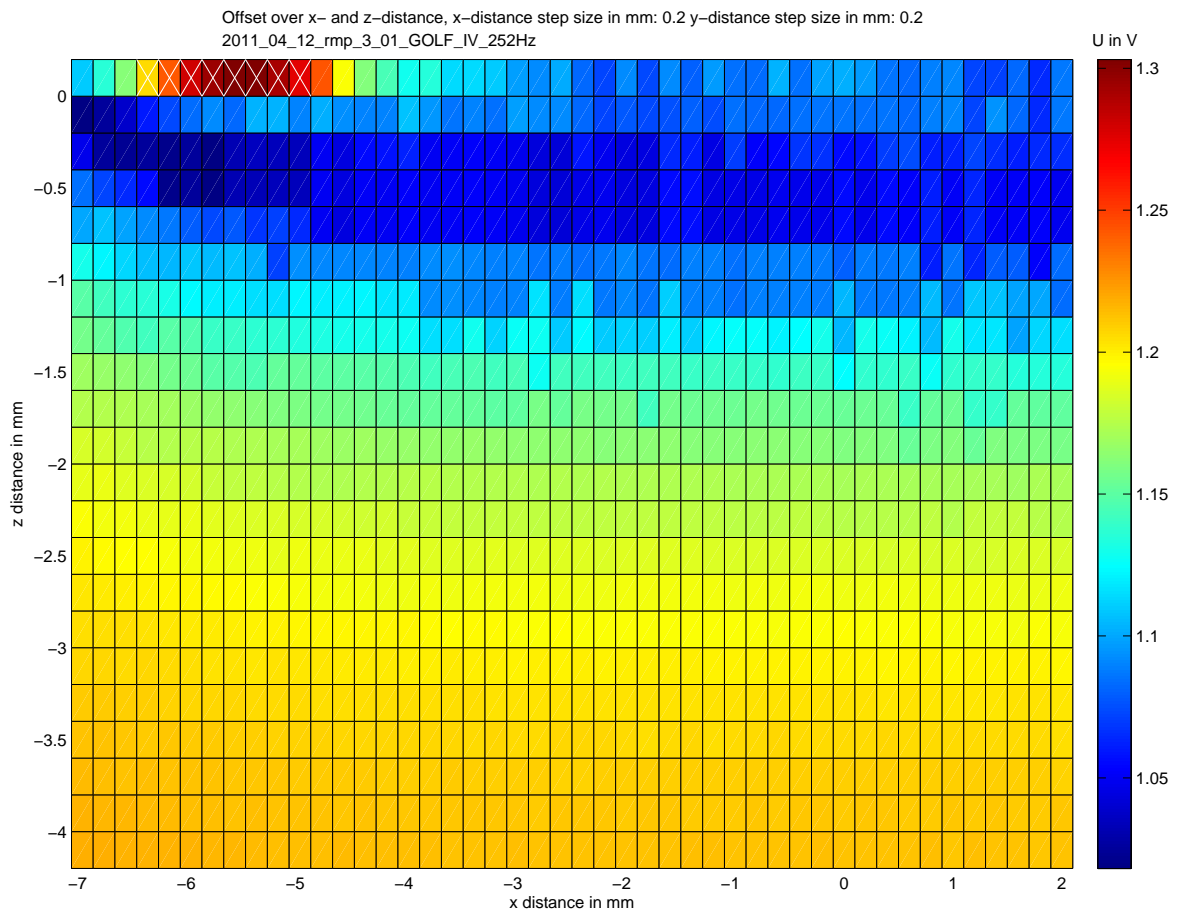
Offset

Abbildung 6.21.: Offset, bei Verfahren der x-Achse und z-Achse des Sensors

Verstärkung

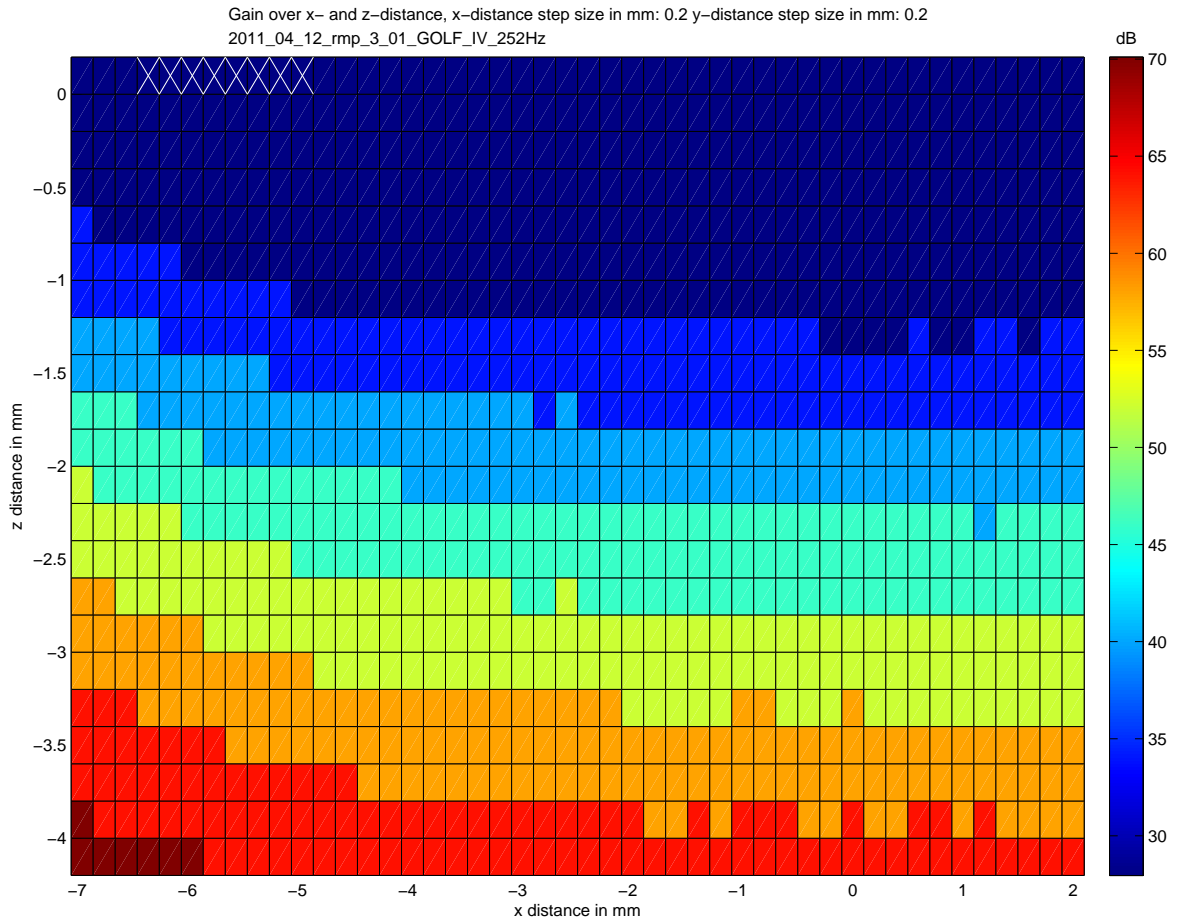


Abbildung 6.22.: Verstärkung, bei Verfahren der x-Achse und z-Achse des Sensors

6.2. Aktives Encoderrad

6.2.1. Golf V - Encoderrad

Die meisten Aussagen die zuvor gemacht worden sind, bestätigen sich auch durch die Messreihe, die am aktiven Encoderrad durchgeführt wurden. Allerdings kommt es zu einem Effekt, der in den Messreihen am passiven Encoderrad nicht beobachtet werden konnte. Die Signalverzerrung, die zusätzliche Nulldurchgänge verursacht und damit die Frequenzverdopplung verursacht, ist an zwei Messpunkten besonders stark. Die zusätzlichen Halbwellen, die üblicherweise bei Frequenzverdopplung auftreten (siehe Abbildung 2.6) sind an diesen Punkten so ausgeprägt, dass die Amplituden genauso groß sind wie die der anderen beiden Halbwellen. Dadurch ist der Frequenzanteil an der Stelle der Harmonischen Basis f_{HB} so gering, wie es ansonsten nur im Normalbetrieb des Sensors ist. Aufgrund dieser Besonderheit, soll an dieser Stelle das Sensorbrückensignal von einem dieser Messpunkte sowie dessen Amplitudenspektrum dargestellt werden (siehe Abbildungen 6.23 und 6.24). Das Amplitudenspektrum zeigt im Bereich von 252Hz keine ausgeprägte Frequenzlinie, obwohl dies der Zahnfrequenz entspricht. Aus diesem Grund bleibt dieser Messpunkt (weißer Bereich) in Abbildung 6.25 ohne Wert, da das Matlab-Skript (Siehe Anhang A.2.1), welches die Harmonischen Anteile aus dem Spektrum heraussucht für die Klirrfaktorberechnung, vergeblich an dieser Stelle sucht.

Dessen ungeachtet ist der Klirrfaktor, ermittelt durch die HDI-Methode, an diesen Messpositionen erhöht und lässt sich damit von den bläulich eingefärbten Bereichen, in denen die Signalqualität am besten ist, unterscheiden (siehe Abbildung 6.27).

Klirrfaktor

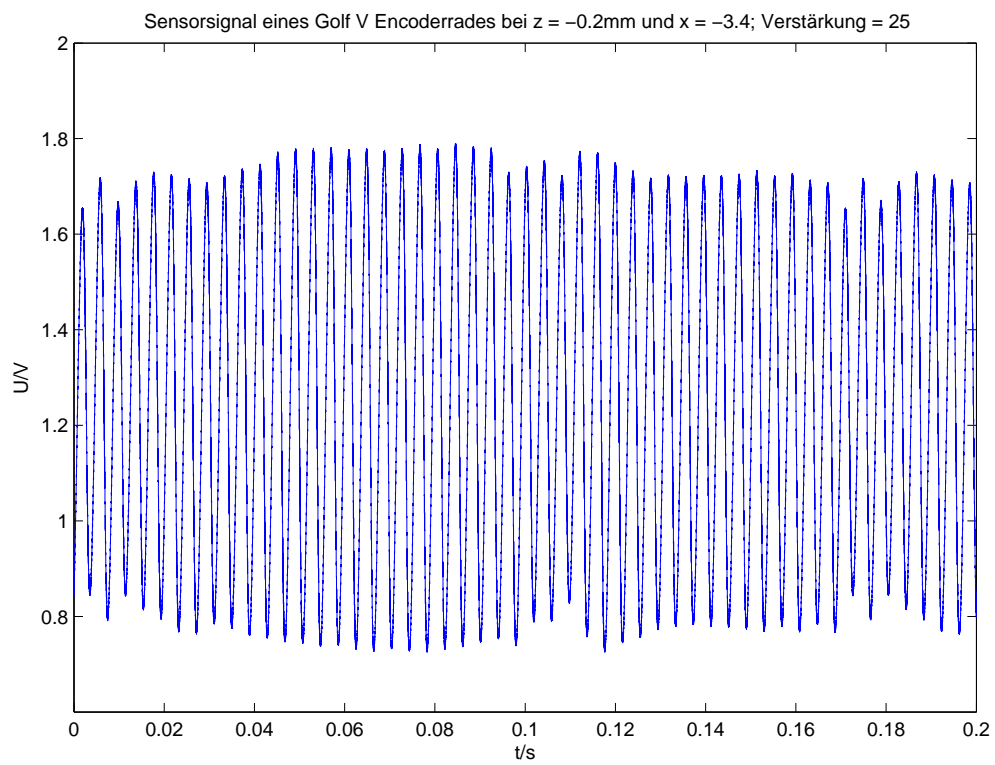


Abbildung 6.23.: Zeitsignal der Sensorbrückenspannung an Position $z = -0.2$ und $x = -3.4$

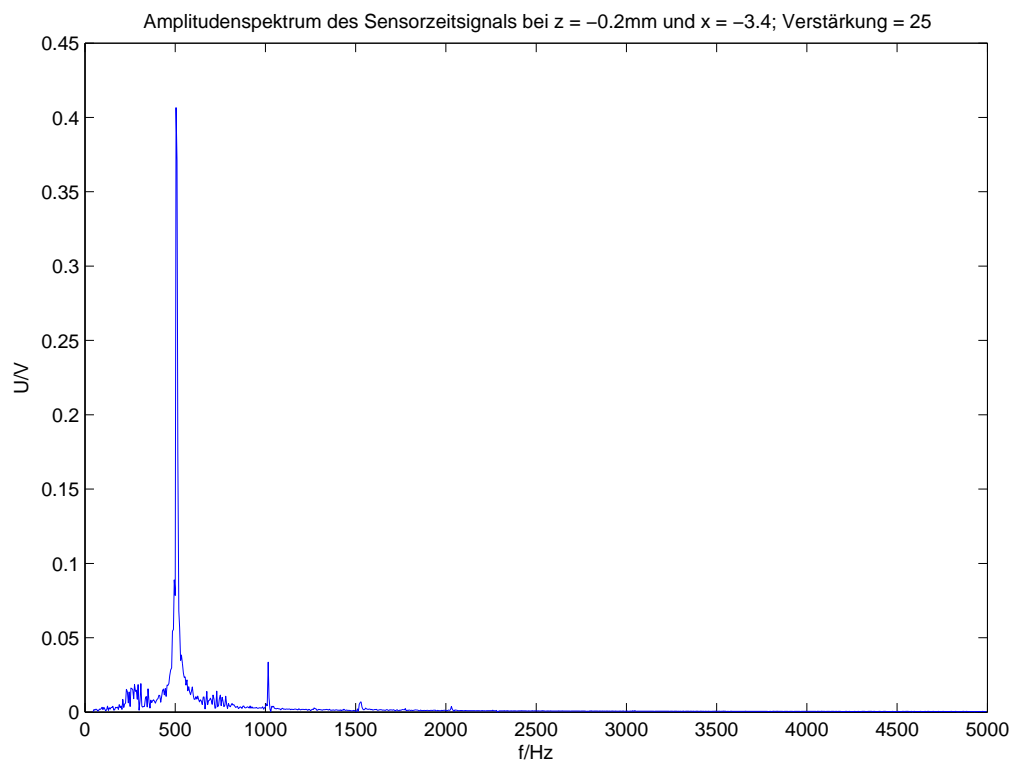


Abbildung 6.24.: Amplitudenspektrum der Sensorbrückenspannung an Position $z = -0.2$ und $x = -3.4$

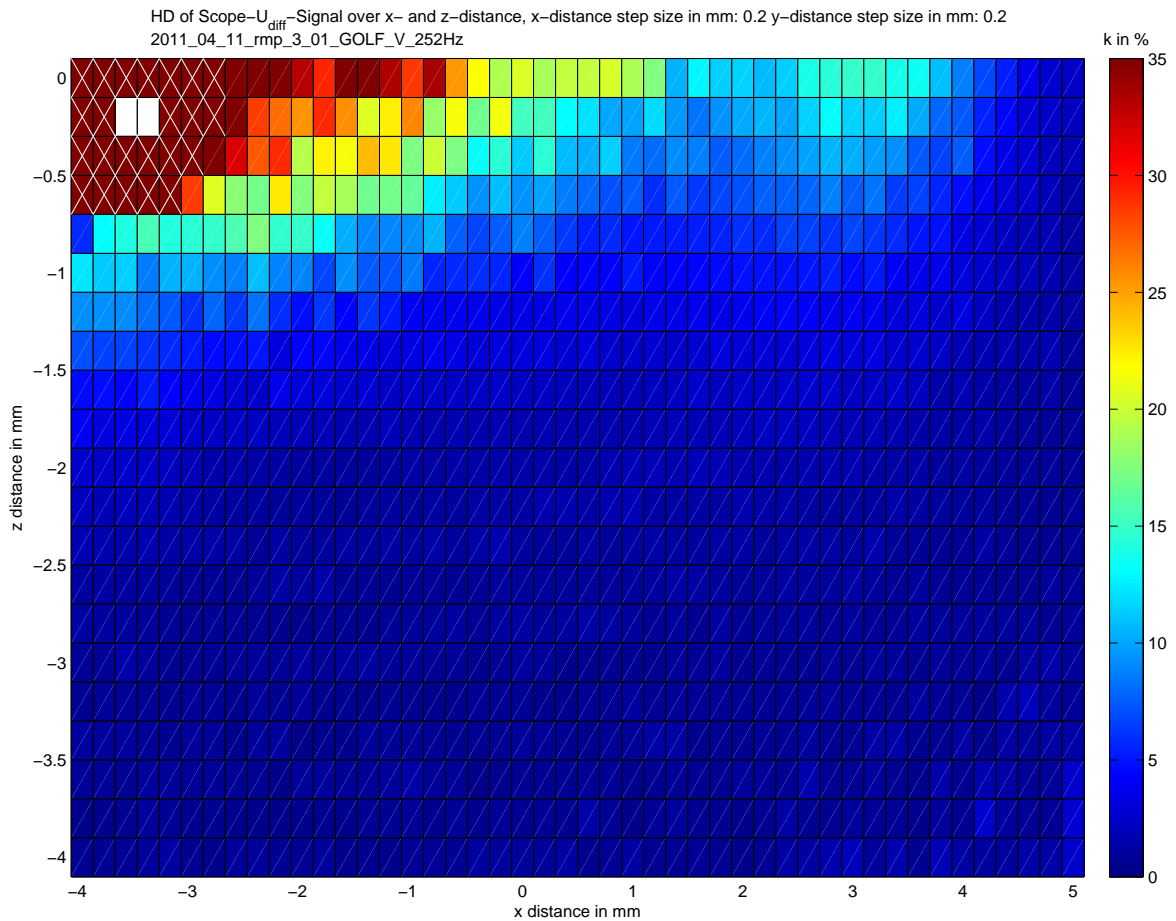


Abbildung 6.25.: Klirrfaktor ermittelt aus dem Sensordifferenzsignal, aufgenommen mit einem Speicheroszilloskop, bei Verfahren der x-Achse und z-Achse des Sensors

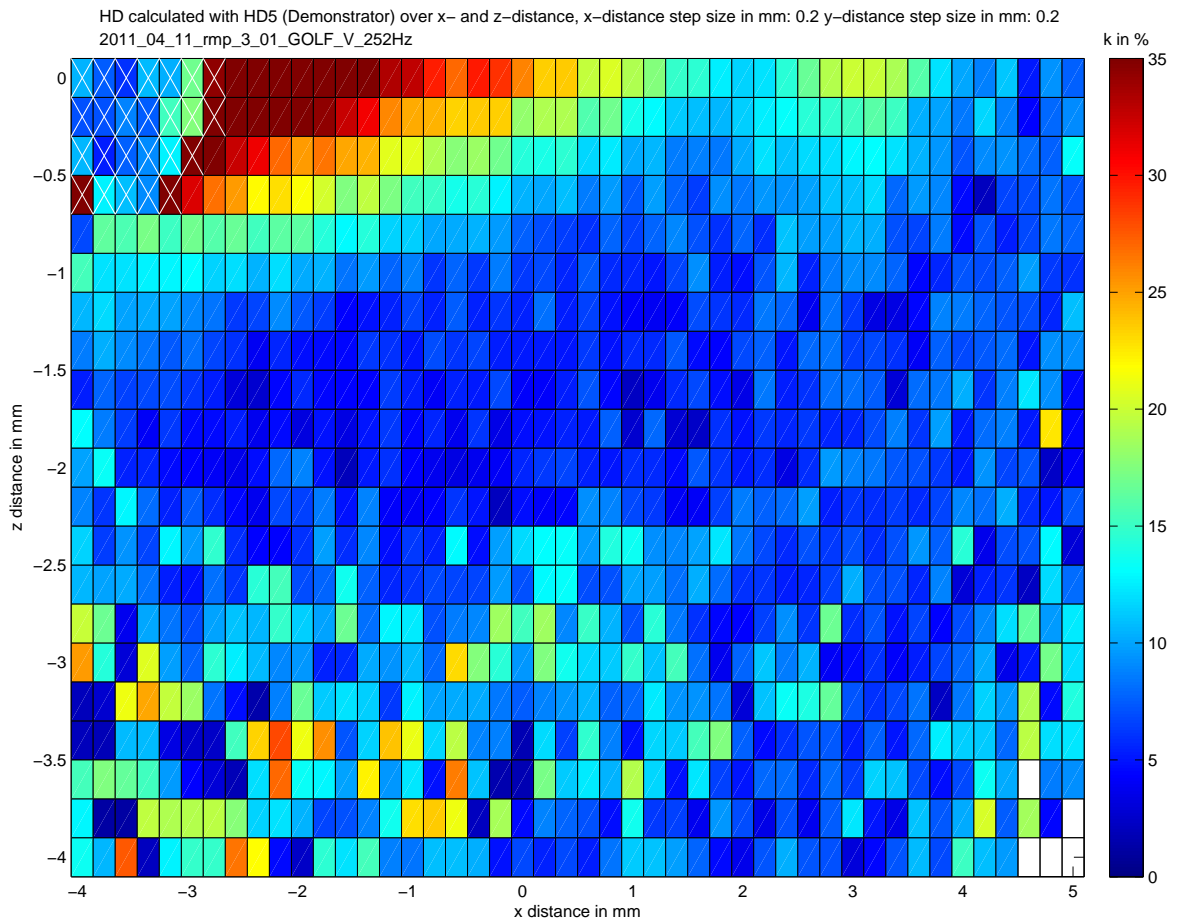


Abbildung 6.26.: Klirrfaktor ermittelt mit dem HD5-Verfahren, bei Verfahren der x-Achse und z-Achse des Sensors

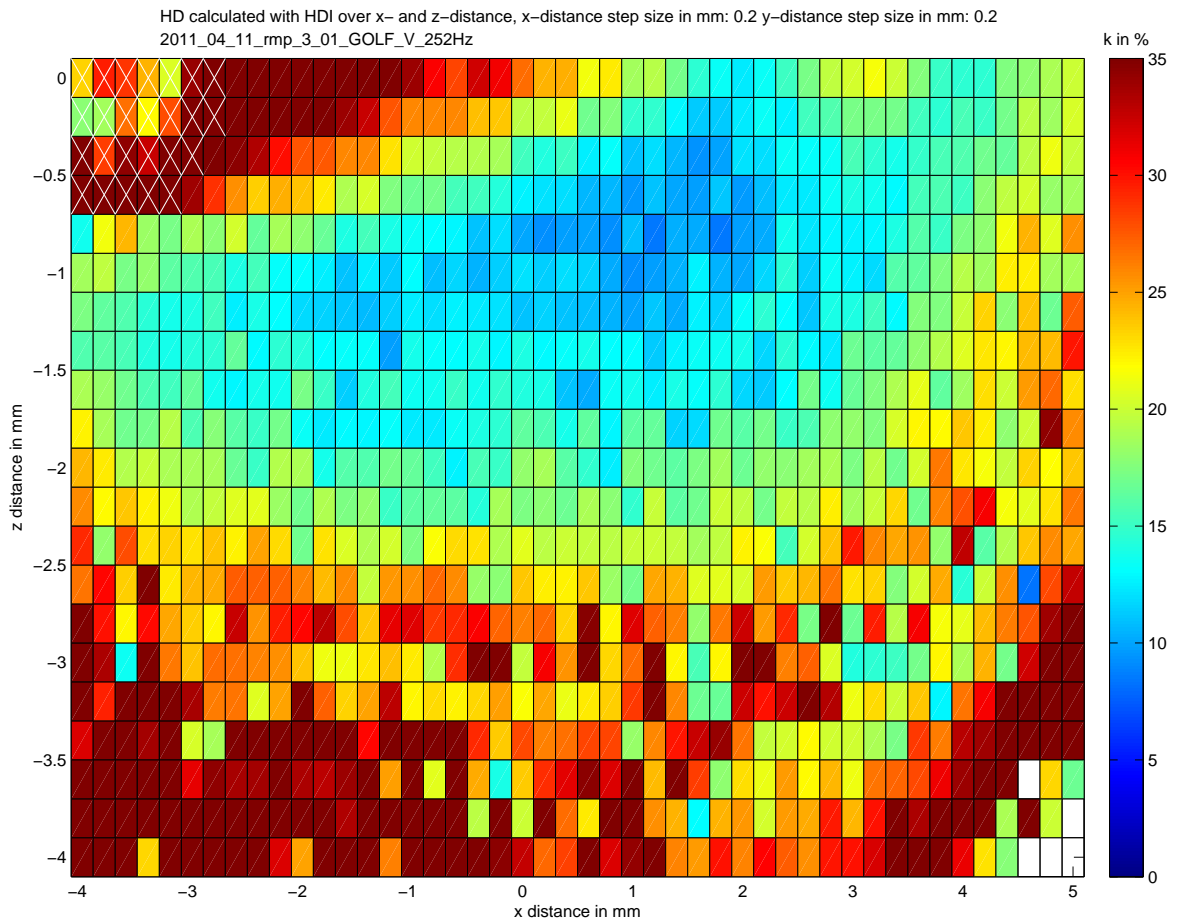


Abbildung 6.27.: Klirrfaktor ermittelt mit dem HDI-Verfahren, bei Verfahren der x-Achse und z-Achse des Sensors

OHD

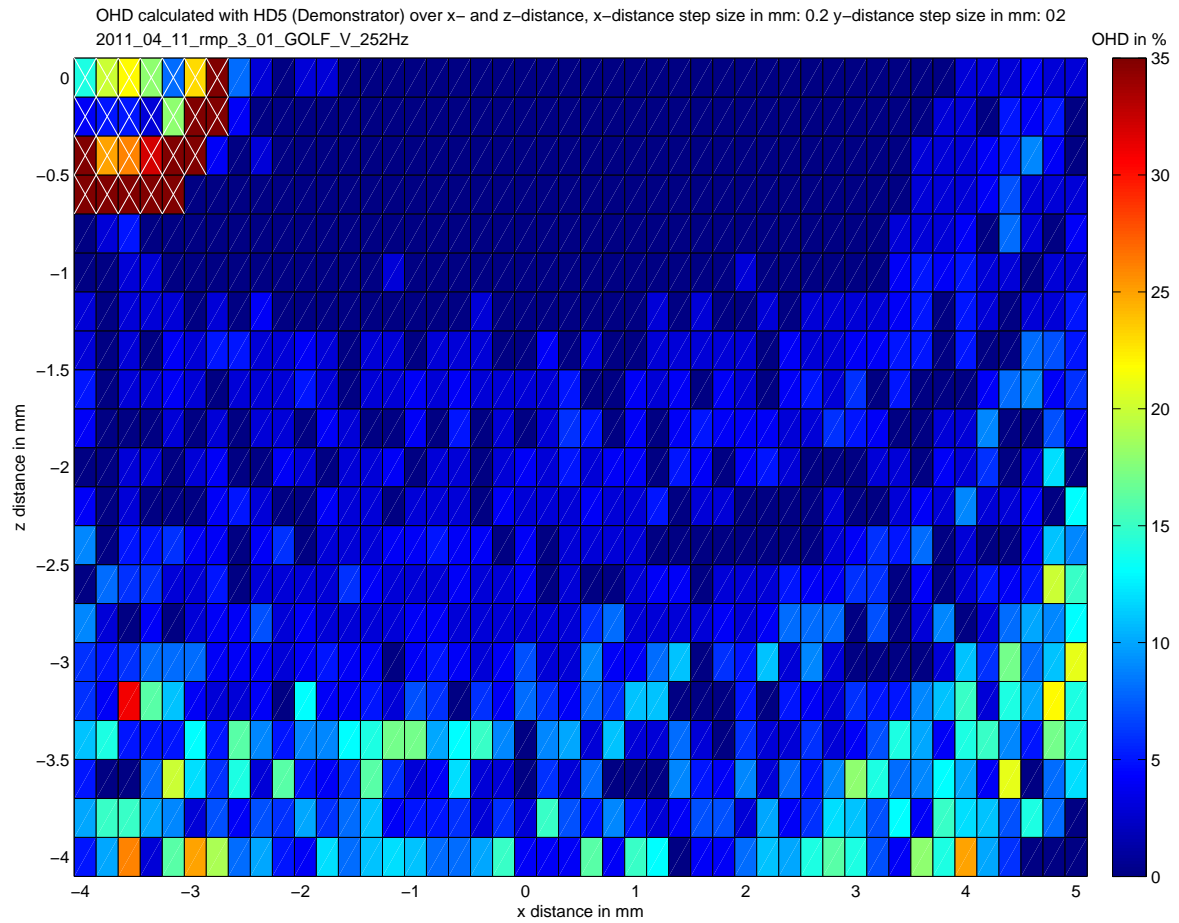


Abbildung 6.28.: OHD ermittelt mit dem HD5-Verfahren, bei Verfahren der x-Achse und z-Achse des Sensors

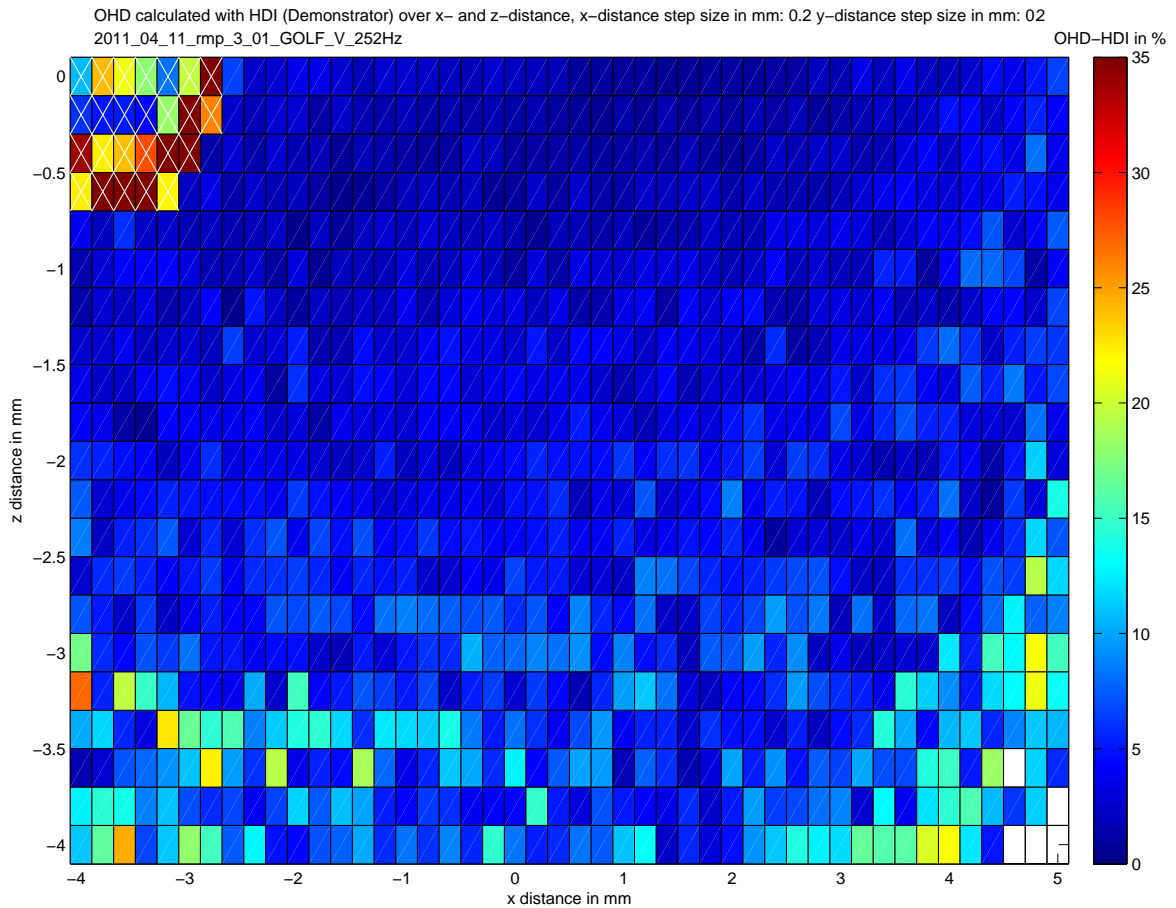


Abbildung 6.29.: OHD ermittelt mit dem HDI-Verfahren, bei Verfahren der x-Achse und z-Achse des Sensors

Sensorbrückenspannung

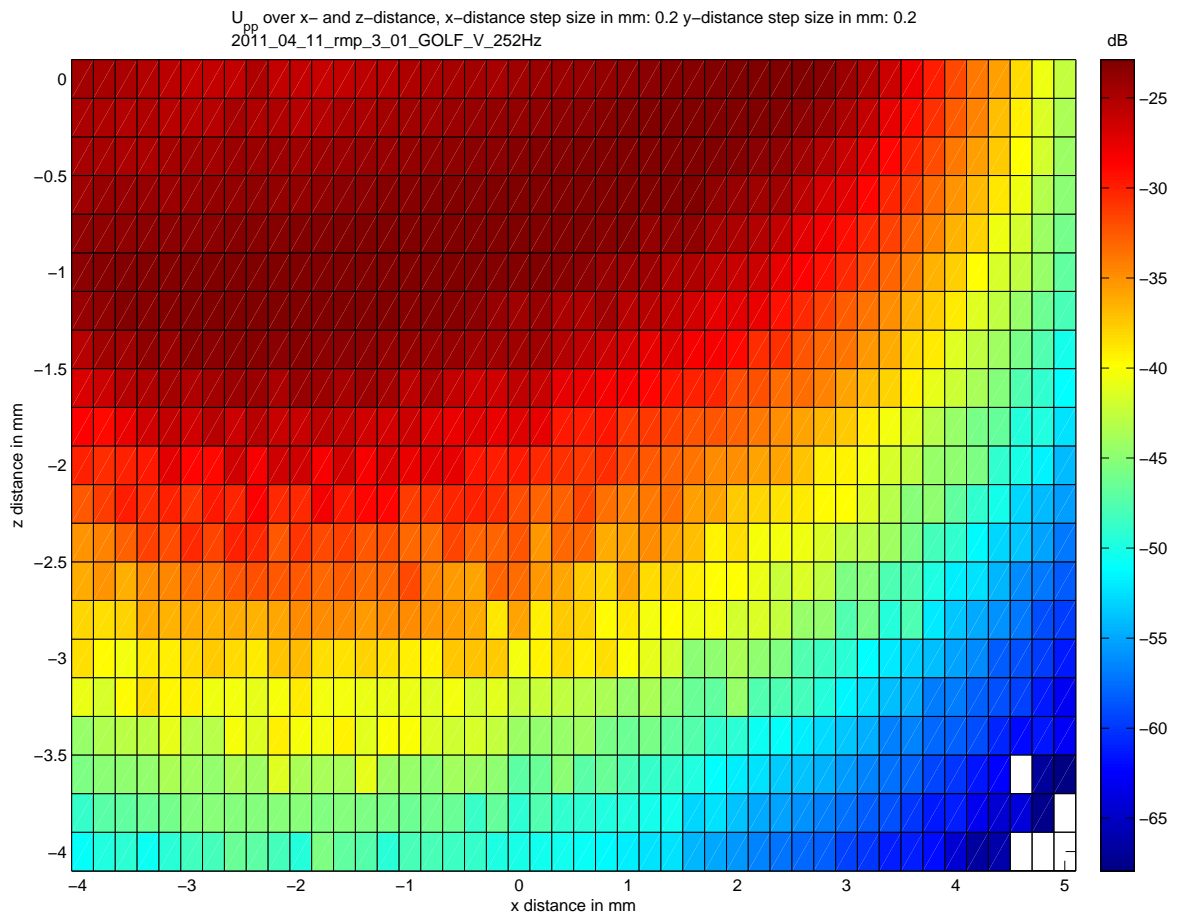


Abbildung 6.30.: Sensorbrückenspannung unverstärkt, bei Verfahren der x-Achse und z-Achse des Sensors

Offset

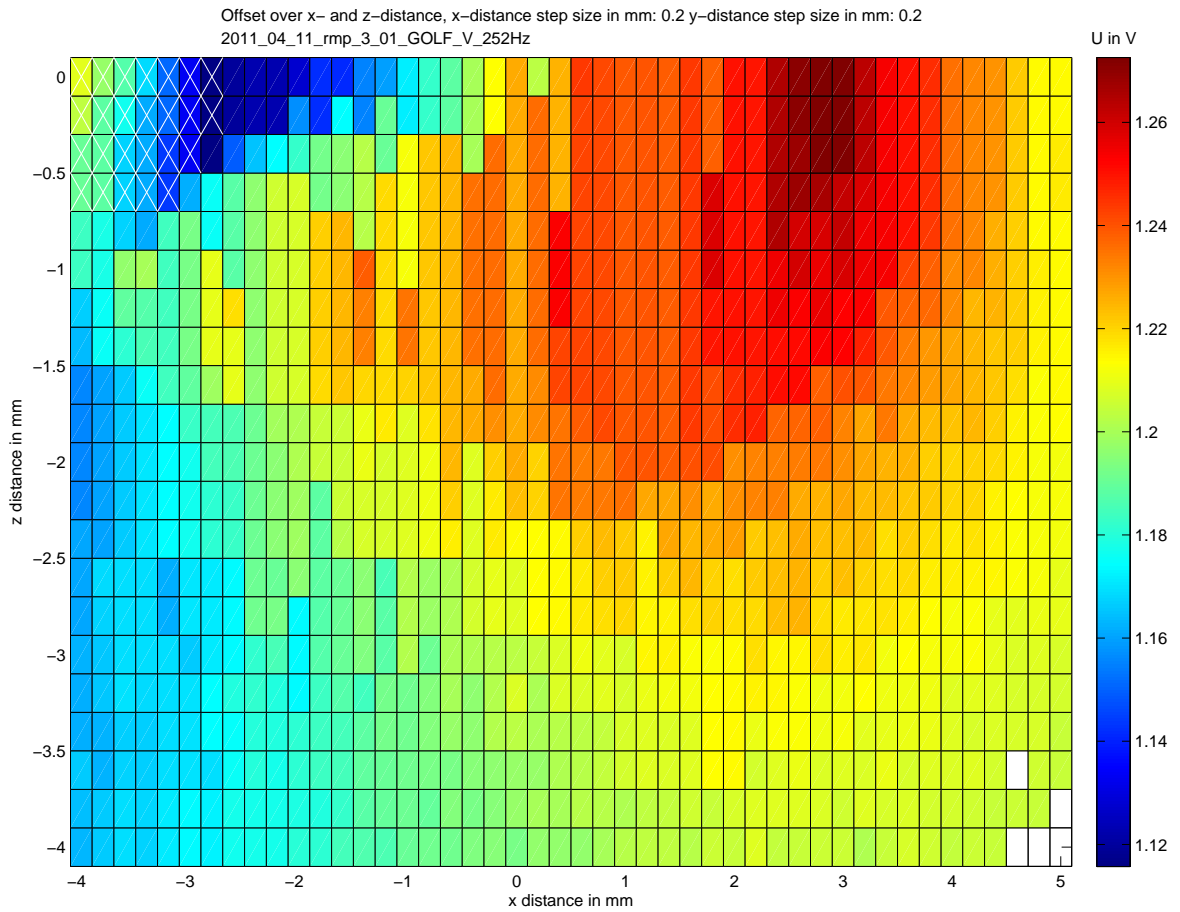


Abbildung 6.31.: Offset, bei Verfahren der x-Achse und z-Achse des Sensors

Verstärkung

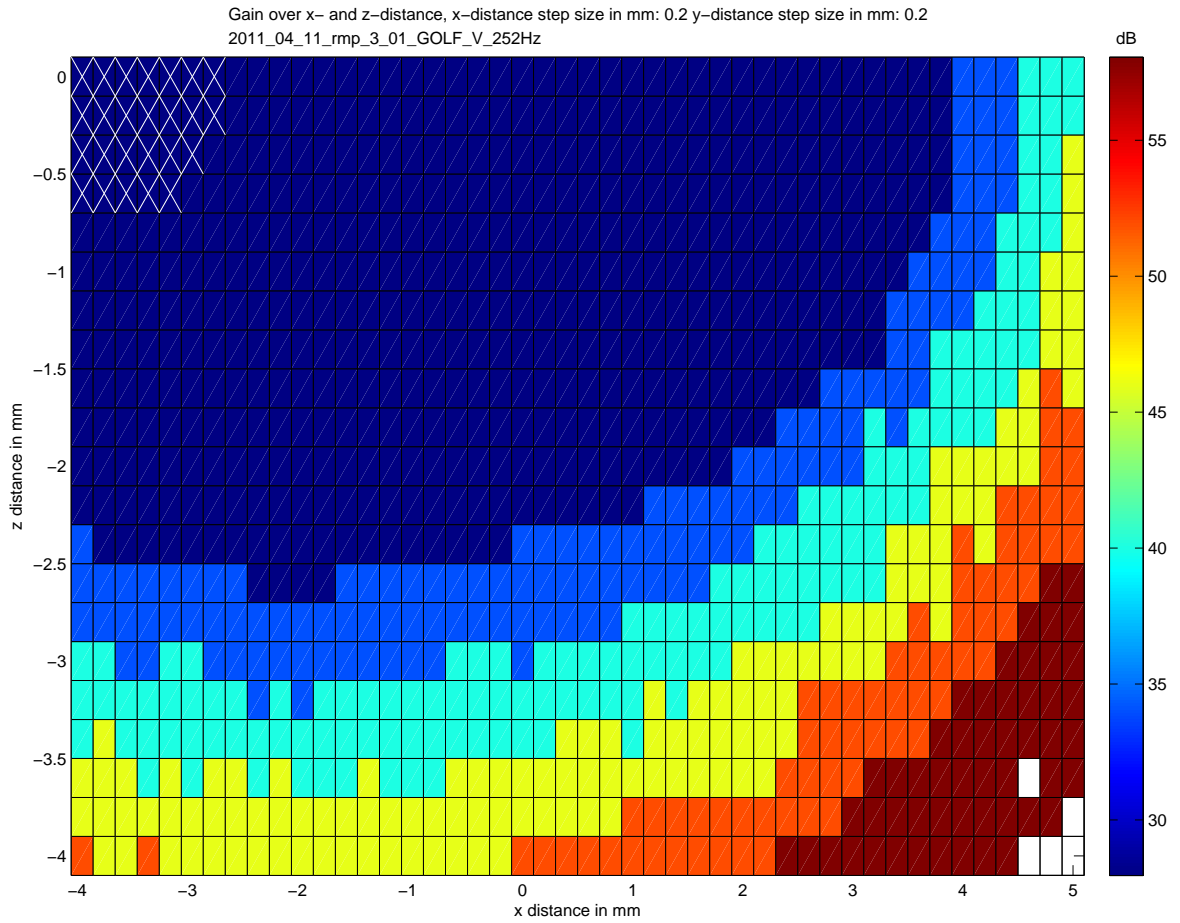


Abbildung 6.32.: Verstärkung, bei Verfahren der x-Achse und z-Achse des Sensors

7. Fazit und Ausblick

7.1. Fazit

Ein Schwerpunkt dieser Arbeit lag auf der Erkennung eines Sensorzustands, der durch Signalverzerrung zu zusätzlichen Nulldurchgängen führt, die von der Controllereinheit der Experimentalplattform als Verdopplung der Raddrehzahl interpretiert wird. In dieser Arbeit konnte mit wenigen Einschränkungen durch Einführung des neuen Indikators OHD diese Signalverzerrung erkannt werden. Eine Einschränkung betrifft den Fall, bei dem es innerhalb einer Radumdrehung nicht durchgängig zu zusätzlichen Nulldurchgängen führt. Dieser Fall konnte durch den anderen neu eingeführten Indikator DSC detektiert werden.

Eine andere Einschränkung betrifft den Fall, indem die durch Signalverzerrung zusätzlich ausgebildeten Halbwellen (siehe Abbildung 2.6) innerhalb einer Encoderinkrementierung, näherungsweise die gleiche Amplitude besitzen wie die anderen beiden Halbwellen. Dieser Fall konnte allerdings nur bei dem aktiven Encoderrad des Golf V beobachtet werden (siehe Abschnitt 6.2.1).

Es zeigte sich, dass der Klirrfaktor, berechnet durch die HDI-Methode ein guter Indikator zur Erkennung von Signalverzerrungen und Frequenzverdopplung ist. Allerdings differenziert er nicht zwischen diesen beiden Fällen.

Ein verzerrtes Sensorsignal bedeutet, dass entweder der ABS-Sensor aus der idealen Einbaulage geraten ist, Beschädigungen am Encoderrad vorliegen oder das Sensorsignal auf eine andere Weise gestört ist. Es ist somit zu empfehlen in einem solchen Fall das ABS-System abzuschalten und eine Warnleuchte im Fahrzeug zu aktivieren um auf das gestörte ABS-System hinzuweisen. Für einen solchen Anwendungsfall reicht es aus, den einen Indikator zu betrachten.

7.2. Ausblick

Der Klirrfaktor, berechnet durch die HDI-Methode, könnte der gesuchte universelle Indikator für die Qualität des Sensorsignals und damit für die Diagnose einer Störung des Sensors

sein. Vermutlich würde die HD5-Methode ein ähnliches Ergebnis liefern, wenn die der Klirrfaktorberechnung zugrunde liegenden Formel 3.4 abgewandelt wird. Dazu müssten nicht nur die geraden berechneten Harmonischen, sondern sämtliche Harmonische mit einbezogen werden. Dies könnte in zukünftigen Arbeiten untersucht werden.

Durch eine Chip-Implementierung könnten die Probleme, die bei einem Radunrundlauf auftreten, beseitigt werden. Ein solcher Chip könnte wesentlich schneller arbeiten und somit eventuell auf eine sequentielle Abtastung verzichten. Da anzunehmen ist, dass dieser Radunrundlauf und auch Fertigungsungenauigkeiten unter Realbedingungen im Fahrzeug den Normalfall darstellen ist es nötig, dass demgegenüber die Sensordiagnose in Maßen unempfindlich ist.

Literaturverzeichnis

- [1] Daimler AG. Requirement Specifications for Standardized Interface for Wheel Speed Sensors with Additional Information „AK-Protokoll“, Februar 2008.
- [2] R. Boll and K. J. Overshott. Magnetic Sensors. In W. Göpel, J. Hesse, and J. N. Zemel, editors, *Sensors a Comprehensive Survey*, volume 5. VCH, Weinheim, 1989. insb. Kap. 9 von U. Dibbern.
- [3] Wechselstromgrößen; Zweileiter-Stromkreise, 1994.
- [4] K. R. Fyfe and E. D. S. Munck. Analysis of Computed Order Tracking, 1997.
- [5] Kalin Ivanov. Fehlersichere Automatisierung eines Encoder-Messplatzes zur Untersuchung von ABS-Sensoren. laufende diplomarbeit, Hochschule für Angewandte Wissenschaften Hamburg.
- [6] Niels Jegenhorst. Entwicklung eines Controllersystems zur Zustandserkennung von ABS-Sensoren. Diplomarbeit, Hochschule für Angewandte Wissenschaften Hamburg, Oktober 2009.
- [7] R. Wirth K. Uchtmann. Maschinendiagnose an drehzahlveränderlichen Antrieben mittels Ordnungsanalyse, July 2001.
- [8] Lennart Koch. Aufwandsminimierte Schätzung von Harmonischen zur Zustandsbestimmung von ABS-Sensoren. Diplomarbeit, Hochschule für Angewandte Wissenschaften Hamburg, April 2010.
- [9] H. Lindner, H. Brauer, and C. Lehmann. *Taschenbuch der Elektrotechnik und Elektronik*. Fachbuchverlag, Leipzig, 8. aufl. edition, 2005.
- [10] Abdelkhalek Mahtouf. Messungen und Signalanalyse an einem magnetischen Sensor. Diplomarbeit, Hochschule für Angewandte Wissenschaften Hamburg, Dezember 2008.
- [11] Christian Schoermer. AMR-Messbrücken für ABS-Sensoren. Studienarbeit, Hochschule für Angewandte Wissenschaften Hamburg / NXP Semiconductors, März 2008.
- [12] Christian Schoermer. Automatisierter Radmessplatz für ABS-Sensoren mit aktiven und passiven Encodern verschiedener Automobil-Hersteller. Diplomarbeit, Hochschule für Angewandte Wissenschaften Hamburg, 2010.

- [13] Martin Stahl. Controllsystem zur Verstärkungsregelung und Offsetkompensation für ABS-Sensoren mit Diagnosefunktion. Bachelorarbeit, Hochschule für Angewandte Wissenschaften Hamburg, Februar 2010.

A. Anhang

A.1. Messungen

A.1.1. Abtastung

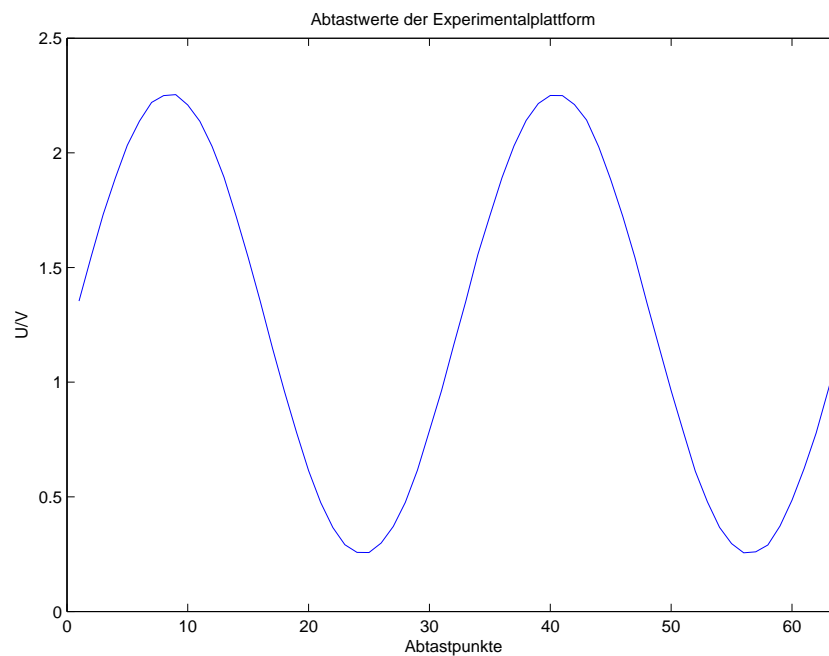


Abbildung A.1.: Abgetastetes Sinus-Signal bei 10Hz

A.1.2. Laufzeitmessung der HD5 und HDI Implementation

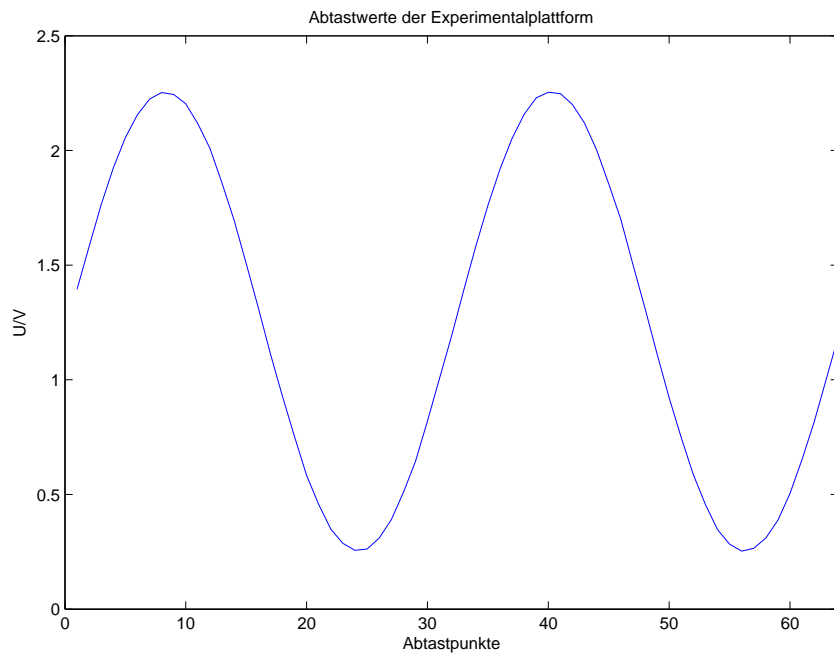


Abbildung A.2.: Abgetastetes Sinus-Signal bei 100Hz

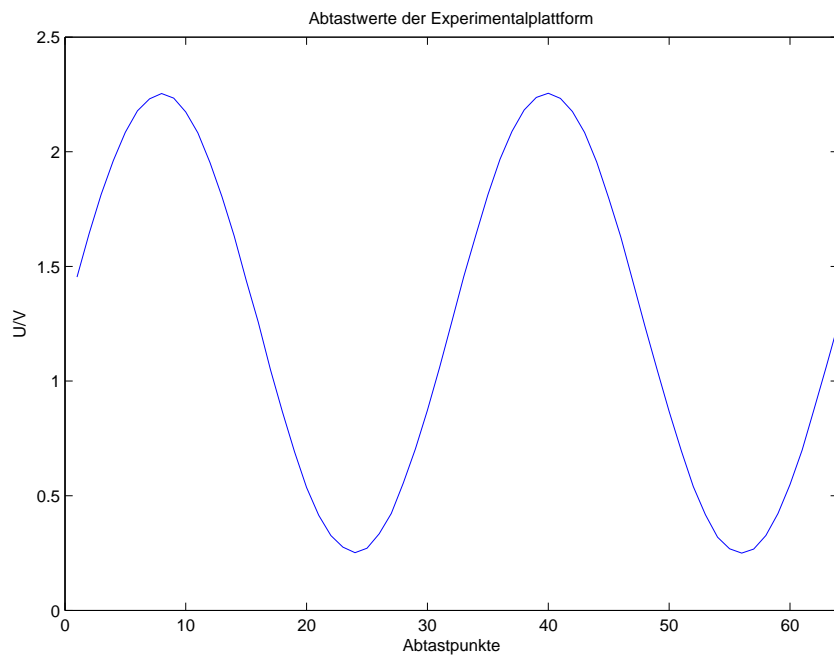


Abbildung A.3.: Abgetastetes Sinus-Signal bei 250Hz

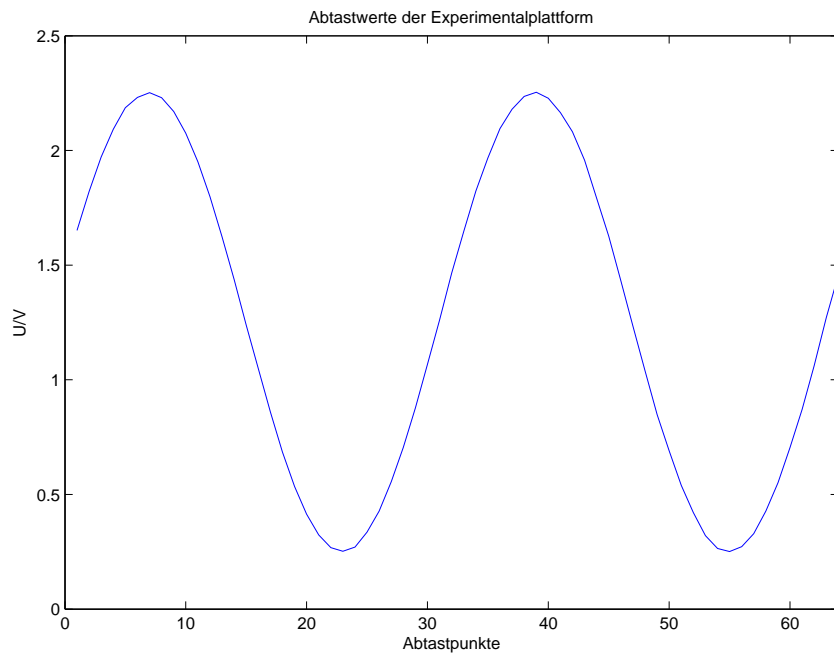


Abbildung A.4.: Abgetastetes Sinus-Signal bei 750Hz

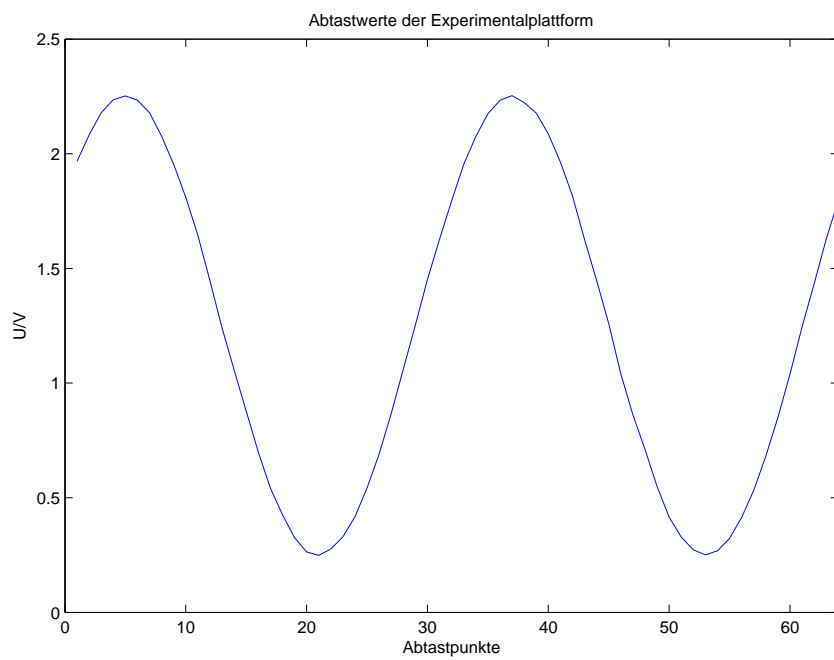


Abbildung A.5.: Abgetastetes Sinus-Signal bei 1500Hz

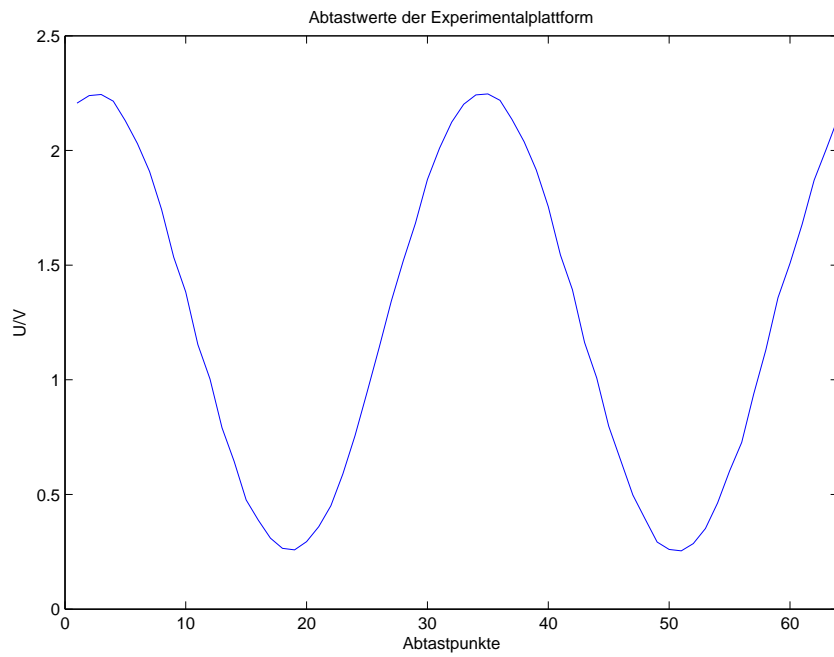


Abbildung A.6.: Abgetastetes Sinus-Signal bei 2500Hz

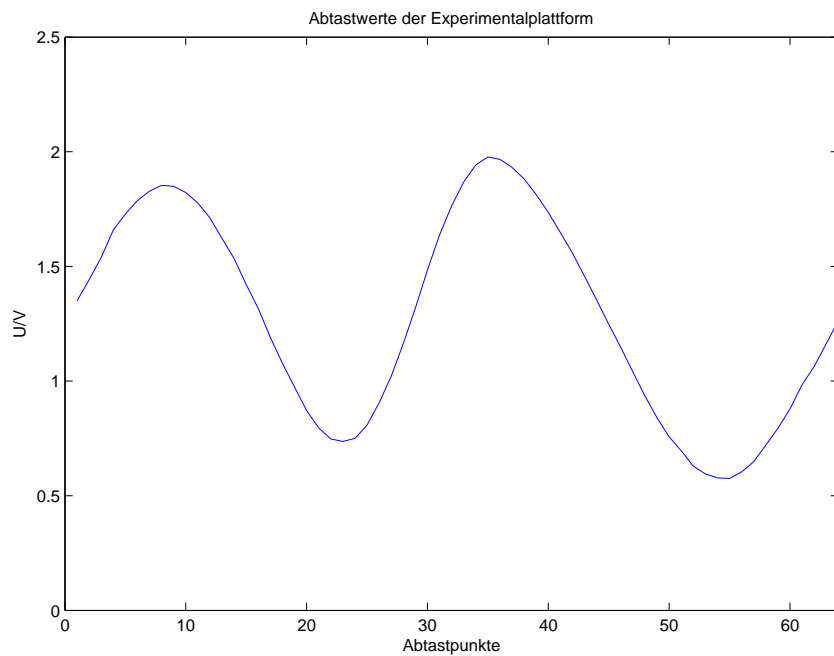


Abbildung A.7.: Abgetastetes Sensorsignal mit Frequenzverdopplung bei 10Hz

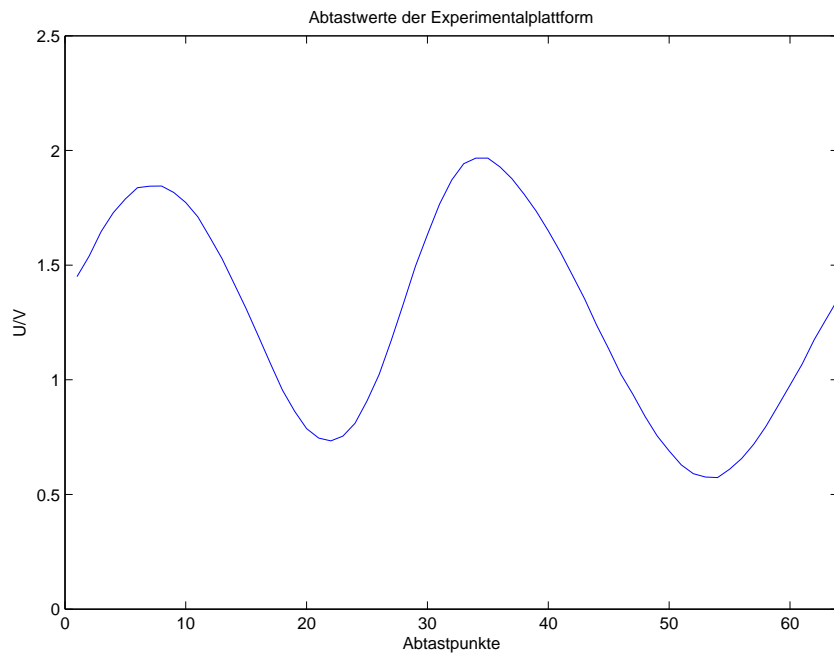


Abbildung A.8.: Abgetastetes Sensorsignal mit Frequenzverdopplung bei 250Hz

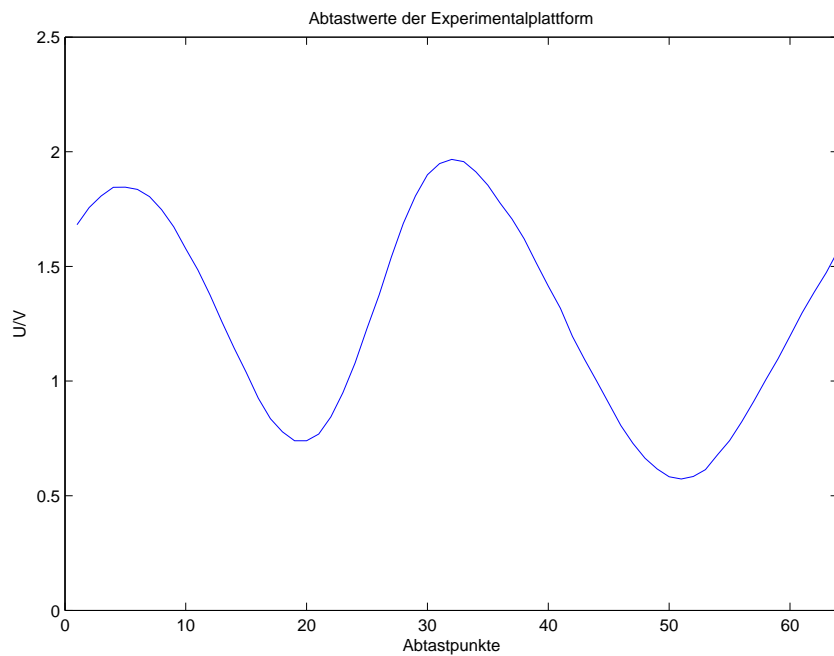


Abbildung A.9.: Abgetastetes Sensorsignal mit Frequenzverdopplung bei 750Hz

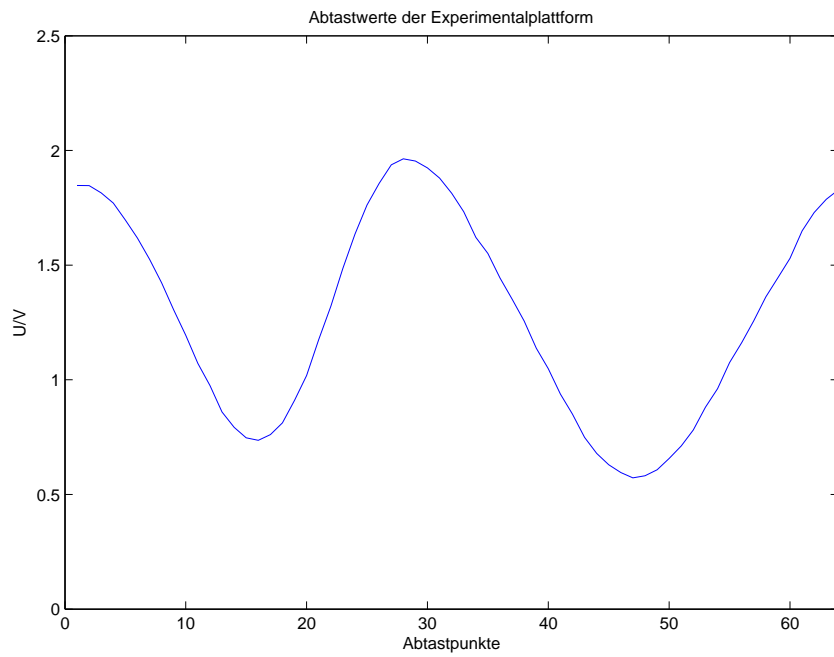


Abbildung A.10.: Abgetastetes Sensorsignal mit Frequenzverdopplung bei 1500Hz

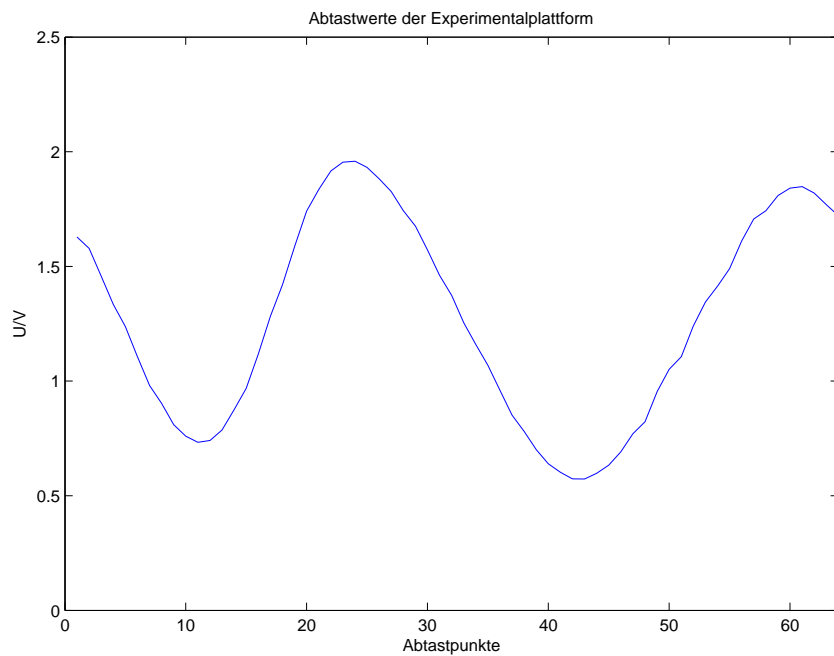


Abbildung A.11.: Abgetastetes Sensorsignal mit Frequenzverdopplung bei 2500Hz

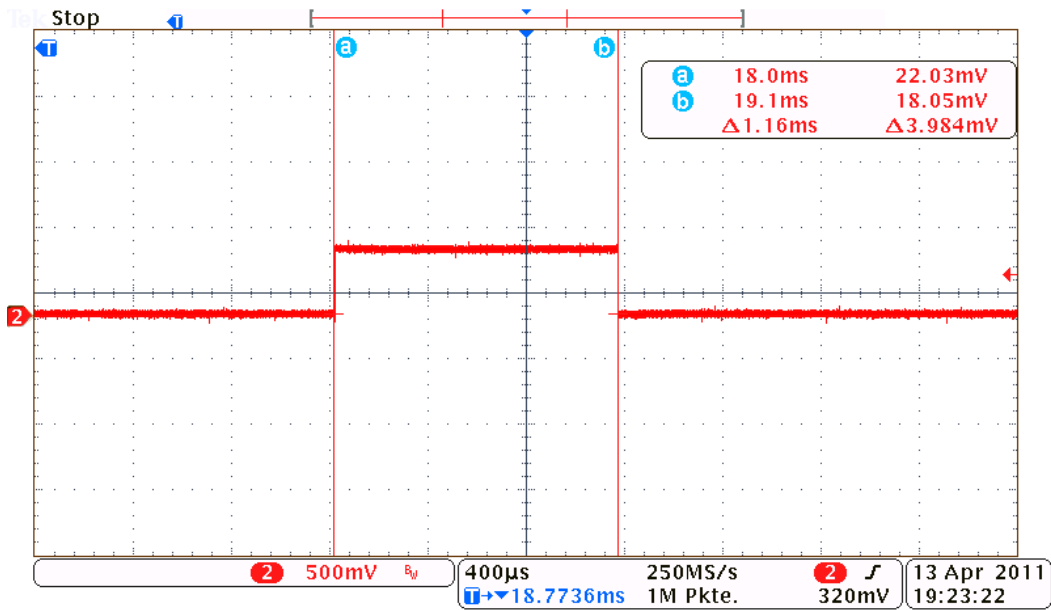


Abbildung A.12.: HD5: Verarbeitungszeit eines einzelnen Abtastwertes

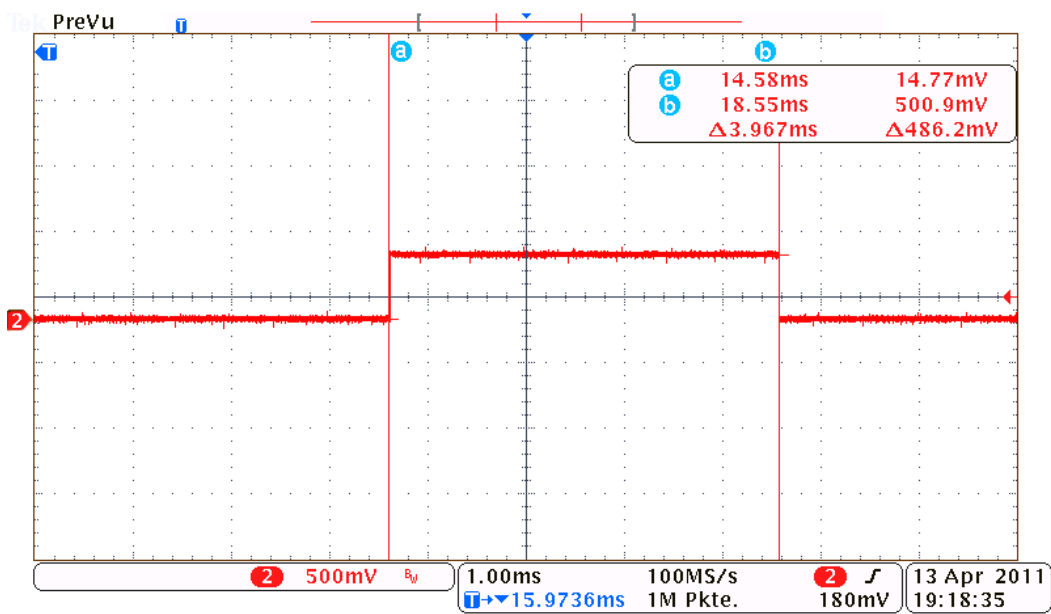


Abbildung A.13.: HD5: Berechnungszeit von Klirrfaktor und OHD aus sämtlichen Abtastwerten

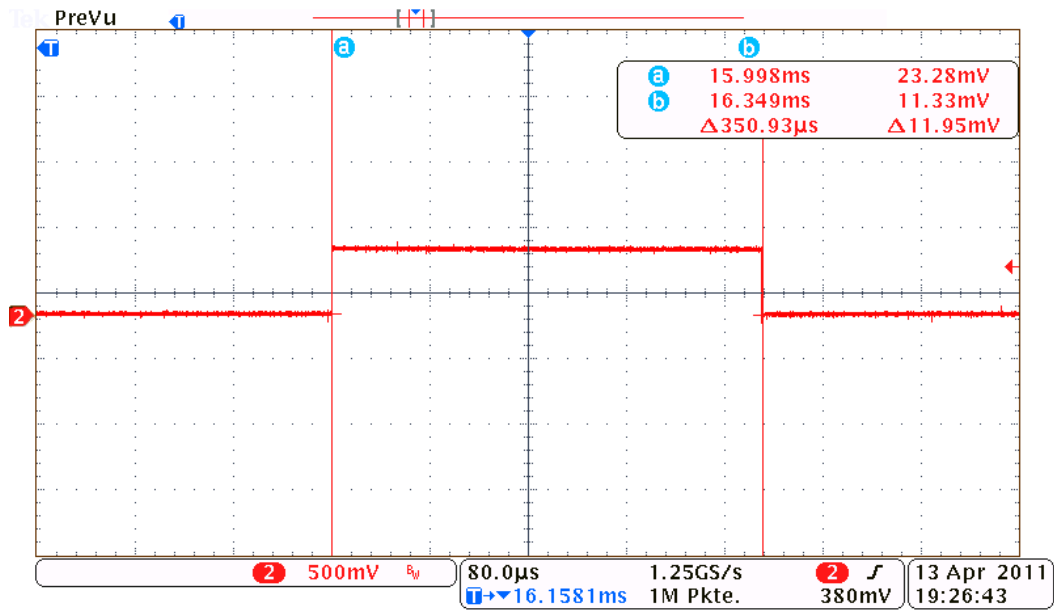


Abbildung A.14.: HDI: Verarbeitungszeit eines einzelnen Abtastwertes

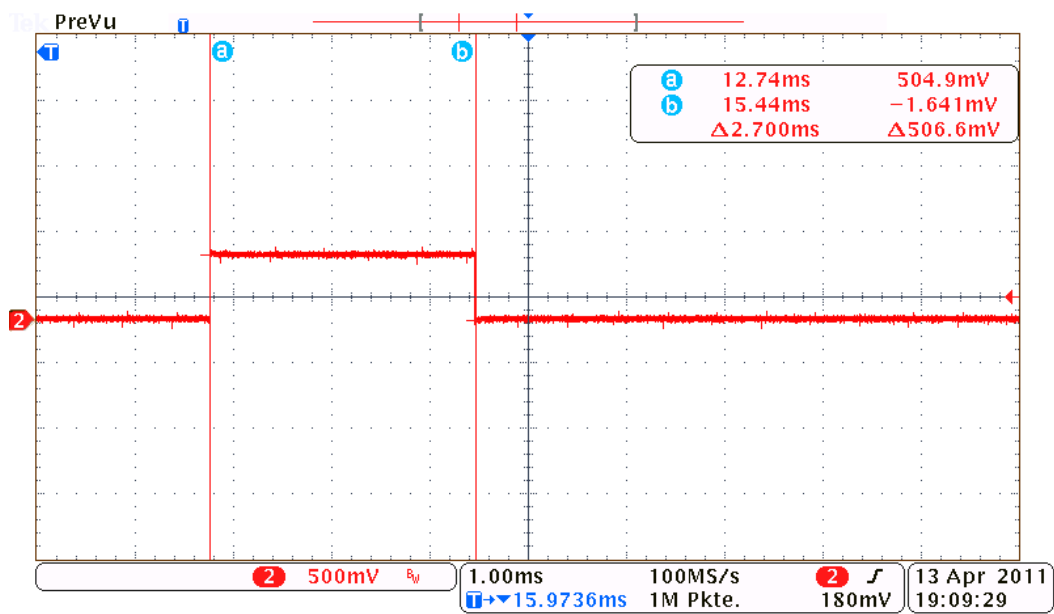


Abbildung A.15.: HDI: Berechnungszeit von Klirrfaktor und OHD aus sämtlichen Abtastwerten

A.2. Quelltexte

A.2.1. Matlab

Analyseskript

```
%  
  
2 % Programm zur Auswertung der aufgezeichneten Demoboard-Daten  
%  
4 % Version 1.0  
% Datei:      rmp_active_enc_stepper_demo_scope_record_analyse.m  
6 %  
  
%  
8 % erstellt von: Heiko Poppinga  
% erstellt am: 23.02.2010  
10 %  
% geändert von: Heiko Poppinga & Martin Krey  
12 %      15.04.2011  
% Änderungen: Einlesen der Daten, Darstellung, Speicherung der Plots,  
14 %      Speicherung der Verläufe in .mat File  
%  
  
16 %  
% Beschreibung: Aufgrund der Datenmenge werden mehrere mat-files  
%      eingelesen  
18 %      Dieses Skript eignet sich nur fuer Messreihen, mit  
%      Verfahren der x-Achse un Verkippung.  
20 %  
% Folgende Plots werden erstellt: Radarplots : HD, Gain, upeak  
22 %  
%  
  
24 %function rmp_active_enc_stepper_demo_scope_record_analyse(DirName)  
26 if ~exist('DirName', 'var')
```

```

28     disp( '— Start rmp_active_enc_stepper_demo_scope_record_analyse.m —'
        );
        % Workspace loeschen
30     clear all;
        % Verzeichnis zum Einlesen auswaehlen
32     DirName = uigetdir(pwd, 'Choose directory with data-files ');
        function_call=false;
34     else
        % script is called as funtion
36         function_call=true;
    end
38
    <<<<<<< .mine
40    PLOT_ALL = false;
    =====
42    plot_all = true;
    >>>>>>> .r1244
44    rmp = 2;
    list_of_files = what(DirName);
46    list_of_files.mat = sort(list_of_files.mat);

48    % nur Messdateien auswaehlen
    files = regexp(list_of_files.mat, '.*_part[0-9]+.rmp_3.mat', 'match');
50    files=[files{:}];
    files = sort(files);
52
    %% — Einlesen der Messdaten
    _____
54    k = 1;
    load(fullfile(list_of_files.path, files{1}), 'parameters');
56    if isfield(parameters, 'stepper')
        x_values = parameters.stepper.x.values;
58        y_values = parameters.stepper.y.values;
        phi_values = parameters.stepper.phi.values;
60    else
        rmp = 3;
62        %x-values
        x_values = parameters.measurement_parameter.x_min : ...
64                parameters.measurement_parameter.x_step : ...
                parameters.measurement_parameter.x_max;
66        % y-values
        y_values = parameters.measurement_parameter.y_min : ...
68                parameters.measurement_parameter.y_step : ...
                parameters.measurement_parameter.y_max;

```

```

70     % z-values
       z_values      = parameters.measurement_parameter.z_min : ...
72         parameters.measurement_parameter.z_step : ...
           parameters.measurement_parameter.z_max;
74     % phi_x-values
       phi_x_values = parameters.measurement_parameter.phi_x_min : ...
76         parameters.measurement_parameter.phi_x_step : ...
           parameters.measurement_parameter.phi_x_max;
78     % phi_y-values
       phi_y_values = parameters.measurement_parameter.phi_y_min : ...
80         parameters.measurement_parameter.phi_y_step : ...
           parameters.measurement_parameter.phi_y_max;
82     % phi_z-values
       phi_z_values = parameters.measurement_parameter.phi_z_min : ...
84         parameters.measurement_parameter.phi_z_step : ...
           parameters.measurement_parameter.phi_z_max;
86     end

88     demoAFG_file = regexp(list_of_files.mat, '.*demo_from_AFG.rmp_3.mat', '
       match');
       demoAFG_file=[demoAFG_file{:}];
90     if size(demoAFG_file,1)
           load(fullfile(list_of_files.path, demoAFG_file{1}), 'demoAFG');
92         isDemoAFG = true;
       else
94         isDemoAFG = false;
       end
96     isDemoAFG = false;

98     try
           if exist('scope_analysed', 'var')
100             load(fullfile(list_of_files.path, files{1}), 'scope_analysed');
               ANALYSED_SCOPE_APPEND= true;
102         else
               ANALYSED_SCOPE_APPEND = false;
104         end
       catch ME
106         ANALYSED_SCOPE_APPEND = false;
       end
108     analyse_file = regexp(list_of_files.mat, '.*scope_analysed.rmp_3.mat', '
       match');
       analyse_file=[analyse_file{:}];
110     if size(analyse_file,1)
           load(fullfile(list_of_files.path, analyse_file{1}), 'scope_analysed');

```

```

112 end
113 if exist('scope_analysed','var')
114     ANALYSED_SCOPE = true;
115 else
116     ANALYSED_SCOPE = false;
117 end
118 h = waitbar(0,'Please wait..., loading files');
119 for i=1:length(files);           % Dateien durchlaufen
120     waitbar(i / length(files));
121     load(fullfile(list_of_files.path, files{i}), 'demo');           %
122     % jeweilige Datei laden
123     if ANALYSED_SCOPE_APPEND
124         load(fullfile(list_of_files.path, files{i}), 'scope_analysed');
125     end
126
127                                     % einzelne Strukturen auslesen
128
129     for j=1:length(demo)
130         x(k)           = demo(j).x;
131         y(k)           = demo(j).y;
132         if rmp == 3
133             z(k)       = demo(j).z;
134             phi_x(k)   = demo(j).phi_x;
135             phi_y(k)   = demo(j).phi_y;
136             phi_z(k)   = demo(j).phi_z;
137             freq(k)    = demo(j).freq;
138         elseif rmp == 2
139             phi(k)     = demo(j).phi;
140             freq(k)    = demo(j).frequency;
141         end
142         gain(k)        = demo(j).gain;
143         offset(k)      = demo(j).offset;
144         harm_dist_lut(k) = demo(j).hd_lut;
145         sub_hd_lut(k)  = demo(j).sub_hd_lut;
146         harm_dist_abs(k) = demo(j).hd_abs;
147         magnitudes(k,:) = demo(j).mag(:,1);
148         magnitudes_v(k,:) = demo(j).mag_v(:,1); % in Volt
149         complex(k,:)   = demo(j).comp(:,1);
150         phases(k,:)    = demo(j).angle(:,1);
151         u_peak(k)      = demo(j).u_pp;           % in Volt
152         u_diff(k,:)    = demo(j).u_diff;        % in Volt
153         u_hb1(k,:)     = demo(j).u_hb1;
154         u_hb2(k,:)     = demo(j).u_hb2;

```

```

156     if ANALYSED_SCOPE_APPEND
157         scope_mag_u_diff(k,:) = scope_analysed(j).mag_u_diff;
158         scope_mag_u_hb1(k,:) = scope_analysed(j).mag_u_hb1;
159         scope_mag_u_hb2(k,:) = scope_analysed(j).mag_u_hb2;
160         scope_angle_u_diff(k,:) = scope_analysed(j).angle_u_diff;
161         scope_angle_u_hb1(k,:) = scope_analysed(j).angle_u_hb1;
162         scope_angle_u_hb2(k,:) = scope_analysed(j).angle_u_hb2;
163         scope_freq_u_diff(k,:) = scope_analysed(j).freq_u_diff;
164         scope_freq_u_hb1(k,:) = scope_analysed(j).freq_u_hb1;
165         scope_freq_u_hb2(k,:) = scope_analysed(j).freq_u_hb2;
166     elseif ANALYSED_SCOPE
167         scope_mag_u_diff(k,:) = scope_analysed(k).mag_u_diff;
168         scope_mag_u_hb1(k,:) = scope_analysed(k).mag_u_hb1;
169         scope_mag_u_hb2(k,:) = scope_analysed(k).mag_u_hb2;
170         scope_angle_u_diff(k,:) = scope_analysed(k).angle_u_diff;
171         scope_angle_u_hb1(k,:) = scope_analysed(k).angle_u_hb1;
172         scope_angle_u_hb2(k,:) = scope_analysed(k).angle_u_hb2;
173         scope_freq_u_diff(k,:) = scope_analysed(k).freq_u_diff;
174         scope_freq_u_hb1(k,:) = scope_analysed(k).freq_u_hb1;
175         scope_freq_u_hb2(k,:) = scope_analysed(k).freq_u_hb2;
176     end
177     if isDemoAFG && length(demoAFG) >= k
178         freqAFG(k) = demoAFG(k).frequency;
179         gainAFG(k) = demoAFG(k).gain;
180         offsetAFG(k) = demoAFG(k).offset;
181         harm_dist_lutAFG(k) = demoAFG(k).hd_lut;
182         sub_hd_lutAFG(k) = demoAFG(k).sub_hd_lut;
183         harm_dist_absAFG(k) = demoAFG(k).hd_abs;
184         u_peakAFG(k) = demoAFG(k).u_pp; % in Volt
185         u_diffAFG(k,:) = demoAFG(k).u_diff; % in Volt
186         u_hb1AFG(k,:) = demoAFG(k).u_br1;
187         u_hb2AFG(k,:) = demoAFG(k).u_br2;
188         discard_counter(k) = demoAFG(k).discard_counter;
189     end
190     k=k+1;
191 end
192     clear( 'demo' ); % cleanup workspace
193 end
194 close(h);
195 %% OHD Werte
196
197 for k =1 : size(u_diff ,1)

```

```

    [hdi_abs(k) o13hdi(k)]= hdi(u_diff(k,1:64) ./ 2.5 .* 2^12);
200 end

%%
202 if (max(gain) < 8)
204     gaindb = 20*(log10(2.^gain*25));
    u_p_real = double(u_peak) ./ (double(2.^gain).*25); %
        Verstaerkungsfaktoren herausrechnen
206 else
    gaindb = 20*(log10(gain*25));
208     u_p_real = double(u_peak) ./ (double(gain).*25); %
        Verstaerkungsfaktoren herausrechnen
    end

210 u_p_real_dB = 20*(log10(u_p_real));

212 u_p_real = u_p_real .* 1000;           %auf mV skalieren
214 %%
    medianFreq = median(freq); %Median der Frequenz bilden
216 %HD berechnen, bei Frequenzverdopplung
    %Index der Messerwerte, an den Frequenzverdopplung auftrat
218 %ermitteln (Frequenz > Median der Frequenz + 6% )
    indexOfDoubleFrequency = freq >= medianFreq + medianFreq * 0.06;
220 if isDemoAFG
        medianFreqAFG = median(freqAFG(z>-1));
222     indexOfDoubleFrequencyAFG = freqAFG >= medianFreqAFG + medianFreqAFG
        *0.06;
    end

224 MAX_HARM = length(magnitudes(1,:)); %Wieviele Harmonische wurden
    aufgenommen?

226 %% HDs von Scopedaten
    if ANALYSED_SCOPE
228         if (scope_freq_u_diff(1,1) < medianFreq/2 + medianFreq/10)
            hd_scope_u_diff = calc_hd(scope_mag_u_diff(:,2:2:end));
230             %ohd_scope_u_diff = calc_ohd(scope_mag_u_diff(:,1:end));
        else
232             hd_scope_u_diff = calc_hd(scope_mag_u_diff(:,1:end));
        end

234         if (scope_freq_u_hb1(1,1) < medianFreq/2 + medianFreq/10)
236             hd_scope_u_hb1 = calc_hd(scope_mag_u_hb1(:,2:2:end));
        else
238             hd_scope_u_hb1 = calc_hd(scope_mag_u_hb1(:,1:end));
        end
    end

```

```

240     end
241     if (scope_freq_u_hb2(1,1) < medianFreq/2 + medianFreq/10)
242         hd_scope_u_hb2 = calc_hd(scope_mag_u_hb2(:,2:2:end));
243     else
244         hd_scope_u_hb2 = calc_hd(scope_mag_u_hb1(:,1:end));
245     end
246 end
247 %% RMP 2 oder 3 haben unterschiedliche Linear- und Kippachsendefinitionen
248 if rmp == 3
249
250     active_lin_axes = [length(x_values) length(y_values) length(z_values)
251                       ] > 1;
252     active_tilt_axes = [length(phi_x_values) length(phi_y_values) length(
253                         phi_z_values)] > 1;
254
255     active_lin_axes_name = char(active_lin_axes .* ['x' 'y' 'z']);
256     active_lin_axes_name = active_lin_axes_name(active_lin_axes_name > 0);
257
258     active_tilt_axes_name = char(active_tilt_axes .* ['x' 'y' 'z']);
259     active_tilt_axes_name = active_tilt_axes_name(active_tilt_axes_name
260                                                    > 0);
261
262     switch sum(active_lin_axes)*10+sum(active_tilt_axes) % convert to
263           decimal
264     case 11
265         disp('1 lin 1 tilt');
266         plot_handle=@radar_plot;
267         axis1 = eval(active_lin_axes_name(1));
268         axis2 = eval(['phi_' active_tilt_axes_name(1)]);
269         axis1_label = [active_lin_axes_name(1) ' distance in mm'];
270         axis2_label = ['phi_' active_tilt_axes_name(1) ' angle in
271                       degree'];
272         activate_zoom = true;
273     case 20
274         disp('2 lin');
275         plot_handle=@rect_plot;
276         axis1 = eval(active_lin_axes_name(1));
277         axis2 = eval(active_lin_axes_name(2));
278         axis1_label = [active_lin_axes_name(1) ' distance in mm'];
279         axis2_label = [active_lin_axes_name(2) ' distance in mm'];
280         activate_zoom = false;
281     case 02
282         disp('2 tilt');
283         plot_handle=@rect_plot;

```

```

278     axis1 = eval(['phi_' active_tilt_axes_name(1)]);
279     axis2 = eval(['phi_' active_tilt_axes_name(2)]);
280     axis1_label = ['phi_' active_tilt_axes_name(1) ' angle in
281                   degree'];
281     axis2_label = ['phi_' active_tilt_axes_name(2) ' angle in
282                   degree'];
282     activate_zoom = false;
283     otherwise
284         disp('more/less than 2 axes activated');
285         return;
286     end
287
288 else
289     axis2 = phi;
290     axis2_label = 'phi angle in degree';
291     axis1 = x;
292     axis1_label = 'x distance in mm';
293 end
294
295 if activate_zoom == false
296     indexOfDoubleFrequencyWithoutZoom=indexOfDoubleFrequency;
297 else
298     indexOfDoubleFrequencyWithoutZoom=zeros(size(indexOfDoubleFrequency))
299     >0;
300 end
301
302 if plot_all || function_call
303
304     %% HD-Abs Plot mit Werten der Experimentalplattform
305     plot_handle(axis1,axis2,harm_dist_abs,'mark',
306               indexOfDoubleFrequencyWithoutZoom,...
307               'figure name','HD-Abs(Demonstrator)-Plot','plot title','HD
308               calculated with HD5 (Demonstrator)',...
309               'colorbar title','k in %','filename','HD_HD5_Abs_Demo_plot','plot
310               format',...
311               'A4L','caxis',[0 35],'y label',axis1_label,'x label',...
312               axis2_label,'marker color',[1 1 1],'dirname',DirName, ...
313               'double_click_plot_sig', u_diff);
314     %% HD-Abs Plot mit Werten der Experimentalplattform – gezoomt
315     if activate_zoom
316         plot_handle(axis1(axis1 >-1),axis2(axis1 >-1),harm_dist_abs(axis1
317 >-1),'mark',indexOfDoubleFrequency(axis1 >-1),...
318                 'figure name','HD-Abs(Demonstrator)-Plot','plot title','HD
319                 calculated with HD5 (Demonstrator)',...

```

```

314         'colorbar title', 'k in %', 'filename', '
           HD_HD5_Abs_Demo_zoom_plot', 'plot format', ...
           'A4L', 'caxis', [0 35], 'y label', axis1_label, 'x label', ...
316         axis2_label, 'marker color', [1 1 1], 'dirname', DirName, ...
           'double_click_plot_sig', u_diff);
318     end
           %% HD mit HDI berechnet mit Abtastwerten der Experimentalplattform
320     plot_handle(axis1, axis2, hdi_abs, 'mark',
           indexOfDoubleFrequencyWithoutZoom, ...
           'figure name', 'HD-Abs-Plot-mit-HDI', 'plot title', 'HD calculated
           with HDI', ...
322     'colorbar title', 'k in %', 'filename', 'HD_HDI_Abs_Demo_plot', 'plot
           format', ...
           'A4L', 'caxis', [0 35], 'y label', axis1_label, 'x label', ...
324     axis2_label, 'marker color', [1 1 1], 'dirname', DirName, ...
           'double_click_plot_sig', u_diff);
326     %% HD mit HDI berechnet mit Abtastwerten der Experimentalplattform –
           gezoomt
           if activate_zoom
328         plot_handle(axis1(axis1 >-1), axis2(axis1 >-1), hdi_abs(axis1 >-1),
           'mark', indexOfDoubleFrequency(axis1 >-1), ...
           'figure name', 'HD-Abs-Plot-mit-HDI', 'plot title', 'HD
           calculated with HDI', ...
330         'colorbar title', 'k in %', 'filename', '
           HD_HDI_Abs_Demo_zoom_plot', 'plot format', ...
           'A4L', 'caxis', [0 35], 'y label', axis1_label, 'x label', ...
332         axis2_label, 'marker color', [1 1 1], 'dirname', DirName, ...
           'double_click_plot_sig', u_diff);
334     end
           %% HD mit Scopedaten
336     if ANALYSED_SCOPE
           plot_handle(axis1, axis2, hd_scope_u_diff, 'mark',
           indexOfDoubleFrequencyWithoutZoom, ...
338         'figure name', 'HD-Scope_U_diff-Plot', 'plot title', 'HD of
           Scope-U_{diff}-Signal', ...
           'colorbar title', 'k in %', 'filename', 'HD_Scope_plot', 'plot
           format', ...
340         'A4L', 'caxis', [0 35], 'y label', axis1_label, 'x label', ...
           axis2_label, 'marker color', [1 1 1], 'dirname', DirName);
342     end
           %% HD mit Scopedaten –gezoomt
344     if ANALYSED_SCOPE && activate_zoom
           plot_handle(axis1(axis1 >-1), axis2(axis1 >-1), hd_scope_u_diff(
           axis1 >-1), 'mark', indexOfDoubleFrequency(axis1 >-1), ...

```

```

346         'figure name', 'HD-Scope_U_diff-Plot', 'plot title', 'HD of
           Scope-U_{diff}-Signal', ...
           'colorbar title', 'k in %', 'filename', 'HD_Scope_zoom_plot', '
           plot format', ...
348         'A4L', 'caxis', [0 35], 'y label', axis1_label, 'x label', ...
           axis2_label, 'marker color', [1 1 1], 'dirname', DirName);
350     end
    %% OHD-Lut mit HD5 von der Experimentalplattform
352     plot_handle(axis1, axis2, sub_hd_lut, 'mark',
           indexOfDoubleFrequencyWithoutZoom, ...
           'figure name', 'OHD-HD5-LUT(Demonstrator)-Plot', 'plot title', 'OHD
           calculated with HD5 (Demonstrator)', ...
354     'colorbar title', 'OHD in %', 'filename', 'OHD_HD5_Demo_plot', 'plot
           format', ...
           'A4L', 'caxis', [0 35], 'y label', axis1_label, 'x label', ...
356     axis2_label, 'marker color', [1 1 1], 'dirname', DirName, ...
           'double_click_plot_sig', u_diff);
358     %% OHD-Lut mit HD5 von der Experimentalplattform – gezoomt
    if activate_zoom
360     plot_handle(axis1(axis1 >-1), axis2(axis1 >-1), sub_hd_lut(axis1 >-1), '
           mark', indexOfDoubleFrequency(axis1 >-1), ...
           'figure name', 'OHD-HD5-LUT(Demonstrator)-Plot', 'plot title', 'OHD
           calculated with HD5 (Demonstrator)', ...
362     'colorbar title', 'OHD in %', 'filename', 'OHD_HD5_Demo_zoom_plot', '
           plot format', ...
           'A4L', 'caxis', [0 35], 'y label', axis1_label, 'x label', ...
364     axis2_label, 'marker color', [1 1 1], 'dirname', DirName, ...
           'double_click_plot_sig', u_diff);
366     end
    %% OHD-Lut mit HDI von der mti Abtastwerten der
           Experimentalplattform
368     plot_handle(axis1, axis2, o13hdi, 'mark',
           indexOfDoubleFrequencyWithoutZoom, ...
           'figure name', 'OHD-HDI', 'plot title', 'OHD calculated with HDI (
           Demonstrator)', ...
370     'colorbar title', 'OHD-HDI in %', 'filename', 'OHD_HDI_plot', 'plot
           format', ...
           'A4L', 'caxis', [0 35], 'y label', axis1_label, 'x label', ...
372     axis2_label, 'marker color', [1 1 1], 'dirname', DirName);
    %% OHD-Lut mit HDI von der mti Abtastwerten der
           Experimentalplattform – gezoomt
374     if activate_zoom
           plot_handle(axis1(axis1 >-1), axis2(axis1 >-1), o13hdi(axis1 >-1), 'mark
           ', indexOfDoubleFrequency(axis1 >-1), ...

```

```

376     'figure name', 'OHD-HDI', 'plot title', 'OHD calculated with HDI (
        Demonstrator)', ...
        'colorbar title', 'OHD-HDI in %', 'filename', 'OHD_HDI_plot_zoom', '
        plot format', ...
378     'A4L', 'caxis', [0 35], 'y label', axis1_label, 'x label', ...
        axis2_label, 'marker color', [1 1 1], 'dirname', DirName);
380     end

382     %% Upeak Plot_Log
        plot_handle(axis1, axis2, u_p_real_dB, ...
384         'figure name', 'U-Peak-dB-Plot', 'plot title', 'U_{pp}', ...
        'colorbar title', 'dB', 'filename', 'U-Peak_dB_plot', 'plot format'
        , ...
386         'A4L', 'caxis', [], 'y label', axis1_label, 'x label', ...
        axis2_label, 'marker color', [1 1 1], 'dirname', DirName, ...
388         'double_click_plot_sig', u_diff);
        %% Gain Plot
390     plot_handle(axis1, axis2, gaindb, 'mark', indexofDoubleFrequency, ...
        'figure name', 'Gain-Plot', 'plot title', 'Gain', ...
392         'colorbar title', 'dB', 'filename', 'Gain_plot_db', 'plot format', ...
        'A4L', 'caxis', [], 'y label', axis1_label, 'x label', ...
394         axis2_label, 'marker color', [1 1 1], 'dirname', DirName);
        %% Offset Plot
396     plot_handle(axis1, axis2, 2.5/2^12*offset, 'mark',
        indexofDoubleFrequencyWithoutZoom, ...
        'figure name', 'Offset-Plot', 'plot title', 'Offset', ...
398         'colorbar title', 'U in V', 'filename', 'Offset_plot', 'plot format'
        , ...
        'A4L', 'caxis', [], 'y label', axis1_label, 'x label', ...
400         axis2_label, 'marker color', [1 1 1], 'dirname', DirName);

402     %% Offset Plot – gezoomt
        if activate_zoom
404         plot_handle(axis1(axis1 >-1), axis2(axis1 >-1), 2.5/2^12*offset(
            axis1 >-1), 'mark', indexofDoubleFrequency(axis1 >-1), ...
            'figure name', 'Offset-zoom-Plot', 'plot title', 'Offset-zoom'
            , ...
406             'colorbar title', 'U in V', 'filename', 'Offset_plot_zoom', 'plot
            format', ...
            'A4L', 'caxis', [], 'y label', axis1_label, 'x label', ...
408             axis2_label, 'marker color', [1 1 1], 'dirname', DirName);
        end

410     %% Discard Counter Plot, gezoomt

```

```

412     if isDemoAFG && activate_zoom
plot_handle(axis1(z > -1),axis2(z > -1),discard_counter(z > -1),'mark
',indexOfDoubleFrequencyAFG(z > -1),...
414         'figure name','DSC-Plot','plot title','Discard Counter',...
        'colorbar title','Anzahl','filename','DSC_Demo_plot','plot
        format',...
416         'A4L','caxis',[],'y label',axis1_label,'x label',...
axis2_label,'marker color',[1 1 1],'dirname',DirName, ...
418         'double_click_plot_sig', u_diffAFG);
end
420
421     %% HD Plot mit HDI und LUT, von Experimentalplattform, gezoomt
422     if isDemoAFG && activate_zoom
        plot_handle(axis1(z > -1),axis2(z > -1),harm_dist_lutAFG(z > -1)
        , 'mark',indexOfDoubleFrequencyAFG(z > -1),...
424         'figure name','HD-HDI-LUT(Demonstrator)-Plot','plot title','
        HD calculated with HDI(Demonstrator)',...
        'colorbar title','OHD in %','filename','
        HD_HDI_LUT_Demo_zoom_plot','plot format',...
426         'A4L','caxis',[0 35],'y label',axis1_label,'x label',...
axis2_label,'marker color',[1 1 1],'dirname',DirName, ...
428         'double_click_plot_sig', u_diff);
end
430
431     %% OHD Plot mit HDI und LUT, von Experimentalplattform, gezoomt
432     if isDemoAFG && activate_zoom
        plot_handle(axis1(z > -1),axis2(z > -1),sub_hd_lutAFG(z > -1),
        'mark',indexOfDoubleFrequencyAFG(z > -1),...
434         'figure name','OHD-HDI-LUT-Zoom-Plot','plot title','OHD-LUT
        calculated with HDI(Demonstrator)',...
        'colorbar title','OHD in %','filename','OHD_HDI_LUT_plot_zoom
        ', 'plot format',...
436         'A4L','caxis',[0 45],'y label',axis1_label,'x label',...
axis2_label,'marker color',[1 1 1],'dirname',DirName, ...
438         'double_click_plot_sig', u_diff);
end
440
end
442
if function_call
444     close all;
end

```



```

41         'mag_u_hb2',    {}, ...
42         'angle_u_diff', {}, ...
43         'angle_u_u_hb1', {}, ...
44         'angle_u_hb2',  {}, ...
45         'freq_u_diff',  {}, ...
46         'freq_u_hb1',   {}, ...
47         'freq_u_hb2',   {} );

48     disp(['loading ' files{i}]);
49     load( fullfile(list_of_files.path, files{i}), 'scope'); %
        jeweilige Datei laden
50     for j=1:length(scope)
51         res_u_diff = NaN(3,length(0.5*(1:HARM*2)));
52         res_u_hb1 = NaN(3,length(0.5*(1:HARM*2)));
53         res_u_hb2 = NaN(3,length(0.5*(1:HARM*2)));

54         try
55             res_u_diff = harmonics(scope(j).u_diff, fs, 0.5*(1:HARM*2), '
                freq', tooth_frequency, ...
56                 'fundamental_tolerance', FUND_TOLERANCE, ...
57                 'tolerance', HARM_TOLERANCE);
58         catch e1
59             warning(['while executing harmonics on u_diff @ ' num2str(
                j)]);
60         end

61         try
62             res_u_hb1 = harmonics(scope(j).u_hb1, fs, 0.5*(1:HARM*2), 'freq'
                , tooth_frequency, ...
63                 'fundamental_tolerance', FUND_TOLERANCE, ...
64                 'tolerance', HARM_TOLERANCE);
65         catch e2
66             warning(['while executing harmonics on u_hb1 @ ' num2str(
                j)]);
67         end

68         try
69             res_u_hb2 = harmonics(scope(j).u_hb2, fs, 0.5*(1:HARM*2), 'freq'
                , tooth_frequency, ...
70                 'fundamental_tolerance', FUND_TOLERANCE, ...
71                 'tolerance', HARM_TOLERANCE);
72         catch e3
73             warning(['while executing harmonics on u_hb2 @ ' num2str(
                j)]);
74         end
75     end

```

```

77         end
79         scope_analysed(j).x = scope(j).x;
80         scope_analysed(j).y = scope(j).y;
81         if (RMP == 3)
82             scope_analysed(j).z = scope(j).z;
83             scope_analysed(j).phi_x = scope(j).phi_x;
84             scope_analysed(j).phi_y = scope(j).phi_y;
85             scope_analysed(j).phi_z = scope(j).phi_z;
86         else
87             scope_analysed(j).phi = scope(j).phi;
88         end
89         scope_analysed(j).mag_u_diff = res_u_diff(1,:);
90         scope_analysed(j).mag_u_hb1 = res_u_hb1(1,:);
91         scope_analysed(j).mag_u_hb2 = res_u_hb2(1,:);
92         scope_analysed(j).angle_u_diff = res_u_diff(2,:);
93         scope_analysed(j).angle_u_hb1 = res_u_hb1(2,:);
94         scope_analysed(j).angle_u_hb2 = res_u_hb2(2,:);
95         scope_analysed(j).freq_u_diff = res_u_diff(3,:);
96         scope_analysed(j).freq_u_hb1 = res_u_hb1(3,:);
97         scope_analysed(j).freq_u_hb2 = res_u_hb2(3,:);
98     end
99
100     if ~isempty(scope_analysed)
101         scope_analysed_buff = [scope_analysed_buff scope_analysed];
102     end
103     end
104
105     scope_analysed = scope_analysed_buff;
106
107     disp(['saving ' filename]);
108     save( fullfile(list_of_files.path, filename), 'scope_analysed');
109
110 end

```

Skript zur Berechnung von Harmonischen

```

%#HARMONICS Harmonics in the signal val
2 %
% val:      signal
4 % fs:      sample frequency in Hz
% orders:   vector which include the orders to be calculated

```

```
6 %
% optional parameters:
8 % freq:      fundamental frequency
% tolerance:  search tolerance for frequencies in Hz
10 % debug:    enable debug output
%
12 function [res] = harmonics(val, fs, orders, varargin)

14 debug=false;
fundamental_freq=0;

16 n_fft=length(val);
18 freq_res=fs/n_fft;

20 % tolerance range for searching harmonics
harm_tol=round(1/freq_res);
22 fund_tol=5;

24 if mod(size(varargin,2), 2)>0
    error('invalid number of arguments');
26 end

28 for i=1:2:size(varargin,2)
    switch lower(varargin{i})
30         case 'freq'
            fundamental_freq = varargin{i+1};
32         case 'debug'
            debug = (varargin{i+1})>0;
34         case 'tolerance'
            % convert frequency to sample value
36             harm_tol=round(varargin{i+1}/freq_res);
        case 'fundamental_tolerance'
            % convert frequency to sample value
38             fund_tol=round(varargin{i+1});
40         otherwise
            error('invalid argument');
42     end
end

44 magnitudes=zeros(1, length(orders));
46 phases=zeros(1, length(orders));
frequencies=zeros(1, length(orders));
48 val_spec=fft(val) ./ n_fft;
```

```

50 val_mag=abs(val_spec);
   val_phase=angle(val_spec);
52 %val_f=fs/2* linspace(0,1,n_fft/2); % -->

54 % skip dc
   val_f=freq_res*(1:1:(n_fft/2)-1);
56 val_mag_half=val_mag(2:n_fft/2).*2;
   val_phase_half=val_phase(2:n_fft/2);

58
   if fundamental_freq > 0
60     % find matching frequency
       [fundamental_center_min, fundamental_center_i]=min(abs(val_f-
           fundamental_freq));
62     if fundamental_center_min > fund_tol
           error('specified frequency not found');
64     end
       [dummy, fundamental_i]=max(val_mag_half(fundamental_center_i-harm_tol
           :fundamental_center_i+harm_tol));
66     fundamental_i=fundamental_i+fundamental_center_i-harm_tol-1;

           if (val_mag_half(fundamental_i)/max(val_mag_half)*100) < 5
68         error('your specified frequency seems to be wrong');
70     end
   else
72     [dummy, fundamental_i]=max(val_mag_half);
   end

74
   if debug
76     display(['val_f@fundamental_i(1): ' num2str(val_f(fundamental_i)) '
           Hz']);
       display(['val_mag_half@fundamental_i(1): ' num2str(val_mag_half(
           fundamental_i)) ' ']);
78     display(['val_phase_half@fundamental_i(1): ' num2str(val_phase_half(
           fundamental_i)) ' rad']);
   end

80
   for i=1:length(orders)
82     % calculate the approx. position
       order_center_i=round(fundamental_i*orders(i));

84
           % find the max in a spec. range
86     [dummy, order_i]=max(val_mag_half(order_center_i-harm_tol:
           order_center_i+harm_tol));
       % calculate real index in the whole vector

```

```

88     order_i=order_i+order_center_i-harm_tol-1;

90     magnitudes(i)=val_mag_half(order_i);
91     phases(i)=val_phase_half(order_i);
92     frequencies(i)=val_f(order_i);
end

94
if debug
96     plot(val_f(1:3000),val_mag_half(1:3000));
end

98
res=[magnitudes; ...
100     phases;...
101     frequencies];

102
end

```

Skript zur Messreihen wiederholung mittels Funktionsgenerator

```

1 function signal_to_AFG(DirName, z_max)
tooth_count = 43; % Anzahl der Zähne am Encoderra
3 MAX_SAMPLE = 2^16-14; %Maximale Anzahl Samples, die der Speicher des
  Funktionsgenerator aufnimmt
demoAFG=[];
5 fail = false;
list_of_files = what(DirName);
7 list_of_files.mat = sort(list_of_files.mat);
files = regexp(list_of_files.mat, '.*_part[0-9]+.rmp_3.mat', 'match');
9 files=[files{:}];
files = sort(files);
11 dummy = struct('u_diff', NaN, ...
                'u_br1', NaN, ...
13                'u_br2', NaN, ...
                'frequency', NaN, ...
15                'mag', NaN, ...
                'mag_v', NaN, ...
17                'mag_db', NaN, ...
                'comp', NaN, ...
19                'hd_lut', NaN, ...
                'sub_hd_lut', NaN, ...
21                'hd_abs', NaN, ...
                'angle', NaN, ...

```

```

23         'gain',    NaN, ...
24         'u_pp',   NaN,...
25         'discard_counter', NaN, ...
26         'offset',NaN ...
27     );
28
29     if ispc
30         filesep_plus = '\\';
31     else
32         filesep_plus = filesep;
33     end
34     data_dir=textscan(DirName, '%s', 'delimiter', filesep_plus);
35     filename=[data_dir{1}{end} '_demo_from_AFG.rmp_3.mat' ];
36     %% — Einlesen der Messdaten
37
38     k = 1;
39     load(fullfile(list_of_files.path, files{1}), 'parameters');
40     load(fullfile(list_of_files.path, filename), 'demoAFG');
41
42     tooth_frequency = parameters.tooth_frequency;
43     samplerate = parameters.samplerate;
44
45     h = waitbar(0, 'Please wait... , loading files ');
46     for i=1:length(files); % Dateien durchlaufen
47         waitbar(i / length(files));
48         load(fullfile(list_of_files.path, files{i}), 'demo'); %
49             jeweilige Datei laden % einzelne Strukturen auslesen
50
51         for j=1:length(demo)
52             x(k) = demo(j).x;
53             y(k) = demo(j).y;
54             z(k) = demo(j).z;
55             phi_x(k) = demo(j).phi_x;
56             phi_y(k) = demo(j).phi_y;
57             phi_z(k) = demo(j).phi_z;
58             freq(k) = demo(j).freq;
59             gain(k) = demo(j).gain;
60             offset(k) = demo(j).offset;
61             k=k+1;
62         end
63         clear('demo'); % cleanup workspace
64     end
65     close(h);

```

```

65 %% Connect to Regelplatine
interfaceObj_demo_slave_ctrl = instrfind('Name', 'Serial-COM4');
67
if isempty(interfaceObj_demo_slave_ctrl)
69     interfaceObj_demo_slave_ctrl = serial('COM4');
else
71     fclose(interfaceObj_demo_slave_ctrl);
        interfaceObj_demo_slave_ctrl = interfaceObj_demo_slave_ctrl(1);
73 end
75 deviceObj_demo_slave_ctrl=icdevice('demo_slave_ctrl.mdd',
        interfaceObj_demo_slave_ctrl);
connect(deviceObj_demo_slave_ctrl);
77 %%
encoder_period_approx = round(samplerate/(tooth_frequency/tooth_count));
79 search_range = round(encoder_period_approx / (tooth_count*4));
frequency = tooth_frequency/tooth_count;
81 signal = get_scope_data('z',z(length(demoAFG)+1), 'phi_y', phi_y(length(
        demoAFG)+1) ...
        , 'x', x(length(demoAFG)+1), 'dirname', DirName, 'u_hb1', 'dummy', 'u_hb2');
83 set(deviceObj_demo_slave_ctrl.Control, 'offset', 2000);
h = waitbar(0, 'Processing measurement');
85
for i = length(demoAFG)+1 : k - 1
87     waitbar(i/k);
        if abs(z(i)) < abs(z_max) && (length(demoAFG) < i || isnan(
            demoAFG(i).gain))
89         %Signale auf eine Radumdrehung begrenzen
            if signal.u_hb1(1) >= signal.u_hb1(encoder_period_approx)
91             [useless period_index] = min(abs(signal.u_hb1(1) - signal
                .u_hb1 ...
                (encoder_period_approx - search_range:
                    encoder_period_approx - (round(search_range/10))))
                );
93             period_index = encoder_period_approx - search_range +
                period_index;
            else
95             [useless period_index] = min(abs(signal.u_hb1(1) - signal
                .u_hb1 ...
                (encoder_period_approx - search_range :
                    encoder_period_approx )));
97             period_index = encoder_period_approx - search_range +
                period_index;
end

```

```

99      %geringst mögliche Dezimierung berechnen
      [useless deci_val] = max(sign(MAX_SAMPLE - period_index ./
      [1:50]));
101     %%Dezimieren
      hb1 = decimate(signal.u_hb1(1:period_index),deci_val);
103     hb2 = decimate(signal.u_hb2(1:period_index),deci_val);
      %%Signal auf den Funktionsgenerator geben
105     signal_to_function_generator(hb1,hb2,frequency, true);
      %%Offset und gain regelung
107     for g = 6:-1: 0
          set(deviceObj_demo_slave_ctrl.Control, 'gain',g);
109         pause(3);
          %%
111         while(1)
            try
113                 var = get_measurement;
            catch
115                 fail = true;
                    break;
117             end
            os = mean(var.u_diff) - 1.25;
119             if abs(os) < 0.01
                    break;
121             end
            os_actual = get(deviceObj_demo_slave_ctrl.Control, '
            offset');
123             set(deviceObj_demo_slave_ctrl.Control, 'offset',
            os_actual + os *100);

            end
125         %%
            if fail
127                 break;
            elseif max(var.u_diff) < 2.3 && min(var.u_diff) < 0.3
129                 break;
            end
131         end
          %%
133         if i+1 < k
            signal = get_scope_data('z',z(i+1),'phi_y',phi_y(i+1),'x'
            ,x(i+1),...
135             'dirname',DirName,'u_diff','dummy','u_hb1','dummy','
            u_hb2');

137         end
          if fail

```

```

    var = dummy;
139     else
        fail = false;
141     try
        var = get_measurement();
143     catch
        var = dummy;
145     end
    end
147     var.gain = 2^get(deviceObj_demo_slave_ctrl.Control, 'gain');
    var.offset = get(deviceObj_demo_slave_ctrl.Control, 'offset');
149     if length(demoAFG) < i
        demoAFG = [demoAFG var];
151     else
        demoAFG(i) = var;
153     end
    else
155     if length(demoAFG) < i
        demoAFG = [demoAFG dummy];
157     end
        if abs(z(i+1)) < abs(z_max) && i+1 < k
159             signal = get_scope_data('z',z(i+1),'phi_y',phi_y(i+1),'x'
                ,x(i+1),'dirname',...
                DirName,'u_diff','dummy','u_hb1','dummy','u_hb2');
161         end
    end
163     save( fullfile(list_of_files.path, filename), 'demoAFG');
    end
165     close(h);
end

```

Skript zur Übertragung von Halbbrückensignalen auf den Funktionsgenerator

```

function signal_to_function_generator( hb1, hb2, freq ,full_signal ,
    varargin)
2  if full_signal == false
    periods = varargin{1};
4  end
    %SIGNAL_TO_FUNCTION_GENERATOR Summary of this function goes here
6  SAMPLERATE = 25e6;
    TOOTH_COUNT = 43;    % Anzahl der Zähne am Encoderra

```

```

8  MAX_SAMPLE = 2^16-14; %Maximale Anzahl Samples, die der Speicher des
   Funktionsgenerator aufnimmt

10     hb1 = hb1/25; %Verstärkung entfernen
    hb2 = hb2/25;
12     mean1 = (max(hb1) + min(hb1))/2;
    mean2 = (max(hb2) + min(hb2))/2;
14     off1 = min(hb1);
    off2 = min(hb2);
16     hb1 = hb1-off1;
    hb2 = hb2-off2;
18     norm1 = max(hb1);
    norm2 = max(hb2);
20     hb1 =(hb1/norm1)*16383;
    hb2 =(hb2/norm2)*16383;
22
if full_signal == false
24     [scr scf]= zero_detection(hb1, 'noise_buffer',1000);
    hb1 = hb1(scr(5):scr(6+periods-1)-1);
26     hb2 = hb2(scr(5):scr(6+periods-1)-1);
    if length(hb1) > MAX_SAMPLE
28         [useless deci_val] = max(sign(MAX_SAMPLE - length(hb1) ./ [1:50])
           );
        hb1 = decimate(hb1,deci_val);
30         hb2 = decimate(hb2,deci_val);
    end
32     figure ('name', 'U_HB1');
    plot(hb1);
34     figure ('name', 'U_HB2');
    plot(hb2)
36 end

38 %% ——— Instrument verbinden


---


disp ('Instrument verbinden...');
40 % Create a VISA-USB object.
if ( ispc() == 1 )
42     interfaceObj = instrfind('tek', 'TCPIP::192.168.0.10::INSTR');
else
44     interfaceObj = instrfind('ni', 'TCPIP::192.168.0.10::INSTR');
end
46
% Create the VISA-USB object if it does not exist
48 % otherwise use the object that was found.

```

```

if isempty(interfaceObj)
50   if ( ispc() == 1 )
       interfaceObj = visa('tek', 'TCPIP::192.168.0.10::INSTR');
52   set(interfaceObj, 'ByteOrder', 'bigEndian');
       else
54     % use NI-VISA interface driver and change to littleEndian for
       Linux
       interfaceObj = visa('ni', 'TCPIP::192.168.0.10::INSTR');
56     set(interfaceObj, 'ByteOrder', 'littleEndian');
       end
58     set(interfaceObj, 'OutputBufferSize', 128*1024);
       set(interfaceObj, 'InputBufferSize', 128*1024);
60     set(interfaceObj, 'EOIMode', 'off');
       set(interfaceObj, 'EOSMode', 'write');
62   else
       fclose(interfaceObj);
64   interfaceObj = interfaceObj(1);
end
66
% Create a device object.
68 deviceObj = icdevice('tek_afg3000.mdd', interfaceObj);

70 % Connect device object to hardware.
connect(deviceObj);

72 %% ——— Instrument einstellen


---


74 disp('Instrument einstellen...');

76 invoke(deviceObj.Data, 'datawrite', hb1);
% figure('name', 'hb1');
78 % plot(hb1);
invoke(deviceObj.Data, 'datacopy', 'EMEMory', 'USER1');
80 set(deviceObj.Waveform(1), 'Shape', 'USER1');
set(deviceObj.Frequency(1), 'Frequency', freq);
82 set(deviceObj.Voltage(1), 'Amplitude', norm1); % 80mV → G=25: 2V
set(deviceObj.Voltage(1), 'Unit', 'VPP'); % Voltage Peak-Peak
84 set(deviceObj.Voltage(1), 'Offset', 1.5);
set(deviceObj.Output(1), 'State', 'on');
86 %%
if ~isempty(hb2)
88 % figure('name', 'hb2');
% plot(hb2);
90 invoke(deviceObj.Data, 'datawrite', hb2);

```

```

    invoke(deviceObj.Data, 'datacopy', 'EMEMory', 'USER2');
92  set(deviceObj.Waveform(2), 'Shape', 'USER2');
    set(deviceObj.Frequency(2), 'Frequency', freq);
94  set(deviceObj.Voltage(2), 'Amplitude', norm2);    % 80mV -> G=25: 2V
    set(deviceObj.Voltage(2), 'Unit', 'VPP');        % Voltage Peak-Peak
96  set(deviceObj.Voltage(2), 'Offset', 1.5);
    set(deviceObj.Output(2), 'State', 'on');
98  end
%% —— Instrument trennen


---


100 disp('Instrument trennen...');
    % Disconnect device object from hardware.
102 disconnect(deviceObj);

104 % Delete objects.
    delete([deviceObj interfaceObj]);
106
108 disp('—— End Arb_Wave_Gen ——');
end

```

Skript zur Berechnung des HDI

```

1  function [k ohd] = hdi(sig)
    xgl = 0;
3   l_ges = 0;
    lut_pos = 0;
5   IDX_PI_H = 16;
    real = [0 0 0];
7   imag = [0 0 0];
    l = [0 0 0];
9   N=length(sig);

11  table_sin = [0    100    200    297    392 ...
                483    569    650    724    792 ...
13              851    903    946    980    1004 ...
                1019   1024   1019   1004   980 ...
15              946    903    851    792    724 ...
                650    569    483    392    297 ...
17              200    100];
    %% Samples werden verarbeitet
19  for i = 1: N

```

```

21     xgl = xgl + sig(i);
    l_ges = l_ges + sig(i)^2;
23     for j = 0 : 2
        lut_pos_harmonic = lut_pos*(j+1);
        prod = sig(i) * table_sin(1+bitand((lut_pos_harmonic +
25         IDX_PI_H) ,hex2dec('1F')));
        if bitand(lut_pos_harmonic + IDX_PI_H,hex2dec('20'))
            real(j +1) = real(j +1) + prod;
27         else
            real(j +1) = real(j +1) -prod;
29         end
        prod = sig(i) * table_sin(1+bitand((lut_pos_harmonic) ,
            hex2dec('1F')));
31         if bitand(lut_pos_harmonic , hex2dec('20'))
            imag(j +1) = imag(j +1) + prod;
33         else
            imag(j +1) = imag(j +1) -prod;
35         end
        end
37     lut_pos = lut_pos +1;
    end
39    %% Berechnung des Klirrfaktors
    xgl = xgl / N;
41    l_ges = l_ges / N - xgl^2;

43    real = fix(real ./ (4096));
    imag = fix(imag ./ (4096));
45    lquadrat = fix((real.^2 + imag.^2) ./ (N*2));
    P_ob = l_ges - lquadrat(2);
47    k = 100 * sqrt(P_ob / l_ges);
    %[row col i] = decode_lut_hdi(bitshift(fix(P_ob),14) / l_ges)
49    ohd = 100 * sqrt ( (lquadrat(1) + lquadrat(3))/l_ges);
end

```

Skript zur Darstellung der Messergebnisse bei Verkippung einer Achse

A.2.2. Skript zur Darstellen der Messergebnisse bei Verfahren zweier Linearachsen

```

2  %RADAR_PLOT radar_plot plots a radar-plot
    %

```

```

% distance_values: array has to include the distance of every measured
point
4 % angle_values: array has to include the angle of every measured point
% val: array of measured values related to distance_values and
angle_values
6 %
%
8 % optional parameters
% mark: array of type logical, marks related points in the plot
10 % mark_color: color of the marks
% figure_name: title in the headbar of the figure window
12 % plot_title: title of the plot
% colorbar_title: think about it
14 % save_file_name: filename of the pdf-file (without ending ".pdf")
% scale_colorbar: values of the 2 fields array lineary map to the
16 % colormap
%
% y_label: y-axis label
18 % x_label: x-axis label
% dir_name: puts the directory of the measurment into the plot
title
20 %
% return parameters
22 % [surface_handle title_handle colorbar_handle]
%
24 %
26 function [surface_handle title_handle colorbar_handle] = radar_plot(
distance_values , angle_values , val , varargin)
distance_values = abs(distance_values);
28 mark = zeros(size(distance_values));
figure_name = '';
30 plot_title = [];
colorbar_title = '';
32 save_file_name = [];
plot_format = 'A4L';
34 mark_color = [0 0 0];
scale_colorbar = [];
36 y_label = 'distance in mm';
x_label = 'angle in degree';
38 dir_name = [];
double_click_plot_sig = [];
40 shift_click_plot_sig = [];
ctrl_click_plot_sig = [];
42

```

```

44     if mod(size(varargin,2), 2)>0
        error('invalid number of arguments');
46     end
48     for i = 1 : 2 :size(varargin,2)
        switch varargin{i}
50         case 'mark'
            mark = varargin{i+1};
52         case 'figure name'
            figure_name = varargin{i+1};
54         case 'plot title'
            plot_title = varargin{i+1};
56         case 'colorbar title'
            colorbar_title = varargin{i+1};
58         case 'filename'
            save_file_name = varargin{i+1};
60         case 'marker color'
            mark_color = varargin{i+1};
62         case 'plot format'
            plot_format = varargin{i+1};
64         case 'caxis'
            scale_colorbar = varargin{i+1};
66         case 'y label'
            y_label = varargin{i+1};
68         case 'x label'
            x_label = varargin{i+1};
70         case 'dirname'
            dir_name = varargin{i+1};
72         case 'double_click_plot_sig'
            double_click_plot_sig = varargin{i+1};
74         case 'shift_click_plot_sig'
            shift_click_plot_sig = varargin{i+1};
76         case 'ctrl_click_plot_sig'
            ctrl_click_plot_sig = varargin{i+1};
78         otherwise
            error([''' varargin{i} ''' is an invalid argument']);
80     end
    %%
82     %pcolor plottet die letzten Reihe und Spalte nicht mit, deswegen wird
    %jeweils eine angehaengt
84     distance = unique(distance_values); %Distanzen einzeln, aufsteigend
        speichern
    angles = unique(angle_values); %Winkel einzeln, aufsteigend speichern

```

```

86     distance_stepsize = abs(distance(2) – distance(1));%Schrittweite
        ermitteln
    distance = [distance distance(end)+ distance_stepsize]; % append one
        value
88     angle_stepsize = abs(angles(2) – angles(1));%Schrittweite ermitteln
    angles = [angles (angles(end)+angle_stepsize)];% append one value
90
    % Name der aktuellen Messung extrahieren
92     if ( ispc() == 1 )
        % windows
94         data_dir=textscan(dir_name, '%s', 'delimiter', '\\');
    else
96         % unix
        data_dir=textscan(dir_name, '%s', 'delimiter', filesep);
98     end
    meas_name=data_dir{1}{end};
100
    %Titel des Plots wird zusammengesetzt
102     dir_name_title = strrep(meas_name, '\', '/');
    dir_name_title = strrep(dir_name_title, '_', '\_');
104     plot_title = [plot_title ' over distance/angle, distance step size: '
        ...
        num2str(distance_stepsize) ' mm, angle step size: '...
106     num2str(angle_stepsize) ' deg\newline' dir_name_title];
    matrix(1:length(distance),1:length(angles)) = NaN; %Matrix
        initialisieren
108     mark_matrix = zeros(length(distance),length(angles));
    %Matritzen mit Messwerten fuellen
110     for i =1 : length(val)
        row = find(distance_values(i) == distance);
112         col = find(angle_values(i) == angles);
        matrix(row,col) = val(i);
114         mark_matrix(row,col) = mark(i);
    end
116 %%
    angles = angles – (angle_stepsize/2);
118     theta = –pi/2+(angles)*pi/180; %angle in radian measure
    X = (distance) * cos(theta);
120     Y = (distance) * sin(theta);
122
    figure ('name', [figure_name 'Radarplot (Messung in X–Richtung
        aufsteigend) ']);
    surface_handle = pcolor(X,Y, matrix); % radarplot

```

```

124     mark_points(X,Y,mark_matrix , mark_color); % mark
        fields

126     set(gca, 'YTickLabel', sprintf('%3.1f|',abs(get(gca, 'YTick'))));
    xtick = min(X(end,:)) : abs(min(X(end,:))-max(X(end,:)))/10:max(X(end
        ,:)); %10 marking on X-axis
128     set(gca, 'Xtick', xtick);
    xticklabel = unique((acos(xtick ./max(distance)))./ pi * 180)-90; %
        calculate angle
130     xticklabel = fix(xticklabel);
    set(gca, 'XTickLabel', sprintf('%3.0f|', xticklabel));
132
    ylabel(y_label);
134     xlabel(x_label);

136     title_handle = title(plot_title);
    %set(title_handle, 'interpreter', 'none');
138
    click_plot_sigs=struct( 'double', double_click_plot_sig, ...
140                          'shift', shift_click_plot_sig, ...
                          'ctrl', ctrl_click_plot_sig);
142     set(surface_handle, 'ButtonDownFcn', ...
        {@cb_radar_plot, distance_values, angle_values, click_plot_sigs});
144

146     g = jet(256);
    colormap(g);
148     if (~isempty(scale_colorbar))
        caxis(scale_colorbar);
150     end

152     colorbar_handle = colorbar();
    set(get(colorbar_handle, 'Title'), 'String', colorbar_title);
154     if (~isempty(save_file_name))
        export_fig(gcf, fullfile(dir_name, [meas_name '_' save_file_name '.
            pdf']), plot_format);
156     end
end

```

Versicherung über die Selbstständigkeit

Hiermit versichere ich, dass ich die vorliegende Arbeit im Sinne der Prüfungsordnung nach §16(5) APSO-TI-BM ohne fremde Hilfe selbstständig verfasst und nur die angegebenen Hilfsmittel benutzt habe. Wörtlich oder dem Sinn nach aus anderen Werken entnommene Stellen habe ich unter Angabe der Quellen kenntlich gemacht.

Hamburg, 20. April 2011

Ort, Datum

Unterschrift